



UNIVERSIDAD
NACIONAL
DE LA PLATA

UNIVERSIDAD NACIONAL DE LA PLATA

FACULTAD DE CIENCIAS EXACTAS

MICROGELES POLIMÉRICOS:
ENCAPSULADO, LIBERACIÓN DE
FÁRMACOS Y SOLUCIONES COLOIDALES

TESIS PRESENTADA POR NÉSTOR ARIEL PÉREZ CHÁVEZ
PARA OBTENER EL GRADO DE DOCTOR EN CIENCIAS QUÍMICAS

DIRIGADO POR:

GABRIEL S. LONGO
ALBERTO G. ALBESA

2023

Departamento de Química

Contents

1	Introducci' on	4
1.1	Materia Blanda	4
1.1.1	Objetivos	6
1.1.2	Films poliméricos	7
1.1.3	Geles poiméricos 2	7
1.2	Main Section 2	9
2	Metodología	13
2.1	Teoría Molecular	14
2.2	Modelado	15
2.2.1	Generación de configuraciones	16
3	Films poliméricos	17
3.1	Teoría Molecular en films poliméricos	17
3.2	Solución Bulk	30
3.3	resolución numérica	33
3.4	resultados	36
3.4.1	Respuesta al pH	36
3.4.2	Adsorción	41
4	Geles poliméricos	44
4.1	Modelo de 2 fases	44
4.1.1	Fase Microgel	47
4.1.2	Fase solución	53
4.1.3	Minimización gráfica	54

4.1.4	Absorción	55
4.2	Resultados y discusión	59
4.2.1	Respuesta al pH y la concentración de sal	59
4.2.2	Respuesta a la Temperatura	65
4.2.3	Efecto del grado de entrecruzamiento	69
4.2.4	Adsorción de drogas	70
5	esfericas	75
5.1	Introduction	75
5.2	Method: Molecular Theory	75
5.2.1	Teoria red polimérica	76
5.2.2	Solución Bulk	86
5.2.3	Resolución numérica	87
5.2.4	Molecular Model: Proteins	89
5.2.5	Molecular model: Nanogel Network	90
5.3	Results and discussion	92
5.3.1	Caraterización del nanogel	92
5.3.2	Protein adsorption to MAA-based nanogels	97
5.3.3	Insulin adsorption AH-based nanogels	104
5.4	Conclusions	107
	Bibliography	108

Chapter 1

Introducci'on

1.1 Materia Blanda

Durante la decada pasada el uso de materiales blandos ha sido de mucho interes debido a la cantidad de materiales e innovaciones que se obtienen con ellos.

La versatilidad de estos los han convertido en materiales importantes en una amplia variedad de aplicaciones tecnologicas. Se han utilizado como espumas y adhesivos, son excelente detergentes, están presentes en la industria de los cosméticos y pinturas, además de ser ampliamente usados en aditivos alimentarios . El campo de la medicina, la industria farmaceutica, ha encontrado en estos materiales una oportunidad para la creación de de trasportadores de drogas más eficientes biocompatibles y biodegradables.

En estas ultimas aplicaciones los films y geles poliméricos han sido pioneros en su uso y han tenido un creciente interés. La capacidad de adsorber solventes y la estructura de cadenas entrelazadas proporciona condiciones adecuadas para la adsorción y proteccion de adsorbatos de interés. [REFs] Estas características permiten que las drogas/proteinas adsorbidas interactuen con el solvente en el cual son solubles. La proteccion es debido a la restricción de entrada de otros agentes, además de evitar el movieminto libre de la droga. Aspecto muy importante si se consideran proteínas y se quiere evitar su desplegamiento. Sin embargo la caracteris más notoria de estos materiales es su capacidad de responder a diversos estímulos. Muchos estudios han reportado la respuesta a la temperatura de estos materiales, entre los más conoci-

dos se encuentra PNIPAm, Pluronic, elastin-like polypeptides (ELP) and poly(N-vinylcaprolactam) (PNVCL).

Interest in thermoresponsive polymers has steadily grown over many decades, and a great deal of work has been dedicated to developing temperature sensitive macromolecules that can be crafted into new smart materials.

However, the overwhelming majority of previously reported temperature-responsive polymers are based on poly(N-isopropylacrylamide) (PNIPAM), despite the fact that a wide range of other thermoresponsive polymers have demonstrated similar promise for the preparation of adaptive materials. Herein, we aim to highlight recent results that involve thermoresponsive systems that have not yet been as fully considered. Many of these (co)polymers represent clear opportunities for advancements in emerging biomedical and materials fields due to their increased biocompatibility and tuneable response. By highlighting recent examples of newly developed thermoresponsive polymer systems, we hope to promote the development of new generations of smart materials.

Este comportamiento responsivo hace de estos materiales excelentes candidatos en el secuestro de partículas, intercambios iónicos lo cual permite el diseño de transportadores. [here](#)

El diseño de dispositivos inteligentes optimizados para tareas específicas basados en estos sistemas blandos demanda un estricto control sobre sus propiedades físico-químicas y la respuesta de estos geles. Por lo tanto, su diseño requiere el desarrollo de modelos que permitan entender y predecir cómo el comportamiento observado resulta de la interrelación entre la estructura química del polímero que lo componen, la organización molecular bajo condiciones de confinamiento, las interacciones entre especies y las propiedades del medio en el que se encuentren.

Por ejemplo, en la actualidad desarrollar materiales que respondan a múltiples estímulos (pH y temperatura) de manera predecible y controlable representa un desafío enorme. [\[REFs\]](#)

1. materiales con respuesta a Temperatura y como cambia su respuesta al modificar la arquitectura... film y gel.
2. para materiales con solo respuesta a pH, como el cambio en la concentración salina del medio afecta la respuesta de los geles.

3. trabajos experimentales de copolimeros, como se afectan entre ellos la respuesta de cada uno.

...fin de la tesis, estudio teórico haciendo uso de simulaciones computacionales para el desarrollo de nuevos materiales capaces de responder a estimulo, una caracterización exhaustiva de sus propiedades fisicoquímicas.

Descripción generica de los obsetivos... uso de la TM y familiarización de la misma con hidrogeles de homopolimeros, como responden y pueden servir para la captura de moleculas. Uso de estos materiales para fines ambientales... Del mismo modo estudiar microgeles en un modelo sencillo como primera aproximación. Fisi-quimica de geles homogeneos y con respuesta a multi estimulo. Adsorción de drogas terapeuticas, condiciones optimcas de encapsulamiento. Complejización de la teoría para modificar parametros de estructura, es decir como afectan los cambios de topologia de estos geles. Adsorción de biomoleculas. Nueva inormación sobre la arquitectura de los geles y su relación con la adsorción de proteínas. Finalmente, método estocastico para el estudio de soluciones de geles polimericos. En un modelo sencillo. Cómo la concentración afecta la distribución de tamaño, adsorción, etc.

1.1.1 Objetivos

Los **objetivos específicos** del presente plan de trabajo son los siguientes:

1. Desarrollar un modelo mecano-estadístico utilizando TM para describir la respuesta a cambios de pH, temperatura y concentración de sal en microgeles formados por homopolímeros.
2. Extender dicho modelo para investigar el comportamiento de microgeles de copolímeros con respuesta a múltiples estímulos.
3. Estudiar los mecanismos de adsorción de diferentes biomoléculas en los microgeles en función de las condiciones del medio y la estructura/composición química de las cadenas poliméricas.
4. Desarrollar un modelo combinando simulaciones de TM y Dinámica Molecular (DM) para estudiar el comportamiento de estos microgeles en soluciones relativamente concentradas.

1.1.2 Films poliméricos

Los hidrogeles de cadenas de polímeros reticulados se consideran actualmente para diversas aplicaciones en la investigación biomédica. Estos materiales pueden parecerse al tejido biológico y diseñarse para responder a cambios ambientales como variaciones de temperatura, pH, fuerza iónica y en la concentración de algunas biomoléculas. Como resultado, los hidrogeles poliméricos actualmente son candidatos prometedores para el desarrollo de una variedad de biomateriales con aplicaciones para biodetección [1,2], ingeniería de tejidos [3,4], regeneración ósea [5], materiales biomiméticos [6,7], administración de fármacos [8,9] y muchas otras aplicaciones biomédicas [10]. Estos hidrogeles responden a los cambios de pH porque contienen una cantidad significativa de grupos ácidos débiles.

1.1.3 Geles poiméricos 2

The design of functional vehicles for the encapsulation, transport and release on target of therapeutic agents is one of the major challenges of bionanotechnology [REFs: ye2018review] . Despite being formulated to specifically treat certain diseases, many drugs fail to capitalize on their design properties due to unwanted interactions with the environment surrounding the target [REFs: ibraheem2014administration] . Nanoparticles are being explored as a solution to these limitations, serving as smart carriers that can protect drugs against harmful environmental factors. Various nanocarriers, including liposomes, polymeric micelles, and inorganic particles have been investigated for their potential to effectively transport and release molecular cargo [REFs: chamundeeswari2019nanocarriers, lopez2012organic] . These nanocarriers can increase circulation time while conferring stealth properties to the complex, helping evade the immune or digestive systems [REFs: gaucher2010polymeric] . By increasing the circulation time, nanocarries can also help reduce the need for frequent dosing.

Nanogels, in particular, are soft nanoparticles with diameters smaller than 200 nm that can uptake and release relatively large quantities of solvent in response to changes in the surrounding environment. Depending on the chemical composition of the crosslinked polymer that makes the nanogel skeleton, these particles can reversibly swell or deswell as a result of changes in temperature [REFs: agni-

hotri2021temperature], pH [REFs: sharma2022modulating], salt concentration [REFs: saraydin2022calculations] and a variety of external stimuli [REFs: jung2020responsive,plamper2017functional,yang2022co]. These unique properties of polymer nanogels can be exploited to target drug delivery to specific microenvironments, such as the acidic surroundings of tumors [REFs: zhang2020construction] or wounded or inflamed tissue with higher temperatures [REFs: wu2010core]. Besides, moieties can be incorporated on its polymeric surface to enhance specificity of the delivery, allowing the nanogel to selectively bind receptors on the target [REFs: ahadian2020micro, mukherjee2019lipid, torchilin2007micellar, farokhzad2006targeted]. The ability of nanogels to release medication in a controlled manner to specific environments can help prevent the emergence of drug resistance [REFs: mukherjee2019lipid].

A significant and growing fraction of newly developed drugs to treat different diseases are proteins [REFs: mahmood2023recent]. The stability of these proteins is an issue, as they are easily denatured by changes in pH or temperature [REFs: frokjaer2005protein]. Polymer hydrogels and nanogels have been shown to help prevent protein denaturation and loss of activity under these conditions [REFs: macdougall2021charged, peppas2004hydrogels]. The potential to maintain the native conformation of proteins, combined with the stimuli-responsive behavior of nanogels, makes them suitable candidates to develop functional vehicles for the encapsulation, transport and targeted release of therapeutic proteins. Additionally, the polymer network of nanogels can be tailored with different functional groups to control both the specific or non-specific interactions with proteins, thereby increasing the efficacy of encapsulation/delivery.

Despite their many advantages, the development of nanogel-based drug delivery systems is still in its early stages, and there are still many questions that need to be addressed before this technology can be fully realized. In particular, as they are required to function in various biological fluids, understanding how nanogels behave and interact with proteins in terms of the composition of its polymer network and that of the protein solution is crucial for their successful application. In this work, we use a theoretical approach to study how the chemical identity and the spatial distribution of functional groups on the polymer network modify nanogel response and its interaction with specific proteins, with a specific focus on electrostatically driven

protein adsorption/desorption. Our goal is to provide a better basic understanding of the factors that influence the performance of these systems and to identify strategies to improve their effectiveness in the context of drug delivery nanovehicles.

We consider nanogels made of copolymer networks containing both a hydrophilic, charge-neutral monomer and a pH-responsive one, and their interactions with small globular proteins, such as cytochrome c, insulin, and myoglobin, which have different isoelectric points. ROJO The interaction of these proteins with polymeric systems have been studied previously [REFs: [hagemann2018use](#),[oberle2015competitive](#)] . These polymeric systems have also been studied using the theory and molecular simulations.[REFs: [sharma2022modulating](#),[hofzumahaus2021monte](#),[polotsky2013collapse](#),[walkowiak2020thermodynamic](#)] ROJO In particular, the search for more effective and less invasive means of insulin administration has presently immense importance in biomedical research [REFs: [lowman1999oral](#),[wong2018microparticles](#),[chaturvedi2013polymeric](#)] .

We study nanogels based on copolymers of vinyl alcohol (VA) and either a methacrylic acid (MAA; proton donor) or allylamine (AH; proton acceptor). Due to their biocompatibility these monomers are widely used for potential drug delivery applications [REFs: [asadi2020common](#),[sarwar2020smart](#),[lowman1999oral](#)] . With the goal of gaining a deeper understanding of the factors that affect the performance of these systems and identifying strategies for adjusting their interactions with different proteins, we derive and apply a statistical thermodynamic theory that allows for a molecular-level description of all chemical species. This method incorporates an explicit description of network conformations that result in elasticity, ion and solvent confinement entropic effects, acid-base equilibrium chemistry as well as electrostatic interactions and steric repulsions. Specifically, we investigate the effect of the spatial distribution of pH-sensitive units through the polymer network on the nanogel swelling and protein adsorption.

1.2 Main Section 2

Sed ullamcorper quam eu nisl interdum at interdum enim egestas. Aliquam placerat justo sed lectus lobortis ut porta nisl porttitor. Vestibulum mi dolor, lacinia molestie gravida at, tempus vitae ligula. Donec eget quam sapien, in viverra eros. Donec pel-

lentesque justo a massa fringilla non vestibulum metus vestibulum. Vestibulum in orci quis felis tempor lacinia. Vivamus ornare ultrices facilisis. Ut hendrerit volutpat vulputate. Morbi condimentum venenatis augue, id porta ipsum vulputate in. Curabitur luctus tempus justo. Vestibulum risus lectus, adipiscing nec condimentum quis, condimentum nec nisl. Aliquam dictum sagittis velit sed iaculis. Morbi tristique augue sit amet nulla pulvinar id facilisis ligula mollis. Nam elit libero, tincidunt ut aliquam at, molestie in quam. Aenean rhoncus vehicula hendrerit.

Existen dos tipos de citas bibliogr'ficas: usa `\citep{.}` para citas en *par'entesis* y `\citet{.}` para citas en el *texto*. Por ejemplo, estudios reciente han mostrado nuevos e interesantes modelos que se pueden aplicar para reformular teor'ias f'isicas [?]. Mientras que, el trabajo de ?] fue considerado muy divertido por una significativa fracci'on de la comunidad de investigadores. Tambi'en es posible citar a varios trabajos en una sola referencia [? ?].

Estos comandos para producir citas bibliograficas son provistos por el paquete `natbib`. Para obtener m'as informaci'on, consulta la documentaci'on de ese paquete [?]. Por su parte, en la documentaci'on de `geometry` puedes encontrar detalles adicionales sobre el sistema para ajustar los m'argenes del documento [?]. Lo que sigue es un mont'on de texto sin sentido en lat'in que utilizaremos para llenar algunas p'aginas.

Lorem ipsum dolor sit amet, consectetur adipiscing elit. Integer arcu nisl, consectetur ut, vehicula nec, blandit id, nulla. Vestibulum in odio a odio volutpat sollicitudin. Donec congue porta tellus. Ut quis est sed velit blandit fringilla. Nunc lobortis dui vitae sapien. In tincidunt magna eget purus. Nam lorem quam, vehicula in, dictum et, congue eget, odio. Curabitur gravida mi id dui. Aliquam erat volutpat. Fusce velit turpis, accumsan vel, tincidunt at, aliquet at, sem. Cras viverra eros ac orci. Aenean vestibulum, lorem sed luctus congue, arcu pede ultricies libero, at posuere felis nulla et leo.

Fusce rhoncus lobortis orci. Quisque suscipit dolor. In tincidunt dictum elit. Cras metus. Donec nibh mi, ornare a, ullamcorper in, gravida non, augue. Aliquam erat volutpat. Aliquam commodo tellus sed dolor. Sed urna. Phasellus blandit orci sit amet nulla. Fusce vel eros. Aenean ultrices sodales mi. Aliquam erat volutpat. Fusce orci sem, sollicitudin convallis, auctor a, sollicitudin vitae, dui. Sed massa.

Duis luctus lectus ut lacus.

Morbi felis tellus, placerat quis, congue pretium, consecetuer at, tortor. Nunc condimentum mattis urna. Donec dolor erat, fringilla ut, auctor ac, vestibulum ut, velit. Aliquam convallis magna ac neque. Praesent varius congue augue. Nulla adipiscing urna faucibus diam. Mauris porta sapien ut justo. Donec suscipit tortor gravida ligula. Aliquam ac purus et massa scelerisque vehicula. Maecenas a libero. Class aptent taciti sociosqu ad litora torquent per conubia nostra, per inceptos himenaeos. Pellentesque sit amet est eget metus tincidunt semper. Phasellus nec purus. Proin venenatis lectus vel elit. Pellentesque augue quam, tincidunt sed, pretium ut, feugiat id, odio. Aenean eu nibh et quam dignissim facilisis.

Suspendisse adipiscing. Maecenas tincidunt placerat justo. Ut mattis nunc ac orci. Vestibulum quis velit sed massa vulputate posuere. Duis rhoncus lacus. Quisque non lacus et nibh molestie tincidunt. Nulla tortor pede, auctor id, eleifend sit amet, ultrices id, risus. Duis et lectus. Suspendisse interdum, magna ut porta porta, quam tellus suscipit ligula, cursus consecetuer purus erat et dolor. Phasellus venenatis, risus malesuada lacinia placerat, lectus tellus lobortis ligula, eu porttitor tellus nibh eu enim. Morbi vel erat in sem pharetra molestie. Duis tellus. In ipsum. Vivamus ac augue sed dui hendrerit pulvinar. In dui erat, molestie ut, lacinia at, sagittis sed, nisi. Maecenas libero. Nam volutpat dictum erat.

Fusce laoreet sapien ut lorem. Mauris sed leo a mi luctus sollicitudin. Donec ornare nisi id dolor. Ut eros metus, tristique quis, ultrices ac, accumsan cursus, est. Pellentesque mollis posuere sapien. Morbi nec augue. Cum sociis natoque penatibus et magnis dis parturient montes, nascetur ridiculus mus. Duis tristique, ipsum in tincidunt gravida, nunc nulla vehicula felis, elementum eleifend nunc elit id magna. Cum sociis natoque penatibus et magnis dis parturient montes, nascetur ridiculus mus. Curabitur rhoncus dui ut sapien.

Sed orci. Nunc nisi lorem, convallis nec, porttitor at, porttitor et, erat. Lorem ipsum dolor sit amet, consecetuer adipiscing elit. Donec luctus, velit quis lacinia pulvinar, risus urna malesuada nisl, vel hendrerit erat enim ac enim. Aliquam sapien dolor, fringilla quis, consequat auctor, sodales id, est. In imperdiet est et dui. Cras libero lacus, feugiat a, auctor ut, vulputate sollicitudin, orci. Ut tellus velit, rutrum tristique, eleifend sit amet, auctor consecetuer, sapien. Fusce eget justo. Nam

auctor lorem at purus. Vestibulum ante ipsum primis in faucibus orci luctus et ultrices posuere cubilia Curae; Pellentesque pretium enim sed tortor. Sed luctus velit at ligula. Nunc id elit. Curabitur lacus. Mauris placerat nibh sit amet turpis. Fusce varius, justo et ultrices dictum, urna risus rhoncus ipsum, sed ultricies nunc arcu eu risus. Nam vitae purus.

Proin augue. Duis vehicula mauris sollicitudin sapien. Nam tristique lacus nec nisl. Praesent quis enim. Vestibulum vel velit in purus luctus mattis. Mauris ullamcorper tempor lorem. Quisque rutrum. Praesent enim nibh, pellentesque non, lacinia accumsan, euismod a, lorem. Etiam fringilla iaculis mauris. Aenean adipiscing purus in lacus. Maecenas quis nibh. Ut non augue at mauris elementum luctus. Duis varius tincidunt mi. Aliquam justo massa, auctor nec, malesuada interdum, mollis ac, mauris. Maecenas ultricies gravida dui. Aliquam arcu elit, pretium eu, gravida ac, molestie eu, enim. Etiam facilisis orci eget est. Integer eu orci non felis tincidunt consectetur. Sed imperdiet ultrices nibh.

Chapter 2

Metodología

El estudio de estos dispositivos inteligentes a través de métodos teórico/computacionales no es muy distinto al realizado en un proyecto experimental. El planteo de la composición y estructura de nuestros geles, así como también el barrido de variables, llámese pH, temperatura, concentración de sal, es realizado de manera sistemática. La ventaja de utilizar métodos computacionales es que nos permiten explicar los fenómenos observables a partir del cambio de variables controladas en el laboratorio. El planteo de teorías que nos ayuden a obtener la información termodinámica de cada sistema son la base para la presente tesis...

Al igual que en un proyecto experimental, nuestra idea es poder identificar las condiciones óptimas en las cuales los geles puedan ser usados como biomateriales inteligentes. La identificación de estas condiciones es llevado a cabo utilizando teorías que emplean la termodinámica estadística. En particular este trabajo hace uso de la Teoría Clásica de la Densidad. Esta última tendrá algunas variaciones dependiendo el tipo de modelado que se use, el cual será especificado y explicado en cada uno de los sistemas presentados.

En particular en este capítulo se dará un vistazo general de la Teoría Molecular derivada de la teoría clásica de la densidad. Al final del mismo también se introducirá sobre el tipo de modelado utilizado para poder implementar las teorías...

2.1 Teoría Molecular

Esta teoría aborda el efecto de la distribución espacial de los grupos sensibles al pH en la termodinámica de la adsorción de proteínas en los sistemas poliméricos

This theory was developed in other works see [REFs: nap2006weak,longo2011molecular] and has been useful for the study of systems such as polymeric films with response to pH [REFs: longo2011molecular,longo2019protonation], study of ligand-receptor binding [REFs: longo2005ligand], and adsorption of different proteins [REFs: hagemann2018use,cathcarth2022competitive] or other molecules: glyphosate and polyamides [REFs: perez2020triggering, perez2018using]

Este método consiste en minimizar una energía libre generalizada que incluye toda la termodinámica relevante de cada sistema. Simultáneamente, el método permite una descripción molecular de , utilizando modelos de grano grueso, de las diferentes especies químicas que componen el sistema. Dicha descripción incluye forma, tamaño, distribución de carga y/o estado de protonación de cada componente molecular.

En esta teoría se trabaja en condiciones de equilibrio por lo cual nuestro sistema en estudio se encuentra en equilibrio con una solución acuosa (bulk o baño de la solución) que tiene una composición definida externamente. Es decir, el pH, la concentración de sal y la concentración de adsorbatos son variables independientes.

Otro aspecto que tiene en cuenta es la estructura de la red polimérica de los geles. Estos pueden contener distintos tipos de segmentos, los cuales son los que le dan la respuesta a estímulo y por ello considerados como materiales inteligentes. Dichas unidades químicas pueden ser sensibles al pH. Para este trabajo se estudian monomero de ácido metacrílico (MAA) y alilamida (AH) los cuales tienen comportamientos ácido y básico respectivamente. Como veremos en los resultados la respuesta en el pH es también influenciada por la concentración salina del medio. Otro tipo de segmentos son los neutros, como el alcohol vinílico (VA), o bien segmentos termosensibles (NIPAm) Las unidades de que representan los entrecruzamientos de cadena se describen como segmentos de carga neutral.

El semi-gran potencial de este sistema contiene las siguientes contribuciones:

$$\begin{aligned} \Omega_{NG} = & -TS_{mez} - TS_{conf,nw} + F_{chem,nw} + F_{chem,pro} \\ & + U_{elec} + U_{ste} + U_{VDW} - \sum_{\gamma} \mu_{\gamma} N_{\gamma} \end{aligned} \quad (2.1)$$

donde S_{mez} es la entropía de traslación (mezcla) de las especies de la solución: moléculas de agua (H_2O), iones de hidronio (H_3O^+), iones de hidróxido (OH^-), cationes de sal, aniones de sal y otros adsorbaatos presentes: como drogas o proteínas terapeuticas. Aquí, consideramos una sal monovalente, NaCl o KCl, y se asume que está completamente disociada en iones cloruro (Cl^-) y sodio (Na^+) o potasio (K^+) respectivamente.

$S_{conf,nw}$ representa la entropía conformacional que resulta de la flexibilidad de la red de polímeros, que puede asumir muchas conformaciones diferentes. $F_{chem,nw}$, es la energía química libre que describe el equilibrio entre las especies protonadas y desprotonadas de unidades funcionales (ácidas/básicas) en el polímero. De manera similar, $F_{chem,pro}$ describe la protonación de residuos titulables de la proteína. U_{elec} y U_{ste} representan, respectivamente, las interacciones electrostáticas y las repulsiones estéricas. Las interacciones no electrostaticas son representadas en U_{VDW} en las cuales se puede mencionar la interacción NIPam-agua. Finalmente, la suma de γ expresa el equilibrio químico entre nuestro sistema y la solución que representa el bulk para las partículas libres, donde μ_{γ} y N_{γ} son el potencial químico y el número de moléculas de especie γ , respectivamente; el subíndice γ recorre las especies químicas libres, incluidas las proteínas. En este punto, tenga en cuenta que Ω_{NG} es un semi-gran potencial porque el sistema polimerico puede intercambiar cada una de estas moléculas libres con la solución, mientras que la red de polímeros está confinada dentro de nuestro sistema.

2.2 Modelado

Se utiliza un modelo de grano grueso en el cual las unidades consideradas son representativas de las moléculas y contienen la información molecular.

2.2.1 Generación de configuraciones

Modelo RIS

Las distintas configuraciones de las cadenas del polímero son generadas utilizando un modelo de isómeros rotacionales (RIS por sus siglas en inglés) donde cada segmento puede tomar cualquiera de las tres posibles orientaciones isoenergéticas que le corresponden [REFs: Flory]. La longitud del segmento entre monómeros es $0.5nm$ y su volumen es $v_{AH} = 0.065nm^3$. Se generaron cadenas con 25, 50 y 100 segmentos. Para cada uno de estos largos de cadenas se generaron aleatoriamente un total de 10^6 configuraciones distintas. Este número de configuraciones es suficientemente grande como para describir las propiedades del polímero adecuadamente, pero al mismo tiempo permite el cálculo de resultados en un tiempo razonable.

gromacs

Para la generación del modelo, en concreto de las configuraciones, de nuestro migroles se partirá de una celda base, la cual se expandirá en el espacio de tal forma de obtener las dimensiones que necesitamos. La estructura obtenida será truncada/cortada para obtener una esfera que dará origen a la topología inicial del gel.

Las simulaciones de, dinámica molecular, y sus respectivos análisis se harán haciendo uso del Software GROMACS. [REFs: 11] Finalmente todas las configuraciones serán ponderadas dada la energía libre atribuida a cada una. [REFs: 12]

La estructura base que se utilizará es la celda unitaria del diamante ...por qué ??... Dada la arquitectura de los geles, cadenas entrelazadas, es necesario definir los nodos o crosslinks del gel, en nuestro modelo los crosslinks corresponden a la posición de los átomos de carbono en la estructura base (celda de diamante). expansión y el corte esférico, el cual es el punto de partida para la topología de nuestro gel.

Para nuestro esquema, trabajaremos con geles con un radio de corte de 109, en unidades arbitrarias... σ , además se utilizarán cadenas de 25 segmentos cada una¹. Nuestro gel finalmente estará compuesto por aproximadamente 10 mil segmentos (10054).

¹Dado el corte esférico realizado, las cadenas externas poseen menor cantidad

Chapter 3

Films poliméricos

Los films poliméricos o hidrogeles consisten en una red de polímeros entrecruzados altamente hidratados, generalmente biocompatibles, dependiendo de su composición química. El ambiente acuoso dentro de los hidrogeles puede proteger a las proteínas de la desnaturalización y la agregación [11y13], mientras permanecen activas y estructuradas cuando se liberan de los hidrogeles [14]. En la administración oral de fármacos, los hidrogeles con respuesta de pH se han investigado en gran medida como vehículos funcionales que pueden encapsular y administrar proteínas, evitando su degradación en el entorno gastrointestinal [15-17].

En este capítulo mostraremos un estudio de estos sistemas poliméricos haciendo uso de la teoría molecular.

3.1 Teoría Molecular en films poliméricos

Este método consiste en minimizar una energía libre generalizada que incluye toda la termodinámica relevante que engloba los procesos del film contacto con una solución. Para tal fin se necesita de una descripción molecular de grano grueso de las diferentes especies químicas que componen el sistema. Dicha descripción incluye forma, tamaño, distribución de carga (si los hubiese) y estado de protonación de cada componente molecular en los casos que corresponda. En esta primera instancia describiremos la fisicoquímica de un film se encuentra en equilibrio con una solución acuosa, la tiene una composición definida externamente. Es decir, el pH, la concentración

de sal y la concentración de adsorbatos son variables independientes.

Para esto nos valdremos de una red polimérica que da estructura a nuestro film, que posee distintos tipos de segmentos: una unidad sensible al pH, en particular consideraremos un film polimérico compuesto por unidades ácidas de ácido metacrílico (*MAA*).

Este film está se encuentra en equilibrio con una solución con una temperatura, pH y concentración de sal definidas. Además vamos a considerar que en dicha solución hay un adsorbato: una proteína. El uso de una proteína modelo como adsorbato nos beneficia dado que poseen distintos tipos de aminoácidos con lo cual la descripción de la misma puede ser usada para otros adsorbatos.

Considerando los aspectos anteriores es posible definir una energía libre:

$$F = -TS_{mez} - TS_{conf,net} + F_{qca,net} + F_{qca,pro} + U_{elec} + U_{ste} + U_{VDW} \quad (3.1)$$

En donde S_{mez} es la entropía de traslación (y de mezcla) de las especies libres en la solución: moléculas de agua (H_2O), y sus respectivos iones: hidronio (H_3O^+), e hidróxido (OH^-), cationes y aniones de sal y nuestra proteína modelo. Aquí, consideramos una sal monovalente, NaCl, la cual está completamente dissociada en sus iones cloruro (Cl^-) y sodio (Na^+).

$S_{conf,net}$ representa la entropía conformacional que resulta de la flexibilidad de la red de polimérica, la cual viene dada por todas las conformaciones diferentes que puede asumir la misma.

$F_{qca,net}$, es la energía química libre que describe el equilibrio entre las especies protonadas y desprotonadas de unidades funcionales (ácidas/básicas), para nuestro film solo se consideran unidades ácidas.

De manera similar, $F_{qca,net}$ describe la protonación de residuos titulables de la proteína.

U_{elec} y U_{ste} representan, respectivamente, las interacciones electrostáticas y las repulsiones estéricas. Las interacciones de Van der Waals son representadas en U_{VDW} .

Las expresiones explícitas de la ecuación 3.1 las describimos a continuación.

Como primer termino tenemos la entropía de mezcla de las especies móviles, entre ellas consideramos a nuestra proteína modelo:

$$\begin{aligned}
-\frac{S_{mez}}{k_B} = & A \sum_{\gamma} \int_0^{\infty} dz \rho_{\gamma}(z) (\ln(\rho_{\gamma}(z)v_w) - 1 + \beta\mu_{\gamma}^0) \\
& + A \sum_{\theta} \int_0^{\infty} dz \rho_{pro}(\theta, z) (\ln(\rho_{pro}(\theta, z)) - 1 + \beta\mu_{pro}^0)
\end{aligned} \tag{3.2}$$

en donde $\frac{1}{k_B T}$, y k_B es la constante de Boltzmann, T es la temperatura absoluta del sistema. La variable z es la coordenada que mide la distancia a la superficie de soporte de nuestro film, el área total de esta superficies es A . $\rho_{\gamma}(z)$ y μ_{γ} es densidad local, a un z dado, y potencial químico estándar de la especie γ respectivamente. El subíndice γ toma en cuenta la molécula de agua y sus respectivos iones (hidronio e hidróxido), además de los iones provenientes de la sal (K^+ y Cl^-).

El segundo término de esta ecuación corresponde a la entropía de mezcla de la proteína. $\rho_{pro}(\theta, z)$ es la densidad local de la proteína en la conformación θ . Es decir θ recorre sobre las configuraciones de la misma. Estas conformaciones incluyen rotaciones espaciales de la proteína. De este modo la densidad local media de la proteína puede expresarse como:

$$\langle \rho_{pro}(z) \rangle = \sum_{\theta} \rho_{pro}(\theta, z) \tag{3.3}$$

La entropía conformational que resulta de la flexibilidad de la red polimérica de nuestro film se representa en $S_{conf, net}$, esta tiene en cuenta todas las configuraciones de un set $\{\alpha\}$.

$$\frac{S_{conf, net}}{k_B} = - \sum_{\alpha} P(\alpha) \ln P(\alpha) \tag{3.4}$$

en donde $P(\alpha)$ denota la probabilidad de que el film se encuentre en la configuración α .

El siguiente término de eq 3.1 describe la energía libre dada por el equilibrio ácido-base de los segmentos de MAA que componen nuestra red.

$$\begin{aligned} \beta F_{qca,net} = A \int_0^\infty dz \langle \rho_{MAA}(z) \rangle [f(z)(\ln f(z) + \beta \mu_{MAA-}^0) \\ + (1 - f(z))(\ln(1 - f(z)) + \beta \mu_{MAAH}^0)] \end{aligned} \quad (3.5)$$

en donde $f(z)$ es el grado de carga de los segmentos de MAA entre las capas z y $z + dz$. μ_{MAA-}^0 y μ_{MAAH}^0 son los potenciales químicos estándar de las especies protonadas y desprotonadas respectivamente. Además se define:

$$\langle \rho_i(z) \rangle = \sum_{\alpha} P(\alpha) \rho_i(\alpha, z) \quad (3.6)$$

en el cual $\rho_i(\alpha, z)$ es el ensamble de densidad promedio local del film. El cual es una variable de entrada que cuantifica la densidad de segmentos del film que ocupan una capa z cuando la red se encuentra en la conformación α .

El equilibrio químico de las unidades titulables de la proteína es considerada en el siguiente término de la energía libre:

$$\begin{aligned} \beta F_{qca,pro} = A \int_0^\infty dz \sum_{\tau} \langle \rho_{pro,\tau}(z) \rangle [g_{\tau}(z)(\ln g_{\tau}(z) + \beta \mu_{\tau p}^0) \\ + (1 - g_{\tau}(z))(\ln(1 - g_{\tau}(z)) + \beta \mu_{\tau d}^0)] \end{aligned} \quad (3.7)$$

en donde $\langle \rho_{pro,\tau}(z) \rangle$ representa la densidad local promedio del segmento protonable τ de la proteína.

Que se define como:

$$\langle \rho_{pro,\tau}(z) \rangle = A \sum_{\theta} \int dz' \rho_{pro}(\theta, z') n_{\tau}(\theta, z', z) \quad (3.8)$$

en donde $n_{\tau}(\theta, r', r)$ es un parámetro de entrada que nos da el número de segmentos τ entre las capas z and $z + dz$ cuando el centro de masa de la proteína se encuentra en la configuración θ y en la posición z' .

Las unidades titulables pueden estar en esta protonado τ, p o desprotonado τ, d ,

los cuales poseen su potenciales químicos estándar $\mu_{\tau,p}^0$ y $\mu_{\tau,d}^0$ respectivamente. Admás definimos el grado de asociación g_τ para segmento τ como:

1. para unidades ácidas: $g_\tau(r) = 1 - f_\tau(r)$ (las unidades τ se cargan negativamente)
2. para unidades básicas: $g_\tau(r) = f_\tau(r)$ (las unidades τ se cargan positivamente)

en donde $f_\tau(r)$ es el grado de disociación de cada segmento τ .

La energía electrostática se define como:

$$\beta U_{elec} = A \int_0^\infty dz \left[\left(\sum_\gamma \rho_\gamma(z) q_\gamma + \sum_\tau f_\tau(z) \langle \rho_{pro,\tau}(z) \rangle q_\tau + f(z) \langle \rho_{MAA}(r) \rangle q_{MAA} \right) \beta \Psi(z) - \frac{1}{2} \beta \epsilon (\nabla \Psi(z))^2 \right] \quad (3.9)$$

en donde $\Psi(z)$ es el potencial electrostático dependiente de la posición, ϵ es la constante de permitividad del medio, q_γ es la carga correspondiente a la especie móvil γ , q_τ es la carga que adquieren los segmentos titulables de la proteína. Finalmente q_{MAA} es la carga que adquiere el segmento de MAA al desprotonarse.

En este contexto, la densidad de carga media es:

$$\langle \rho_q(z) \rangle = \sum_\gamma \rho_\gamma(z) q_\gamma + \sum_\tau f_\tau(z) \langle \rho_{pro,\tau}(z) \rangle q_\tau + f(z) \frac{\langle \phi_{MAA}(z) \rangle}{v_{MAA}} q_{MAA} \quad (3.10)$$

La contribución siguiente en la energía libre viene dada por la repulsión estérica entre todos los segmentos que componen el sistema. Esta contribución se incorpora a travez del siguiente restricción:

$$1 = \left[\sum_\gamma \rho_\gamma(z) v_\gamma + \sum_\lambda \langle \rho_{pro,\lambda}(z) \rangle v_\lambda + \langle \rho_{MAA}(z) \rangle v_{MAA} \right], \quad \forall z \quad (3.11)$$

en donde v_γ , v_λ y v_{MAA} son los volúmenes moleculares de los segmentos γ de las especies libres, λ en la proteína y los segmentos de MAA del film respectivamente.

$\langle \rho_{pro,\lambda}(z) \rangle$ es definimo de la misma forma que en la eq. 3.8. Cabe destacar que el subidice λ considera a todos los segmentos de la proteína, es decir $\tau \in \lambda$.

La energía proveniente de las interacciones de Van der Waals se expresa en el término U_{VdW} . En este trabajo se ha considerado que todos los segmentos del sistema poseen un caracter hidrofílico. Es decir la interacción entre cada par de segmentos es similar a su interacción con las moléculas de agua. Como resultado la energía de interacción de VdW se considera una constante aditiva a la energía libre, por lo cual puede ser ignorada.

En este punto la energía libre, eq 3.1, puede escribir como una funcional de funciones, esta ultimas están compuesta por la probabilidad de distribución de segmentos de nuestra red polimérica. las densidades locales de cada una de las especies libres, incluidas la densidad de conformaciones de la proteína, los grados de protonación/disociación y el potencial electrostático local. Es decir:

$$F = \sum_{\alpha} \sum_{\theta} \int_0^{\infty} dz f(\alpha, \theta, z) \quad (3.12)$$

en donde:

$$f = f(P(\alpha), \rho_{\gamma}(z), \rho_{pro}(z), f_{\tau}(z), f(z), \Psi(z)) \quad (3.13)$$

de forma más explicita:

$$\begin{aligned}
\beta F = & A \sum_{\gamma} \int_0^{\infty} dz \rho_{\gamma}(z) (\ln(\rho_{\gamma}(z) v_w) - 1 + \beta \mu_{\gamma}^0) \\
& + A \sum_{\theta} \int_0^{\infty} dz \rho_{pro}(\theta, z) (\ln(\rho_{pro}(\theta, z)) - 1 + \beta \mu_{pro}^0) \\
& + \sum_{\alpha} P(\alpha) \ln P(\alpha) \\
& + A \int_0^{\infty} dz \langle \rho_{MAA}(z) \rangle [f(z)(\ln f(z) + \beta \mu_{MAA-}^0) \\
& \quad + (1 - f(z))(\ln(1 - f(z)) + \beta \mu_{MAAH}^0)] \\
& + A \int_0^{\infty} dz \sum_{\tau} \langle \rho_{pro,\tau}(z) \rangle [g_{\tau}(z)(\ln g_{\tau}(z) + \beta \mu_{\tau p}^0) \\
& \quad + (1 - g_{\tau}(z))(\ln(1 - g_{\tau}(z)) + \beta \mu_{\tau d}^0)] \\
& + A \int_0^{\infty} dz \left[\left(\sum_{\gamma} \rho_{\gamma}(z) q_{\gamma} + \sum_{\tau} f_{\tau}(z) \langle \rho_{pro,\tau}(z) \rangle q_{\tau} + f(z) \langle \rho_{MAA}(r) \rangle q_{MAA} \right) \beta \Psi(z) \right. \\
& \quad \left. - \frac{1}{2} \beta \epsilon (\nabla \Psi(z))^2 \right]
\end{aligned} \tag{3.14}$$

Nuestro film esta el equilibrio con el bulk de la solución, la cual posee una composición bien definida (pH, Temperatura, concnentración salina, concentración de proteína). Estas cantidades proveen un potencial químico el cual debe estar en equilibrio con nuestro sistema polimérico. En particularestos potenciales corresponden a las especies libres, μ_{γ} , y de la proteína, μ_{pro} . De esta forma al considerar esta condición de equilibrio nuestra energía libre se convierte un un gran potencial termodinámico:

$$\begin{aligned}
\Omega &= F - \sum_{\gamma} \mu_{\gamma} N_{\gamma} - \mu_{pro} N_{pro} \\
&= F - \sum_{\gamma} A \int_0^{\infty} dz \mu_{\gamma} \rho_{\gamma}(z) - \mu_{pro} N_{pro} \\
&\quad - A \int_0^{\infty} \mu_{H^+} \left(\sum_{\tau} \langle \rho_{pro,\tau}(z) \rangle g_{\tau}(z) + (1 - f(z)) \langle \rho_{MAA}(z) \rangle \right)
\end{aligned} \tag{3.15}$$

N_{γ} y N_{pro} son el número total de moléculas de las especies libres y la proteína respectivamente. En la última línea de la expresión eq. 3.15 se tiene en cuenta los protones asociados que provienen de las especies con segmentos titulables: proteína y red polimérica respectivamente.

Adicionalmente las condiciones de equilibrio deben satisfacer la condición de incompresibilidad del sistema: eq 3.11. Esta restricción se incorpora como:

$$\Phi = \Omega + A \int_0^{\infty} dz \Pi(z) \left[\sum_{\gamma} \rho_{\gamma}(z) v_{\gamma} + \sum_{\lambda} \langle \rho_{pro,\lambda}(z) \rangle v_{\lambda} + \langle \rho_{MAA}(z) \rangle v_{MAA} - 1 \right] \tag{3.16}$$

en donde $\Pi(z)$ es un multiplicador local de Lagrange. Este multiplicar se traduce o puede ser pensado como un potencial que define la presión osmótica local. Finalmente el potencial obtenido para nuestro sistema se escribe de forma explícita:

$$\begin{aligned}
\beta\Phi = & A \sum_{\gamma} \int_0^{\infty} dz \rho_{\gamma}(z) (\ln(\rho_{\gamma}(z)v_w) - 1 + \beta\mu_{\gamma}^0) \\
& + A \sum_{\theta} \int_0^{\infty} dz \rho_{pro}(\theta, z) (\ln(\rho_{pro}(\theta, z)) - 1 + \beta\mu_{pro}^0) \\
& + \sum_{\alpha} P(\alpha) \ln P(\alpha) \\
& + A \int_0^{\infty} dz \langle \rho_{MAA}(z) \rangle [f(z)(\ln f(z) + \beta\mu_{MAA-}^0) \\
& \quad + (1 - f(z))(\ln(1 - f(z)) + \beta\mu_{MAAH}^0)] \\
& + A \int_0^{\infty} dz \sum_{\tau} \langle \rho_{pro,\tau}(z) \rangle [g_{\tau}(z)(\ln g_{\tau}(z) + \beta\mu_{\tau p}^0) \\
& \quad + (1 - g_{\tau}(z))(\ln(1 - g_{\tau}(z)) + \beta\mu_{\tau d}^0)] \\
& + A \int_0^{\infty} dz \left[\left(\sum_{\gamma} \rho_{\gamma}(z) q_{\gamma} + \sum_{\tau} f_{\tau}(z) \langle \rho_{pro,\tau}(z) \rangle q_{\tau} + f(z) \langle \rho_{MAA}(r) \rangle q_{MAA} \right) \beta\Psi(z) \right. \\
& \quad \left. - \frac{1}{2} \beta \epsilon (\nabla \Psi(z))^2 \right] \\
& + A \int_0^{\infty} dz \beta \Pi(z) \left[\sum_{\gamma} \rho_{\gamma}(z) v_{\gamma} + \sum_{\lambda} \langle \rho_{pro,\lambda}(z) \rangle v_{\lambda} + \langle \rho_{MAA}(z) \rangle v_{MAA} - 1 \right] \\
& - \sum_{\gamma} A \int_0^{\infty} dz (\beta \mu_{\gamma} \rho_{\gamma}(z) - \beta \mu_{pro} \langle \rho_{pro}(z) \rangle) \\
& - A \int_0^{\infty} \beta \mu_{H+} \left(\sum_{\tau} \langle \rho_{pro,\tau}(z) \rangle g_{\tau}(z) + (1 - f(z)) \langle \rho_{MAA}(z) \rangle \right)
\end{aligned} \tag{3.17}$$

Todos los subíndices utilizados se encuentran en la tabla.... hacer tabla (?)

A continuación se mostrara la optimización de este gran potencial respecto de los funcionales presentados en eq. 3.13.

En particular la optimización respecto a la densidad de las especies libres, ρ_{γ} resulta en:

$$\rho_\gamma(z)v_w = a_\gamma \exp[-\beta q_\gamma \Psi(z)] \exp[-\beta v_\gamma \Pi(z)] \quad (3.18)$$

en donde la actividad de la especie γ se define como:

$$a_\gamma = \exp[\beta \mu_\gamma - \beta \mu_\gamma^0] \quad (3.19)$$

En esta expresión se ve la influencia de los potenciales químicos de las especies libres, μ_γ , los cuales deben estar en equilibrio con el bulk de la solución. Las actividades químicas están completamente determinadas por la composición (pH, T, concentración salina) del seno de la solución.

El grado de disociación de los segmentos de MAA viene dado por:

$$\frac{f(z)}{1-f(z)} = \frac{K_a^0}{a_{H^+}} \exp[-\beta q_{MAA} \Psi(z)] \quad (3.20)$$

en donde se define la constante termodinámica del equilibrio ácido-base para los segmentos de MAA como:

$$K_{a,MAA}^0 = \exp[-\beta \mu_{MAAH}^0 - \beta \mu_{MAA^-}^0 - \beta \mu_{H^+}^0] \quad (3.21)$$

Del mismo modo el grado de disociación de los segmentos titulables τ :

$$\frac{f_\tau(z)}{1-f_\tau(z)} = \left(\frac{a_{H^+}}{K_{a,\tau}^0} \right)^{\mp 1} \exp[-\beta q_\tau \Psi(z)] \quad (3.22)$$

la constante termodinámica para el equilibrio de los segmentos τ se define de igual forma que en eq. 3.21. el exponente, ∓ 1 , cambia si se trata de segmentos ácidos o básicos respectivamente.

Optimizando respecto a la probabilidad de las conformaciones de la red polimérica se obtiene:

$$\begin{aligned}
P(\alpha) = & \frac{1}{Q} \exp \left[-A \int_0^\infty \rho_{MAA}(\alpha, z) \ln f(z) \right] \\
& \exp \left[-A \int_0^\infty \rho_{MAA}(\alpha, z) \beta q_{MAA} \Psi(z) \right] \\
& \exp \left[-A \int_0^\infty \rho_{MAA}(\alpha, z) \beta v_{MAA} \Pi(z) \right]
\end{aligned} \tag{3.23}$$

en donde:

$$\begin{aligned}
Q = & \sum_{\alpha} \left\{ \exp \left[-A \int_0^\infty \rho_{MAA}(\alpha, z) \ln f(z) \right] \right\} \\
& + \sum_{\alpha} \left\{ \exp \left[-A \int_0^\infty \rho_{MAA}(\alpha, z) \beta q_{MAA} \Psi(z) \right] \right\} \\
& + \sum_{\alpha} \left\{ \exp \left[-A \int_0^\infty \rho_{MAA}(\alpha, z) \beta v_{MAA} \Pi(z) \right] \right\}
\end{aligned} \tag{3.24}$$

Constante con la cual se tiene en cuenta que la sumatoria de las probabilidades de cada conformación de la red polimérica sea 1:

$$\sum_{\alpha} P(\alpha) = 1 \tag{3.25}$$

La densidad local de nuestra proteína en una conformación θ se deriva de la expresión:

$$\begin{aligned}
\rho_{pro}(\theta, z) v_w = & \tilde{a}_{pro} \prod_{\tau} \exp \left[-A \int_0^\infty dz' n_{\tau}(\theta, z, z') \ln f_{\tau}(z') \right] \\
& \prod_{\lambda} \exp \left[-A \int_0^\infty dz' n_{\lambda}(\theta, z, z') [v_{\lambda} \beta \Pi(z') + q_{\lambda} \Psi(z')] \right]
\end{aligned} \tag{3.26}$$

En esta expresión se ha redefinido el potencial químico estandar de la proteína y si los segmentos son de naturaleza ácida τ, a o básica τ, b :

$$\beta\tilde{\mu}_{pro}^0 = \beta\mu_{pro}^0 + \sum_{\tau,a} C_{n,\tau} \beta\mu_{\tau,d}^0 + \sum_{\tau,b} C_{n,\tau} \beta(\mu_{H^+} - \mu_{\tau,p}^0) \quad (3.27)$$

en donde se define el número de composición, $C_{n,j}$, para un segmento j :

$$C_{n,j} = A \int_0^\infty dz n_j(\theta, z', z), \forall z' \quad (3.28)$$

resultando:

$$\tilde{a}_{pro}^0 = \exp[\beta\mu_{pro} - \beta\tilde{\mu}_{pro}^0] \quad (3.29)$$

La variación de nuestro gran potencial respecto del potencial electrostático que da origen a la ecuación de Poisson:

$$\epsilon \nabla^2 \Psi(z) = - \langle \rho_q(z) \rangle \quad (3.30)$$

En esta expresión en conjunto con la densidad de carga definida en eq. 3.10, nos muestra el acoplamiento local entre las interacciones físicas, la organización molecular, los grados de libertad, conformaciones y equilibrios químicos.

Para la resolución de nuestro sistema, que se encuentre en equilibrio, se han impuesto ciertas restricciones, como la incompresibilidad o equilibrio de potenciales químicos ecuaciones 3.11 y 3.15 respectivamente. Otra restricción que se impone es la electroneutralidad de la solución:

$$\int_0^\infty dz \langle \rho_q(z) \rangle = 0 \quad (3.31)$$

Esta restricción se satisface en la ecuación de Poisson al considerar las condiciones de contorno adecuadas, las cuales definimos:

$$\begin{aligned}
i) \lim_{z \rightarrow \infty} \Psi(z) &= 0 \\
ii) \left. \frac{d\Psi(z)}{dz} \right|_{z=0} &= 0
\end{aligned} \tag{3.32}$$

Estas condiciones significan que el potencial electrostático se desvanece a medida que nos alejamos de nuestro film polimérico, y que el medio dieléctrico en el cual se encuentra el film se extiende desde su superficie de soporte, respectivamente.

En este punto hemos mostrados las expresiones que optimizan a nuestro gran potencial, y cómo cada uno de estos funcionales: $P(\alpha)$, $\rho_\gamma(z)$, $\rho_{pro}(z)$, $f_\tau(z)$, $f(z)$, $\Psi(z)$ a su vez terminan siendo definidos por dos potenciales locales: Electrostático $\Psi(z)$ y Presión osmótica $\Pi(z)$. Como primera conclusión de esta teoría es que es posible calcular y describir la termodinámica del sistema dadas las condiciones de laboratorio: pH, concentración de sal y adsorbatos, temperatura. Utilizando y resolviendo las ecuaciones de incompresibilidad y de electroneutralidad, además de otros parámetros de entrada: volúmenes moleculares, cargas y constantes de disociación. así como la distintas conformación que pueden adquirir cada elemento del sistema, es decir la distribución espacial de cada segmento cada una conformación. Estas parámetros de entrada son provisto al código mediante el uso de un modelo molecular.

La forma de obtener estas variables desconocidas, $\Psi(z)$ y $\Pi(z)$ es realizando una solución numérica por sustitución en la diferentes ecuaciones en las que interactúan: la densidad de las especies libres eq. 3.18, los grados de disociación de los segmentos del film y de los segmentos titulables de la proteína ecuaciones 3.20 y 3.22 respectivamente, la probabilidad de las conformaciones de la red polimérica ecu. 3.23 y la densidad local de la proteína ecu. 3.26.

Una vez obtenidos los potenciales $\Pi(z)$ y $\Psi(z)$ es posible derivar cualquier cantidad termodinámica de interés a partir de la energía libre o haciendo uso de alguna expresión explícita.

Por ejemplificar la fracción de volumen local ocupada por la proteína puede ser calculada como:

$$\langle \phi_{pro}(z) \rangle = A \int_0^\infty dz' \sum_\theta \rho(\theta, z') \sum_\lambda n_\lambda(\theta, z', z) v_\lambda \quad (3.33)$$

Con esta cantidad es posible cuantificar la adsorción de la proteína en el film.

3.2 Solución Bulk

Como mencionamos en la sección anterior, el potencial usado es un potencial gran canonico el cual proviene de un ensamble gran canonico, en el cual el sistema de estudio esta en equilibrio con un “baño térmico”. Traducido a nuestro trabajo significa que el film y sus alrededores se encuentran en constante equilibrio con el bulk de la solución en la que estan bien definidas las variables como pH, temperatura y concentración de sal y/o proteína. Dadas estas condiciones la resolución del bulk de la solución es indispensable para llevar a cabo nuestras simulaciones. Las soluciones nos proporcionan la información de las actividades de las especies móviles, y con ella sus potenciales químicos. Información que como vimos anteriormente es necesaria para la resolución de las ecuaciones de incompresibilidad y de Poisson.

El procedimiento teórico es en esencia el mismo: escritura de la energía libre (y su respectivo potencial) y minimización respecto de las funcionales que lo componen.

De esta forma el potencial dado por el bulk de la solución se escribe:

$$\begin{aligned}
\beta \frac{\Phi^b}{V} = & \sum_{\gamma} \rho_{\gamma}^b (\ln (\rho_{\gamma}^b v_w) - 1 + \beta \mu_{\gamma}^0) \\
& + \sum_{\theta} \rho_{pro}^b(\theta) (\ln (\rho_{pro}^b(\theta)) - 1 + \beta \mu_{pro}^0) \\
& + \sum_{\tau} \langle \rho_{pro,\tau}^b \rangle [g_{\tau}^b (\ln g_{\tau}^b + \beta \mu_{\tau p}^0) + (1 - g_{\tau}^b) (\ln(1 - g_{\tau}^b) + \beta \mu_{\tau d}^0)] \\
& + \left[\left(\sum_{\gamma} \rho_{\gamma}^b q_{\gamma} + \sum_{\tau} f_{\tau}^b \langle \rho_{pro,\tau}^b \rangle q_{\tau} \right) \beta \Psi^b - \frac{1}{2} \beta \epsilon (\nabla \Psi^b)^2 \right] \\
& + \beta \Pi^b \left[\sum_{\gamma} \rho_{\gamma}^b v_{\gamma} + \sum_{\lambda} \langle \rho_{pro,\lambda}^b \rangle v_{\lambda} - 1 \right] \\
& - \sum_{\gamma} (\beta \mu_{\gamma} \rho_{\gamma}^b - \beta \mu_{pro} \langle \rho_{pro}^b \rangle) - \beta \mu_{H^+} \left(\sum_{\tau} \langle \rho_{pro,\tau}^b \rangle g_{\tau} \right)
\end{aligned} \tag{3.34}$$

en donde El superíndice b denota el Bulk de la solución. Los ensambles, expresiones entre brackets ($\langle \rho \rangle$) se definen de la misma forma que en la sección anterior. Teniendo las salvedades que no hay dependencia sobre la coordenada z :

$$\langle \rho_{pro}^b \rangle = \sum_{\theta} \rho_{pro}^b(\theta) \tag{3.35}$$

Además se ha considerado las condiciones a $z \rightarrow \infty$:

$$\begin{aligned}
i) \rho_i^b &= \rho(z \rightarrow \infty)_i \\
ii) \Pi^b &= \Pi(z \rightarrow \infty) \\
iii) g_{\tau}^b &= g_{\tau}(z \rightarrow \infty)
\end{aligned} \tag{3.36}$$

en donde i hace referencia a las especies libres y la proteína.

en consecuencia para las especies libres γ resulta:

$$\rho_{\gamma}^b v_w = a_{\gamma} \exp [-\beta q_{\gamma} \Psi^b - \beta \Pi^b v_{\gamma}] \tag{3.37}$$

El grado de disociación de los segmentos τ titulables de la proteína:

$$\frac{f_\tau^b}{1 - f_\tau^b} = \left(\frac{a_{H^+}}{K_{a,\tau}^0} \right)^{\mp 1} \exp[-\beta q_\tau \Psi^b] \quad (3.38)$$

finalmente para la densidad de proteína se obtiene:

$$\rho_{pro}(\theta) v_w = \tilde{a}_{pro} \prod_{\tau} \exp[-cn_\tau \ln f_\tau^b] \prod_{\lambda} \exp[-cn_\lambda (v_\lambda \beta \Pi^b + q_\lambda \Psi^b)] \quad (3.39)$$

en donde \tilde{a}_{pro} y cn_τ (y cn_λ) son definidos en las ecuaciones 3.29 y 3.28 respectivamente.

Podemos observar nuevamebte que nuestros funcionales quedan en función, valga la redundancia, por la presión osmótica Π^b y el potencial electrostático Ψ^b . Sin embargo si consideramo las condiciones de contorno dada en la ec. 3.32 para la ecuación de Poisson, vemos que en la solución bulk se debe cumplir: $\Psi^b = 0$.

Esto nos muestra que para nuestro baño térmico la principal incógnita es la presión osmótica: Π^b . La cual es posible obtenerla por resolución numérica al sustituir las ecuaciones 3.37, 3.39 y sus respectivas actividades (ecuaciones 3.41 y 3.42) en la nueva condición de incompresibilidad dada por:

$$\sum_{\gamma} \rho_{\gamma}^b v_{\gamma} + \sum_{\lambda} \langle \rho_{pro,\lambda}^b \rangle v_{\lambda} = 1 \quad (3.40)$$

Como se mencionó al inicio de esta sección la resolución del bulk de la solución, en concreto el cálculo de Π^b , nos provee la información para las actividades de las especies móviles:

$$a_{\gamma} = \frac{\rho_{\gamma}^b v_w}{\exp[-\beta \Pi^b v_{\gamma} - \beta q_{\gamma} \Psi^b]} \quad (3.41)$$

y para la proteína:

$$\tilde{a}_{pro} = \rho_{pro}(\theta) v_w \exp [cn_\tau \ln f_\tau^b] \exp [cn_\lambda (v_\lambda \beta \Pi^b + q_\lambda \Psi^b)] \quad (3.42)$$

Hay que tener en cuenta que las densidades en el bulk de la solución son parámetro de entrada en cada cálculo. Una vez que se establecen el pH, la concentración de sal y la concentración de nuestra proteína, estas densidades se determinan completamente (usando la electroneutralidad de la solución del bulk y la autodisociación de equilibrio del agua).

3.3 resolución numérica

La obtención de resultados a partir de la teoría planteada en estas secciones requiere la solución numérica de ecuaciones integro-diferenciales. Para tal propósito es conveniente pasar de un sistema continuo a uno discreto. La discretización del sistema se realiza en capas de espesor δ . La suma sobre cada uno de estas capas reemplazan a las integrales a lo largo del eje z .

Por ejemplificar este cambio, la ecuación de incompresibilidad expresada en ec. 3.11 es reescrita como:

$$1 = \left[\sum_{\gamma} \rho_{\gamma}(i_z) v_{\gamma} + \sum_{\lambda} \langle \rho_{pro,\lambda}(i_z) \rangle v_{\lambda} + \langle \rho_{MAA}(i_z) \rangle v_{MAA} \right], \text{ with } i_z = 1, 2, 3, \dots, n_z \quad (3.43)$$

Esta expresión nos permite resolverla en cada una de las capas i_z , cuya posición es descrita usando la coordenada $z_i = (i_z - 0.5)\delta$, lo cual las ubica en el centro de cada capa. i_z toma los valores de 1 a n_z , donde se toma a n_z lo suficientemente grande para que las densidades de cada una de las especies involucradas, así como también el potencial electrostático, convergan a sus valores en el baño térmico (el bulk de la solución). Es decir: $\rho_{\gamma}(n_z) = \rho_{\gamma}^b$, $\rho_{pro}(\theta, n_z) = \rho_{pro}^b(\theta)$ y $\Psi(n_z) = \Psi^b = 0$. Para valores de $n_z \geq 500$ es posible obtener estas condiciones (dado que no son impuestas per se en la teoría).

Reescribiendo las expresiones de los funcionales de la sección 3.1, obtenemos para la densidad discreta de las especies libres:

$$\rho_\gamma(i_z)v_w = a_\gamma \exp[-\beta q_\gamma \Psi(i_z)] \exp[-\beta v_\gamma \Pi(i_z)] \quad (3.44)$$

El grado de disociación:

$$\frac{f_j(i_z)}{1 - f_j(i_z)} = \left(\frac{a_{H^+}}{K_{a,j}^0} \right)^{\mp 1} \exp[-\beta q_j \Psi(i_z)] \quad (3.45)$$

en donde j hace referencia a los segmentos de MAA del film y los segmentos titulables τ de la proteína. Y en la que nuevamente se tiene en cuenta que el exponente -1 o $+1$ discrimina si el segmento j es ácido o básico

La densidad de los segmentos que compone la red polimérica se expresa como:

$$\langle \rho_{MAA}(i_z) \rangle = \sum_{\alpha} P(\alpha) \rho_{MAA}(\alpha, i_z) \quad (3.46)$$

En donde se redefine $P(\alpha)$:

$$\begin{aligned} P(\alpha) = & \frac{1}{Q} \exp \left[-A\delta \sum_{i_z=1}^{n_z} \rho_{MAA}(\alpha, i_z) \ln f(i_z) \right] \\ & \exp \left[-A\delta \sum_{i_z=1}^{n_z} \rho_{MAA}(\alpha, i_z) \beta q_{MAA} \Psi(i_z) \right] \\ & \exp \left[-A\delta \sum_{i_z=1}^{n_z} \rho_{MAA}(\alpha, i_z) \beta v_{MAA} \Pi(i_z) \right] \end{aligned} \quad (3.47)$$

en donde $\Psi(i_z)$ y $\Pi(i_z)$ son los valores discretos de la interacción de estos potenciales. Además $\rho_{MAA}(\alpha, i_z)$ es la distribución discreta para una conformación α la cual son provistas por el tipo de modelo molecular a usar.

La densidad discreta de la proteína se expresa:

$$\rho_{pro}(\theta, i_z) v_w = \tilde{a}_{pro} \prod_{\tau} \exp \left[-A\delta \sum_{j_z=1}^{n_z} n_{\tau}(\theta, i_z, j_z) \ln f_{\tau}(j_z) \right] \prod_{\lambda} \exp \left[-A\delta \sum_{j_z=1}^{n_z} n_{\lambda}(\theta, i_z, j_z) [v_{\lambda}\beta\Pi(j_z) + q_{\lambda}\Psi(j_z)] \right] \quad (3.48)$$

Finalmente discretizando la ecuación de Poisson, para el potencial electrostático, obtenemos:

$$\epsilon \frac{\Psi(i_z + 1) + \Psi(i_z - 1) + 2\Psi(i_z)}{\delta^2} = \langle \rho_q(i_z) \rangle \quad (3.49)$$

en esta expresión se ha reemplazado la derivada segunda el potencial por su diferencia finita. Además la densidad discreta de carga se define:

$$\langle \rho_q(i_z) \rangle = \sum_{\gamma} \rho_{\gamma}(i_z) q_{\gamma} + \sum_{\tau} f_{\tau}(i_z) \langle \rho_{pro,\tau}(i_z) \rangle q_{\tau} + f(i_z) \frac{\langle \phi_{MAA}(i_z) \rangle}{v_{MAA}} q_{MAA} \quad (3.50)$$

Así como fueron definidas las condiciones de contorno en la ecuación 3.32 es necesario redefinirla para el sistema discreto. Estas condiciones deben satisfacer el desvanecimiento del potencial electrostático, $\Psi(n_z) = 0$. Además se debe cumplir que la derivada del mismo entre la superficie de soporte y el film se anule. Para ello es necesario agregar una capa $i_z = 0$. Y resultando:

$$\frac{\Psi(1) - \Psi(0)}{\delta} = 0 \quad (3.51)$$

lo que implica que $\Psi(0) = \Psi(1)$.

En resumen dadas las condiciones del bulk de la solución, o condiciones de laboratorio, compuestas por el pH, concentración de sal y proteína. temperatura, restaría conocer las cantidades $\Psi(i_z)$ y $\Pi(i_z)$ para cada capa i_z . Variables que pueden ser obtenidas al resolver en cada capa las ecuaciones 3.43 y 3.49. De esta forma el número de ecuaciones totales a resolver es $2n_z$ (dos por cada capa). el número de términos

de cada ecuación es dependiente de la cantidad de especies involucradas con sus respectivas conformaciones. Este sistema de ecuaciones es resuelto usando el método de Newton con Jacobiano libre, implementado en códigos FORTRAN desarrollados en el grupo de trabajo.

3.4 resultados

Hidrogeles compuestos por cadenas de poliácidos son sensibles a los cambios de pH. Esta respuesta se debe a la equilibrio químico de protonación/desprotonación de las unidades ácidas que componen la red. Para entender el funcionamiento de esta respuesta recordaremos algunos conceptos sobre el comportamiento ácido/base de moléculas bajo condiciones ideales. Estos conceptos nos servirán para entender el equilibrio que ocurre cuando se confinan los monómeros en una red polimérica. Los mismos principios serán utilizados para los sistemas de estudio de los próximos capítulos.

3.4.1 Respuesta al pH

Si consideramos una solución diluida de moléculas titulables, estas pueden exhibir dos estados posibles: protonado o desprotonado. En este sentido se define el grado de disociación, f , el cual proporciona la fracción de moléculas que se encuentran en estado desprotonado:

$$f = \frac{1}{1 + 10^{pK_a - pH}} \quad (3.52)$$

si consideramos moléculas ácidas su estado protonado no posee carga, es neutro, por otro lado su estado desprotonado posee carga. Al considerar esto el grado de disociación, además nos indica el grado de carga de estas moléculas, f_c . Para moléculas básicas su estado de carga es contrario a las moléculas ácidas, en consecuencia el grado de carga viene dado por: $f_c = 1 - f$.

En soluciones diluidas el grado de disociación f (y el de carga f_c) son completamente determinados por el pH de la solución y el pK_a intrínseco del par ácido/base. Cuando el $pH = pK_a$ la mitad de los grupos titulables se encuentran en disociados

($f = 0.5$). Para valores de ± 1 corresponden a estados con 90% y 10% de disociación respectivamente. Es decir, cuando el pH aumenta alrededor del pKa, la transición del 10 al 90 % de desprotonación ocurre dentro de dos unidades de pH de la solución ideal.

Estas consideraciones de solución ideal usualmente se utilizan para estimar el grado de carga de las unidades ácidas dentro de cadenas polímeras. Sin embargo, este comportamiento es diferente para sistemas en confinamiento. Las unidades protonables que forman parte de una red polimérica son un ejemplo de ello, lo cual modifica significativamente su comportamiento de protonación.

Red polimérica

A continuación describiremos el comportamiento de estos sistemas confinados, hidrogeles sensibles al pH. Haciendo uso de la teoría planteada anteriormente.

A diferencia de las soluciones diluidas, las unidades ácidas en una red de polímeros experimentan repulsiones electrostáticas cuando estas se encuentran cargadas. Para reducir la fuerza de las repulsiones dentro de la red, estos grupos se disocian significativamente menos que en condiciones ideales. En la figura 3.1 se ilustra este comportamiento y muestra el grado medio de carga de los segmentos de un film compuesto por una red cadenas de ácido poli(metacrílico) (PMAA), que está en contacto con soluciones que tienen diferentes concentraciones de sal.

A un pH dado es significativamente menos probable que se cargue una unidad ácida de la red polimérica de lo que se espera según las consideraciones ideales. La concentración de sal de la solución resulta ser una variable crítica que modula este comportamiento de regulación de carga.

A una salinidad relativamente alta, la cantidad de los contraiones dentro del film crece, lo que da como resultado el apantallamiento de interacciones electrostáticas. Las interacciones son ahora de corto alcance. Este apantallamiento de repulsiones dentro de la red permite que el polímero aumente su grado de carga. En esta primera observación vemos que un aumento en la salinidad genera una protonación que se aproxima al comportamiento ideal.

En condiciones de baja concentración de sal solo se encuentran los suficientes contraiones dentro de la red para neutralizar la carga eléctrica del polímero. Bajo



Figura 3.1: Grado de carga del gel como función del pH. Grado de carga para un monomero aislado en presentado en curva a rayas, se compara para diferentes concentraciones de sal, a mayor concentración salina más nos acercamos al sistema ideal.

tales condiciones, el efecto de apantallamiento de los iones de sal se debilita y las interacciones electrostáticas se vuelven efectivamente de mayor alcance. Como resultado, la red se carga menos para prevenir o reducir las repulsiones dentro de la red.

En la figura 3.1 vemos que el grado de carga de los film poliméricos cambia respecto a monómeros aislados. Esto nos induce a pensar que las condiciones de ese entorno son diferentes a las que se esperaría para el seno de la solución. Existe una regulación de carga, lo que conlleva a pensar en una regulación del pH. Definimos así el pH local que nos proporciona la concentración de protones en la posición espacial z :

$$pH(z) = -\log_{10}([H^+](z)) \quad (3.53)$$

Una baja disociación (un nivel de protonación alto) de las unidades ácidas de las unidades de *MAA* en nuestra red polimérica puede explicarse en términos del pH local dentro del material. Se define el pH_{gel} como el promedio del pH local dentro del film. Resultados previos han mostrado que esta cantidad está bien definida [REFs] .

Enfatizaremos la importancia de estos dos términos pH_{gel} y $pH(z)$ por la información que proveen: el estado de carga/protonación de las unidades titulables en la red polimérica.

Haciendo uso de la eq. 3.52 es posible calcular el grado de disociación de la estructura polimérica de nuestro hidrogel. El uso del pH_{gel} es indispensable en condiciones donde el pH es distinto al del seno de la solución [REFs] . El mismo procedimiento se realiza para calcular el estado de protonación local de las unidades titulables de las especies que se adsorben en el film (ver figura 3.2).

Sin embargo, aunque esto parece simplificar el problema de establecer la carga neta de cualquier especie de nuestro sistema: en nuestro caso la red polimérica y las proteínas adsorbidas. Determinar los cambios en el pH local tiene la misma complejidad que el problema original (es decir, determinar la carga del film). El pH local que se establece dentro del material, así como su valor en la interfaz entre el film polimérico y la solución acuosa, es el resultado de la compleja interacción entre la organización molecular, los equilibrios químicos y las interacciones físicas que determinan el equilibrio termodinámico a las condiciones impuestas externamente (pH, concentración de sal). Todas las variables expuestas en la sección 3.1.



Figura 3.2: Número de carga de las proteínas citocromo c y mioglobina como función del pH en el seno de la solución (bulk). La línea a trazos muestra el cambio en el signo de la carga.

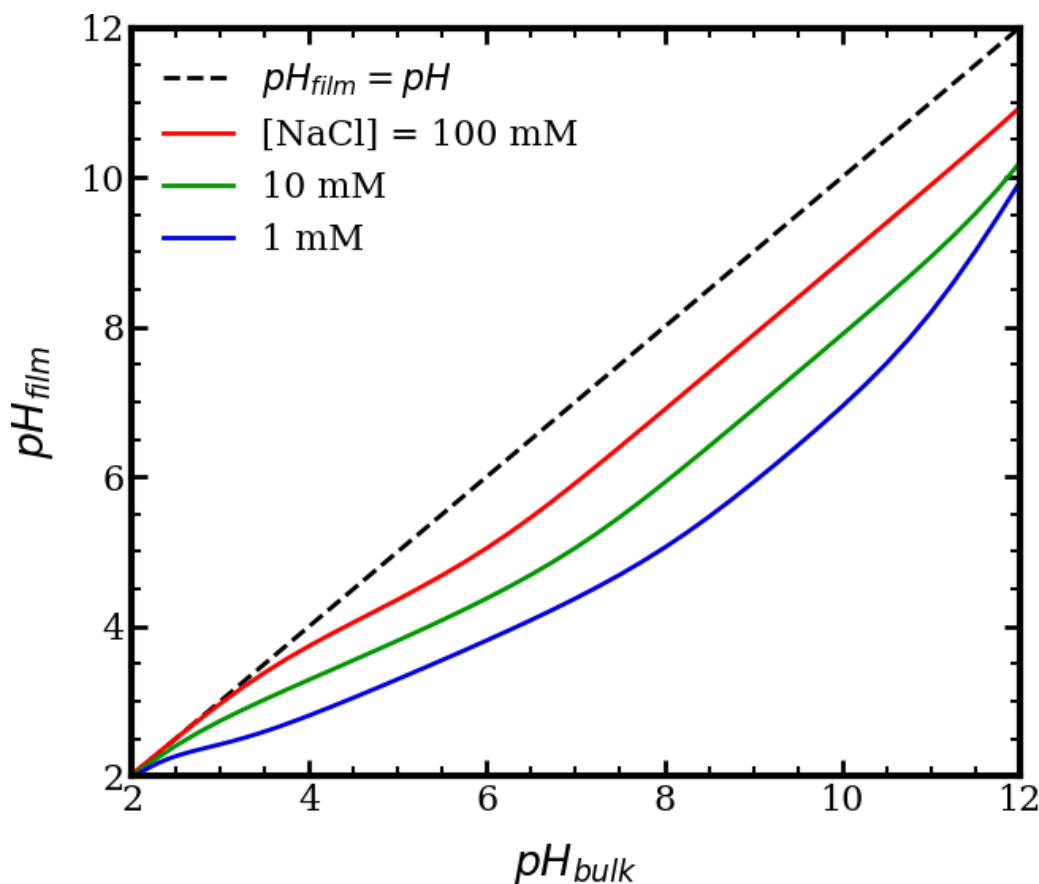


Figura 3.3: pH local del gel como función del pH en el seno de la solución (bulk). Cada curva corresponde a una concentración de sal diferente.

Para ejemplificar como es esta variación del pH respecto al pH y concentración salina dadas para el bulk de la solución, se puede observar la figura 3.3 que muestra el pH dentro de nuestro film de cadenas de *PMAA* como una función del pH, cada curva hace referencia a una concentración de sal diferente. Se agrega, a rayas, el comportamiento “ideal” en donde el pH del bulk es igual al pH local, en particular al del film. calculado usando teoría molecular.

3.4.2 Adsorción

El uso estos sistemas de hidrogeles como transportadores de adsorbatos de utilidad terapéutica, involucra el poder cuantificar y cualificar esta adsorción.

Para ello nos valdremos de la teoría molecular ya expuesta y haciendolo uso de ciertas proteínas modelo como lo son el citocromo c y la mioglobina. El uso de estas dos proteínas presentan gran estabilidad en un amplio rango de pH, y contar con estudios experimentales en sistemas poliméricos similares.

Para cuantificar la cantidad de proteína adsorbida en el film utilizamos la expresión:

$$\Gamma_{pro} = \int_0^{\infty} dz(\rho_{pro}(z) - \rho_{pro}^b) \quad (3.54)$$

en donde $\rho_{pro}(z)$ y ρ_{pro}^b son las densidades locales y en el bulk de la solución de la proteína respectivamente. Γ_{pro} proporciona la cantidad de adsorbato por unidad de área en exceso dentro del material, recibiendo también contribuciones de la interfaz de solución de polímero.

Para estas proteínas, la adsorción es una función no monotónica del pH de la solución (ver Figura 3.4). A pH bajo, estas proteínas tienen una carga alta y positiva, pero la red de poliácidos (*PMAA*) solo está débilmente ionizada (véanse las Figuras 3.1 y 3.2). A un pH suficientemente alto, por otro lado, el polímero está fuertemente cargado negativamente, pero las proteínas tienen una carga débilmente positiva o incluso negativa. Bajo tales condiciones (muy) ácidas o alcalinas, las interacciones electrostáticas son débilmente atractivas o repulsivas respectivamente. No hay fuerza impulsora para la adsorción. A valores de pH intermedios, por el contrario, donde tanto la proteína como la red polimérica tienen cargas fuertes y opuestas, se produce una adsorción significativa con un máximo necesario en tales condiciones.

La adsorción de proteínas depende críticamente de la concentración de sal de la solución. Este comportamiento se ilustra en la figura 3.4 que muestra la adsorción de citocromo c y mioglobina en un film compuesto por cadenas poliméricas de *PMAA*. La disminución de las concentraciones de sal mejora la adsorción y amplía el rango de pH de la adsorción. Por ejemplo, ambos paneles de la 3.4 muestran una disminución de aproximadamente un orden de magnitud en la adsorción cuando se comparan soluciones de NaCl 1 mM y 10 mM. El pH de máxima adsorción también depende de la salinidad de la solución. Este comportamiento es aún más interesante cuando se considera que una concentración de sal más baja conduce a una red con carga más

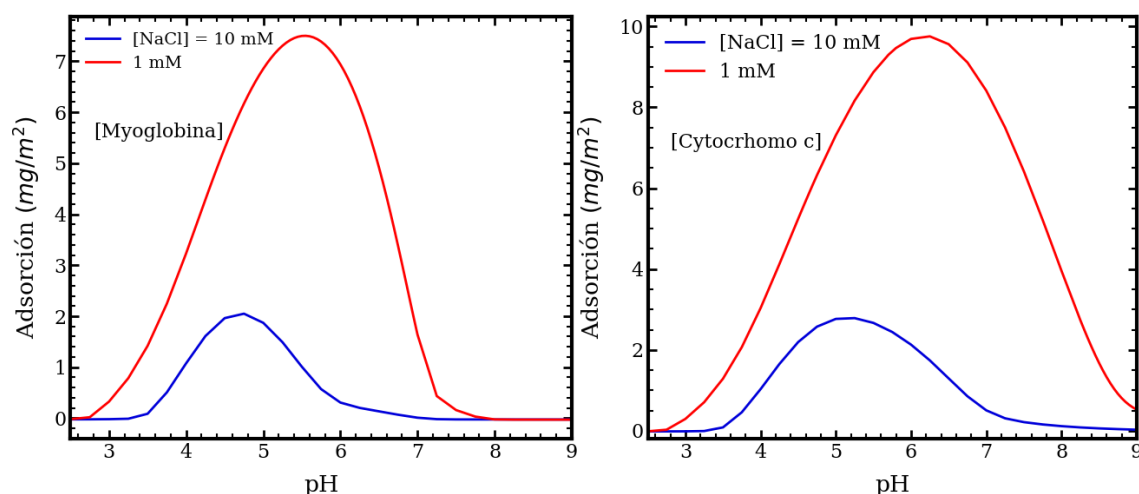


Figura 3.4: Adsorción de proteínas: citocromo c y mioglobina en panel A y B respectivamente. La concentración de los adsorbatos es $10\mu M$

débil, como describimos con anterioridad, fig. 3.1. En otras palabras a medida que disminuye la concentración de sal, más proteína es adsorbida. Esta última afirmación es cierta en las concentraciones de proteína ($10\mu M$) y sal de la figura 3.4, donde la adsorción solo modifica ligeramente el grado de carga de la red.

Esta dependencia de la adsorción de la concentración de sal tiene tres razones principales: en primer lugar, existe el apantallamiento de las atracciones electrostáticas de la red hacia la proteínas por parte de los iones de sal. Cuanto menor sea la concentración de sal, más débil será el apantallamiento de las interacciones proteína-red, lo que mejora la adsorción. En segundo lugar, a medida que la concentración de sal disminuye, el pH dentro del film también disminuye (a un pH de bulk dado). Esto implica que las proteínas adsorbidas tienen una carga más positiva tras la adsorción. En tercer lugar, la ganancia entrópica de la liberación de contraiones de la red de polímeros es mayor a medida que disminuye la concentración de sal, lo que también favorece la adsorción de proteínas.

Chapter 4

Geles poliméricos

4.1 Modelo de 2 fases

Los microgeles son partículas blandas hechas de cadenas de polímeros entrecruzados que pueden mostrar un comportamiento tanto coloidal como macromolecular [62]. Inmersas en soluciones acuosas, estas partículas incorporan y retienen grandes cantidades de agua dentro de su estructura polimérica. Por lo general, sus diámetros van desde decenas de nanómetros (nanogeles) hasta varias micras. Sin embargo, la característica más llamativa de estas partículas es su capacidad para absorber o liberar solventes y cambiar de tamaño en respuesta a una variedad de estímulos externos. Este comportamiento de respuesta es generalmente reversible y depende de la composición química de la red polimérica.

Por ejemplo los microgeles compuestos por cadenas poliméricas que tienen segmentos ácidos como el ácido acrílico o metacrílico (AA y MAA, respectivamente) se hinchan/deshinchan muchas veces en respuesta a cambios en el pH de la solución que los contienen [75]. El pH en el cual se marca el inicio y caracteriza esta transición es el pKa aparente del microgel, que depende de la concentración de sal de la solución y frecuentemente difiere del pKa intrínseco del monómero ácido. Estos microgeles también ajustan su tamaño en respuesta a cambios en la concentración de sal de la solución [75].

Análogamente, los microgeles de algunos polímeros termosensibles experimentan una transición de fase de volumen (VPT por sus siglas en inglés) cuando se calientan

por encima de una temperatura característica (VPTT o T_{pt}) [58, 59]. Este comportamiento se origina porque tales polímeros son insolubles en agua por encima de cierta temperatura de solución crítica más baja (LCST) [35]. Normalmente, la LCST del polímero y la VPTT de la red son aproximadamente idénticas. Este es el caso de las partículas de microgel de poli(N-isopropilacrilamida) (PNIPAm) [58], cuyo volumen colapsa por encima de 32°C , siendo el mismo para el polímero lineal [68].

Al tener un VPTT alrededor de la temperatura corporal, los microgeles de PNIPAm han generado un gran interés para aplicaciones biomédicas [26]. Las estrategias para controlar el VPTT de los microgeles incluyen la síntesis de nuevos monómeros termosensibles [10, 51], así como la copolimerización con un monómero iónico o ionizable [28, 48]. Este último enfoque produce microgeles de respuesta múltiple que son susceptibles a cambios en la temperatura, el pH y la concentración de sal [21, 75]. Los microgeles de NIPAm y AA han sido ampliamente estudiados [6, 8, 34, 54]; También se han investigado microgeles de copolímeros de NIPAm y MAA [19, 23, 29]. El VPTT de estos microgeles de respuesta múltiple depende del pH de la solución y la concentración de sal, y la fracción de monómero ionizable en las cadenas de polímero [8, 27, 29, 34, 43, 54, 79]. Además, la incorporación del comonómero ácido proporciona un mecanismo controlado por el pH para la captación/liberación de moléculas con carga opuesta, lo que hace que los microgeles de respuesta múltiple sean atractivos para el diseño de sistemas funcionales de administración de fármacos [46].

Las aplicaciones basadas en microgeles poliméricos son cada vez más diversas y cada vez más importantes en diferentes áreas de la tecnología [62]. Los nanocompuestos hechos de microgeles de poli(NIPAm-co-MAA) que incorporan nanopartículas de oro o plata o redes metal orgánicas (MOF) tienen aplicaciones potenciales en el desarrollo de materiales con actividad catalítica para la degradación de contaminantes industriales [4, 37, 74]. Estos microgeles también se pueden aplicar para el desarrollo de emulsiones sensibles al pH, la sal y la temperatura [9, 55, 56, 69] o como plantillas para el ensamblaje de nanomateriales [79]. Los geles poliméricos de tamaño nano/micro de respuesta múltiple son excelentes candidatos para el desarrollo de aplicaciones biomédicas mínimamente invasivas, incluida la ingeniería de tejidos [18]. Culver et al. [16] han utilizado nanogeles de poli(NIPAm-co-MAA)

funcionalizados para la unión y detección de diferentes proteínas. Recientemente se investigaron dispositivos basados en microgeles de poli(NIPAm-co-MAA) para la encapsulación/liberación del fármaco quimioterapéutico Doxorubicina [24, 52, 61].

En este contexto, en este capítulo mostramos el desarrollo de una teoría de equilibrio de dos fases y realizamos una investigación sistemática del comportamiento termodinámico de microgeles compuestos de copolímeros aleatorios de NIPAm y un comonomero ácido (MAA). Este modelo describe la química física detrás de todos los fenómenos de hinchamiento del microgel impulsado por el pH, la dependencia no monotónica del tamaño de partícula de la concentración de sal y el colapso de la red al aumentar la temperatura por encima del VPTT. Las predicciones que mostramos brindan una imagen clara de los efectos de la composición de la solución (pH, concentración de sal) y la química del polímero (contenido de MAA, grado de entrecruzamiento) en el VPT. También investigamos las mejores condiciones para la encapsulación de doxorubicina y daunorubicina dentro de estos microgeles. Los cálculos acá mostrados son específicos para el ácido metacrílico con $pK_a = 4,65$, pero el comportamiento fisicoquímico informado puede describir cualitativamente una variedad de microgeles basados en NIPAm que se han modificado con otros monómeros ácidos que tienen diferente pK_a y diferente solubilidad a pH bajo.

El comportamiento de los microgeles de poli(NIPAm-co-MAA), incluido su VPT y la interacción con polímeros de carga opuesta, se ha descrito utilizando una variedad de técnicas experimentales [19, 23, 24, 29, 39, 40, 76]. También se han aplicado teorías y simulaciones moleculares de grano grueso para investigar el comportamiento de los microgeles poliméricos sensibles a estímulos [3, 42, 65]. Estos trabajos se han centrado principalmente en el hinchamiento y otras propiedades de las partículas que tienen una red de polímero permanentemente cargada, y algunos han abordado el efecto de la temperatura y la calidad del solvente [1, 3, 32, 53, 64]. Recientemente, estudios con simulaciones han considerado la respuesta al pH de microgeles compuestos de polímeros reguladores de carga [30, 49, 66, 70, 71]. Sin embargo, solo unos pocos trabajos teóricos han investigado las propiedades de los microgeles de respuesta múltiple en función de la temperatura, el pH y la concentración de sal [11, 63].

4.1.1 Fase Microgel

Consideremos un modelo de dos fases: un microgel de poli(NIPAm-*co*-MAA) (P(NIPAm-MAA)) (la fase 1, denotada por MG) en contacto con una solución acuosa (fase 2, denotada por s). Externamente, podemos controlar la temperatura T , el pH y la concentración de sal de esta solución, lo que da como resultado que el microgel tenga un radio R y un volumen $V = \frac{4}{3}\pi R^3$. El potencial termodinámico cuyo mínimo produce las condiciones de equilibrio dentro de la fase de microgel es un potencial semi gran canónico, Ω_{MG} .

$$\begin{aligned} \Omega_{MG} = & -TS_{mez} + F_{qca,MAA} + F_{ela} \\ & + U_{elec} + U_{ste} + U_{VdW} - \sum_{\gamma} \mu_{\gamma} N_{\gamma} \end{aligned} \quad (4.1)$$

En donde S_{mez} es la entropía de traslación (mezcla) de las especies libres en la fase de microgel: moléculas de agua (w), hidronio (H_3O^+) e iones de hidróxido (OH^-), y cationes de sal (+) y aniones (-). Hemos considerado una sal monovalente, KCl , completamente disociada en iones de potasio y cloruro.

$$-\frac{S_{mez}}{k_B} = \sum_{\gamma} \rho_{\gamma} (\ln(\rho_{\gamma} v_w) - 1 + \beta \mu_{\gamma}^0) \quad (4.2)$$

en donde $\beta = \frac{1}{k_B T}$, T es la temperatura del sistema y k_B es la constante de Boltzmann. La densidad numérica de la especie γ es ρ_{γ} y μ_{γ}^0 es su potencial químico estándar, v_w es el volumen de una molécula de agua.

$F_{qca,MAA}$ es la energía química libre que describe la protonación de equilibrio de las unidades de MAA.

$$\beta F_{qca,MAA} = \frac{\phi_{MAA}}{v_{MAA}} [f(\ln f + \beta \mu_{MAA-}^0) + (1-f)(\ln(1-f) + \beta \mu_{MAAH}^0)] \quad (4.3)$$

donde ϕ_{MAA} es la fracción de volumen que ocupan estos segmentos, v_{MAA} es el volumen de este segmento, y f es el grado de disociación del mismo. La fracción de volumen de los segmentos MAA cargados es $f\phi_{MAA}$, y la de las unidades protonadas

(o sin carga) es $(1 - f)\phi_{MAA}$. Los potenciales químicos estándar son μ_{MAA-}^0 y μ_{MAAH}^0 para las especies desprotonadas(cargadas) y protonadas, respectivamente. Utilizamos el término segmento para identificar las unidades químicas que componen las cadenas poliméricas (MAA y NIPAm).

F_{ela} es la energía libre elástica que explica la libertad conformacional de la red polimérica.

$$\beta F_{ela} = \frac{3}{2} \frac{N_{seg}}{n_{ch} V} \left[\left(\frac{R}{R_0} \right)^2 - \ln \frac{R}{R_0} - 1 \right] \quad (4.4)$$

Esta expresión se describe en [53] y proviene del modelo de elasticidad del caucho, donde N_{seg} es el número total de segmentos en la red de polímero y n_{ch} es el número de segmentos por cadena de polímero o *longitud de cadena*. La constante de elasticidad en esta energía es proporcional al cociente $\frac{N_{seg}}{n_{ch}}$, que representa el número (total) de cadenas de polímero en el microgel. El radio del microgel seco es R_0 , lo que satisface con la expresión:

$$\frac{4}{3} \pi R_0^3 = V_0 = N_{seg} \left(x_{MAA} v_{MAA} + x_{NIPAm} v_{NIPAm} \right) \quad (4.5)$$

donde V_0 es el volumen de la partícula seca; x_{MAA} y x_{NIPAm} son la fracción de los segmentos MAA y NIPAm, respectivamente. Entonces, el número total de segmentos MAA es $x_{MAA} N_{seg}$ y el de unidades NIPAm es $x_{NIPAm} N_{seg}$, cada uno con un volumen v_{NIPAm} . Los microgeles que consideramos aquí satisfacen $x_{NIPAm} = 1 - x_{MAA}$.

U_{elec} y U_{ste} representan respectivamente las interacciones electrostáticas y las repulsiones estéricas.

$$\beta U_{elec} = \left(\sum_{\gamma} \rho_{\gamma} q_{\gamma} + f \frac{\phi_{MAA}}{v_{MAA}} q_{MAA} \right) \beta \psi_{MG} \quad (4.6)$$

donde q_{γ} y q_{MAA} son la carga eléctrica de las moléculas γ y los segmentos MAA,

respectivamente. El potencial electrostático dentro de la fase de microgel es ψ_{MG} . Fuera de esta fase el potencial es nulo $\psi_s = 0$

En donde se impone una restricción de electroneutralidad del microgel, que puede expresarse como:

$$\sum_{\gamma} \rho_{\gamma} q_{\gamma} + f \frac{\phi_{MAA}}{v_{MAA}} q_{MAA} = 0 \quad (4.7)$$

Las interacciones stericas se incorporan como una segunda restricción al sistema, la cual consiste en que el volumen del microgel está completamente ocupado por los segmentos de la red y las especies químicas libres.

$$\sum_{\gamma} \rho_{\gamma} v_{\gamma} + \phi_{MAA} + \phi_{NIPAm} = 1 \quad (4.8)$$

donde v_{γ} es el volumen molecular de la especie γ , y la fracción de volumen de cada componente de la red son:

$$\phi_{MAA} = N_{seg} \frac{x_{MAA} v_{MAA}}{\frac{4}{3} \pi R^3} \quad (4.9)$$

$$\phi_{NIPAm} = N_{seg} \frac{x_{NIPAm} v_{NIPAm}}{\frac{4}{3} \pi R^3} \quad (4.10)$$

U_{VdW} es la contribución que describe las interacciones efectivas polímero-disolvente; para este trabajo hemos realizado la siguiente aproximación:

$$U_{VdW} = U_{NIPAm-w} + U_{MAA-w} \quad (4.11)$$

en donde $U_{NIPAm-w}$ incorpora la transición hidrofílica-hidrofóbica de NIPAm al aumentar la temperatura por encima de su temperatura de transición crítica. Del mismo modo U_{MAA-w} hace cuenta de la interacción entre los segmentos de MAA y agua. Los resultados presentes en este capítulo consideran a los segmentos de MAA completamente hidrofílicos y por tanto $U_{MAA-w} = 0$

$$\beta U_{VDW} = U_{NIPAm-w} = \chi(T, \phi_{NIPAm}) \rho_w \phi_{NIPAm} \quad (4.12)$$

Este término explica la respuesta de PNIPAm a los cambios de temperatura a través de un parámetro de interacción polímero solvente, χ , que depende de la temperatura y la fracción de volumen de NIPAm, ϕ_{NIPAm} . Según Afroze et al. [2], este parámetro de Flory-Huggins se puede expresar como:

$$\begin{aligned} \chi(T, \phi_{NIPAm}) = & g_0(T) + g_1(T) \phi_{NIPAm} \\ & + g_2(T) \phi_{NIPAm}^2 \end{aligned} \quad (4.13)$$

con

$$g_k(T) = g_{k0} + \frac{g_{k1}}{T} + g_{k2}T \quad (4.14)$$

para $k = 0, 1, 2$, los coeficientes son: $g_{00} = -12.947$, $g_{02} = 0.044959 \text{ K}^{-1}$, $g_{10} = 17.920$, $g_{12} = -0.056944 \text{ K}^{-1}$, $g_{20} = 14.814$, $g_{22} = -0.051419 \text{ K}^{-1}$ y $g_{k1} \equiv 0$ [2]

Finalmente, la suma sobre γ expresa el equilibrio químico con la fase de solución, donde μ_γ y N_γ son el potencial químico y el número de moléculas de la especie γ , respectivamente. Aquí, el subíndice γ identifica las especies químicas libres, $\gamma \in \{w, H_3O^+, OH^-, +, -\}$. Hay que tener en cuenta que Ω_{MG} es un potencial semi-gran canónico porque la fase de microgel puede intercambiar cada una de estas moléculas con la fase de solución, mientras que la red de polímero está confinada dentro de la primera.

$$\sum_{\gamma} N_{\gamma} \mu_{\gamma} = \sum_{\gamma} \rho_{\gamma} \beta \mu_{\gamma} + \beta \mu_{H^+} (1 - f) \frac{\phi_{MAA}}{v_{MAA}} \quad (4.15)$$

Esta contribución muestra el equilibrio químico entre el microgel y la fase de solución, donde el segundo término representa a los protones asociados a unidades de MAA; a saber, $\mu_{H^+} \equiv \mu_{H_3O^+}$ se conjuga con el número total de protones, $N_{H_3O^+} +$

$$N_{MAAH} = V \left(\rho_{H_3O^+} + (1-f) \frac{\phi_{MAA}}{v_{MAA}} \right).$$

La forma explícita del potencial termodinámico es:

$$\begin{aligned} \beta \frac{\Omega_{MG}(R)}{V} = & \sum_{\gamma} \rho_{\gamma} (\ln(\rho_{\gamma} v_w) - 1 + \beta \mu_{\gamma}^0) \\ & + \frac{\phi_{MAA}}{v_{MAA}} [f(\ln f + \beta \mu_{MAA}^0) \\ & \quad + (1-f)(\ln(1-f) + \beta \mu_{MAAH}^0)] \\ & + \frac{3}{2} \frac{N_{seg}}{n_{ch} V} \left[\left(\frac{R}{R_0} \right)^2 - \ln \frac{R}{R_0} - 1 \right] \\ & + \left(\sum_{\gamma} \rho_{\gamma} q_{\gamma} + f \frac{\phi_{MAA}}{v_{MAA}} q_{MAA} \right) \beta \psi_{MG} \\ & + \beta \pi_{MG} \left[\sum_{\gamma} \rho_{\gamma} v_{\gamma} + \phi_{MAA} + \phi_{NIPAm} - 1 \right] \\ & + \chi(T, \phi_{NIPAm}) \rho_w \phi_{NIPAm} \\ & - \sum_{\gamma} \rho_{\gamma} \beta \mu_{\gamma} - \beta \mu_{H^+} (1-f) \frac{\phi_{MAA}}{v_{MAA}} \end{aligned} \quad (4.16)$$

En donde π_{MG} es la presión osmótica de la fase de microgel, introducido como un multiplicador de Lagrange para imponer la restricción de incompresibilidad, ec. 4.8.

Nuestro potencial termodinámico esta explícitamente en función de las densidades de todas las especies, el grado de carga del MAA y el radio del microgel, $\Omega_{MG}(R) \equiv \Omega_{MG}(\{\rho_{\gamma}\}, f, R)$. Para obtener las expresiones de $\{\rho_{\gamma}\}$ y f de tal forma que sean consistentes con el equilibrio termodinámico, minimizamos Ω_{MG} respecto a estas cantidades, y sujeto a las restricciones ec. 4.8 y ec. 4.7; dicho procedimiento conduce a:

$$\rho_{\gamma} v_w = a_{\gamma} \exp(-\beta \pi_{MG} v_{\gamma} - \beta \psi_{MG} q_{\gamma}) \quad (4.17)$$

$$\frac{f}{1-f} = \frac{K_{MAA}^0}{a_{H^+}} \exp(-\beta \psi_{MG} q_{MAA}) \quad (4.18)$$

Species	pKa	q (e)	v (nm ³)
$H_2O(w)$			0.03
H_3O^+		+1	0.03
OH^-		-1	0.03
K^+ (+)		+1	0.04
Cl^- (-)		-1	0.047
MAA	4.65	-1*	0.09
$NIPAm$			0.12

Tabla 4.1: Propiedades moleculares de las diferentes especies químicas consideradas. (*Para las especies desprotonadas).

donde $a_\gamma = e^{\beta\mu_\gamma - \beta\mu_\gamma^0}$ es la actividad de la especie γ . La constante de equilibrio termodinámico que describe la protonación/desprotonación MAA es

$$K_{MAA}^0 = e^{\beta\mu_{MAAH}^0 - \beta\mu_{MAA}^0 - \beta\mu_{H^+}^0} \quad (4.19)$$

Esta cantidad es posible calcularla directamente a partir del pKa del ácido.

Si se considera un valor de R , las únicas incógnitas restantes para determinar $\Omega_{MG}(R)$ son la presión osmótica, π_{MG} y el potencial electrostático, ψ_{MG} . Estas dos cantidades se pueden calcular resolviendo numéricamente la incompresibilidad y la electroneutralidad de la fase de microgel, ec. 4.8 y ec. 4.7, respectivamente. Para resolver estas ecuaciones utilizamos un método híbrido de Powell sin jacobiano y un código FORTRAN desarrollado internamente. En resumen, es posible calcular la variación de energía potencial respecto del radio del microgel R , y con ello calcular el valor del radio óptimo del gel para unas condiciones dadas(pH, temperatura, concentración de sal). Esto se ilustra en la sección 4.1.3.

Todas las demás cantidades involucradas en el cálculo de $\Omega_{MG}(R)$ son valores de entradas, incluidas las propiedades de las diferentes especies químicas consideradas, que se resumen en la tabla 4.1. Usamos $pK_w = 14$ para describir el equilibrio de disociación del agua. Las actividades de todas las especies químicas libres se pueden calcular a partir de la concentración de estas moléculas en la fase de solución, como se analiza a continuación.

4.1.2 Fase solución

En la solución, el potencial termodinámico es:

$$\begin{aligned} \beta \frac{\Omega_s}{V} = & \sum_{\gamma} \rho_{\gamma}^s (\ln(\rho_{\gamma}^s v_w) - 1 + \beta \mu_{\gamma}^0 - \beta \mu_{\gamma}) \\ & + \beta \pi_s \left[\sum_{\gamma} \rho_{\gamma} v_{\gamma} + \rho_a \sum_{\lambda} n_{\lambda} v_{\lambda} - 1 \right] \end{aligned} \quad (4.20)$$

el subíndice s indica las densidades en la fase solución. Al escribir la ec. 4.20, hemos considerado un volumen de referencia igual al del microgel, V , y se ha considerado, como se mencionó con anterioridad, cero el potencial electrostático en la fase de solución. Además en la última línea de la ecuación 4.20 se ha incorporado la restricción para la incompresibilidad del sistema, con π_s como la presión osmótica en la fase solución.

Una vez que se establece la composición de la solución (pH y concentración de sal), conocemos las densidades de todas las especies químicas en esta fase, que deben satisfacer tanto las restricciones de incompresibilidad como de neutralidad de carga:

$$\sum_{\gamma} \rho_{\gamma}^s v_{\gamma} = 1 \quad (4.21)$$

$$\sum_{\gamma} \rho_{\gamma}^s q_{\gamma} = 0 \quad (4.22)$$

con

$$\rho_{\gamma}^s v_w = a_{\gamma} \exp(-\beta \pi_s v_{\gamma}) \quad (4.23)$$

para $\gamma \in \{w, H_3O^+, OH^-, +, -\}$, donde π_s es la presión osmótica de la fase de solución introducida como un multiplicador de Lagrange por la ecuación 4.21. Al conocer π_s , podemos determinar las actividades de todas las especies químicas libres, y con las mismas resolver el sistema de la fase microgel. Los resultados de la minimización de la energía con un dado valor de R es presentada en la siguiente sección.

4.1.3 Minimización gráfica

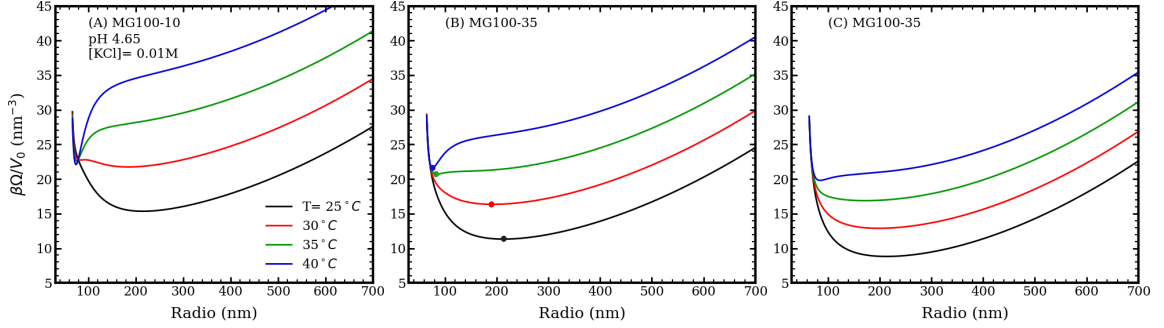


Figura 4.1: Potencial termodinámico en función del radio del microgel a diferentes temperaturas, pH 4.65 y $cs = 10^{-2}M$. Cada panel corresponde a un microgel MG100 diferente (longitud de cadena, $n_{ch} = 100$) con 10% (A), 35% (B) y 50% (C) MAA. Las curvas presentan el potencial termodinámico en exceso de la contribución de la solución, $\Omega = \Omega_{MG} - \Omega_s$, en algunas unidades convenientes, donde $V_0 = \frac{4}{3}\pi R_0^3$ es el volumen de la partícula polimérica seca. En el panel B, los puntos marcan el radio óptimo para cada temperatura, que es el mínimo local/global de la curva correspondiente (ver tabla 4.2).

Como mencionamos en la sección 4.1.1 es posible determinar completamente la energía libre de la fase de microgel para cualquier R dado. Las variables independientes en este cálculo son la temperatura, el pH y la concentración de sal de la solución en contacto con la fase microgel. El número de segmentos en la red de polímero N_{seg} , la longitud de la cadena n_{ch} y la fracción de segmentos MAA, x_{MAA} , caracterizan completamente a nuestro microgel, es decir son variables de entrada pre-establecidas.

Consideramos microgeles con $N_{seg} = 10^7$ segmentos y $n_{ch} = 50, 100$ y 200 , que tienen $x_{MAA} = 0, 1, 0, 35$ o $0, 5$. En esta primera instancia evaluamos el efecto de aumentar o reducir la cantidad de monómero ácido con respecto a los microgeles de poli(NIPAm-*co*-MAA) que tienen 35% MAA.

Estos microgeles están etiquetados como $MGn_{ch}-p_{MAA}$, donde p_{MAA} es el porcentaje de MAA. Por ejemplo, MG100-10 corresponde a un microgel con $n_{ch} = 100$ y $x_{MAA} = 0, 1$.

Para determinar el tamaño del microgel para un conjunto dado de condiciones, recurrimos a una minimización gráfica del mismo. Para cada conjunto de condiciones

(pH, sal y T), obtenemos la energía $\Omega(R) = \Omega_{MG}(R) - \Omega_s(R)$. En esta expresión obtenemos el potencial termodinámico en exceso de la contribución energética de la solución. Con ella podemos encontrar el R_{opt} , siendo este el radio óptimo, tal que la curva tenga un mínimo local (y global). Como ejemplo, este procedimiento se ilustra en la figura 4.1 para microgeles MG100. Los resultados obtenidos de la minimización de las curvas figura 4.1 se resumen en la tabla 4.2.

Radio óptimo (nm)(MG100)					
	25 °C	30 °C	35 °C	40 °C	Gel seco, R_0
10% MAA	215	184	75	74	65
35% MAA	213	193	84	76	64
50% MAA	213	199	172	85	63

Tabla 4.2: Minimización de las curvas de la figura 4.1. Esta tabla resume los radios óptimos de tres microgeles MG100 a diferentes temperaturas, pH 4.65 y $[KCl] = 10^{-2}M$.

4.1.4 Absorción

Nuestro objetivo es poder utilizar estos microgeles como dispositivos inteligentes, entre los que se destaca su uso como transportadores de medicamentos. Para ello es necesario analizar su factibilidad de su absorción de algunas drogas terapéuticas. En el presente capítulo realizamos el análisis usando como droga modelo a la Doxorubicina y un derivado de ella: Daunorubicina. Ambas drogas muy fuertemente empleadas en tratamientos anticancerígenos.

Para describir la absorción de un analito a la fase de microgel, al potencial ter-

modinámico de la ec. 4.16 se le adicionan los siguientes términos:

$$\begin{aligned}
\beta \frac{\Omega_{MG}(R)}{V} = & \dots \\
& + \rho_a (\ln(\rho_a v_w) - 1 + \beta \mu_a^0) \\
& + \rho_a \sum_{\tau} n_{\tau} [g_{\tau} (\ln g_{\tau} + \beta \mu_{\tau,p}^0) \\
& \quad + (1 - g_{\tau}) (\ln(1 - g_{\tau}) + \beta \mu_{\tau,d}^0)] \\
& + \left(\rho_a \sum_{\tau} n_{\tau} f_{\tau} q_{\tau} \right) \beta \psi_{MG} \\
& - \rho_a \beta \mu_a - \beta \mu_{H^+} + \rho_a \sum_{\tau} n_{\tau} g_{\tau}
\end{aligned} \tag{4.24}$$

en donde primera línea (lado derecho) representa los grados de libertad de traslación, donde ρ_a es la densidad numérica del analito y μ_a^0 su potencial químico estándar. Las siguientes dos líneas describen el equilibrio ácido-base de las unidades titulables del analito; el subíndice τ recorre dichas unidades moleculares que tienen un grado de protonación g_{τ} y un volumen v_{τ} . El analito tiene n_{τ} de estos segmentos; $\mu_{\tau,p}^0$ y $\mu_{\tau,d}^0$ son el potencial químico estándar de las especies protonadas y desprotonadas, respectivamente, que se relacionan con la constante de disociación ácida:

$$K_{a,\tau}^0 = e^{\beta \mu_{\tau,p}^0 - \beta \mu_{\tau,d}^0 - \beta \mu_{H^+}^0} \tag{4.25}$$

La siguiente línea en la ec. 4.24 describe la contribución del analito a la energía electrostática, donde f_{τ} es el grado de carga de las unidades τ , que es igual a g_{τ} si τ es un grupo básico, o $(1 - g_{\tau})$ si la unidad es ácida; q_{τ} es la carga de las especies ionizadas. Los dos últimos términos dan cuenta del equilibrio químico entre el microgel y la fase de solución, donde μ_a es el potencial químico del analito.

Además, la ec. 4.8 debe incorporar la fracción total de volumen ocupada por el analito: $\rho_a \sum_{\lambda} n_{\lambda} v_{\lambda}$, donde λ recorre todos los tipos de segmentos que forman la molécula, incluyendo unidades titulables $\{\tau\} \in \{\lambda\}$. La presencia del analito en la fase de solución también representa contribuciones adicionales al potencial termodinámico Ω_s de ec. 4.20, que contienen los mismos componentes que ec. 4.24.

De estas últimas dos ecuaciones se reescriben como:

Para la fase gel:

$$\begin{aligned}
\beta \frac{\Omega_{MG}(R)}{V} = & \sum_{\gamma} \rho_{\gamma} (\ln(\rho_{\gamma} v_{\gamma}) - 1 + \beta \mu_{\gamma}^0) \\
& + \rho_a (\ln(\rho_a v_a) - 1 + \beta \mu_a^0) \\
& + \frac{\phi_{MAA}}{v_{MAA}} [f(\ln f + \beta \mu_{MAA}^0) \\
& \quad + (1-f)(\ln(1-f) + \beta \mu_{MAAH}^0)] \\
& + \rho_a \sum_{\tau} n_{\tau} [g_{\tau}(\ln g_{\tau} + \beta \mu_{\tau,p}^0) \\
& \quad + (1-g_{\tau})(\ln(1-g_{\tau}) + \beta \mu_{\tau,d}^0)] \\
& + \frac{3}{2} \frac{N_{seg}}{n_{ch} V} \left[\left(\frac{R}{R_0} \right)^2 - \ln \frac{R}{R_0} - 1 \right] \\
& + \left(\sum_{\gamma} \rho_{\gamma} q_{\gamma} + f \frac{\phi_{MAA}}{v_{MAA}} q_{MAA} + \rho_a \sum_{\tau} n_{\tau} f_{\tau} q_{\tau} \right) \beta \psi_{MG} \\
& + \beta \pi_{MG} \left[\sum_{\gamma} \rho_{\gamma} v_{\gamma} + \phi_{MAA} + \phi_{NIPAm} + \rho_a \sum_{\lambda} n_{\lambda} v_{\lambda} - 1 \right] \\
& + \chi(T, \phi_{NIPAm}) \rho_w \phi_{NIPAm} \\
& - \sum_{\gamma} \rho_{\gamma} \beta \mu_{\gamma} - \rho_a \beta \mu_a - \beta \mu_{H^+} (1-f) \frac{\phi_{MAA}}{v_{MAA}} - \beta \mu_{H^+} \rho_a \sum_{\tau} n_{\tau} g_{\tau}
\end{aligned} \tag{4.26}$$

En las cuales las nuevas restricciones para la fase gel son:

$$1 = \sum_{\gamma} \rho_{\gamma} v_{\gamma} + \phi_{MAA} + \phi_{NIPAm} + \rho_a \sum_{\lambda} n_{\lambda} v_{\lambda} \tag{4.27}$$

y

$$\sum_{\gamma} \rho_{\gamma} q_{\gamma} + f \frac{\phi_{MAA}}{v_{MAA}} q_{MAA} + \rho_a \sum_{\tau} n_{\tau} f_{\tau} q_{\tau} = 0 \tag{4.28}$$

Para la fase solución:

$$\begin{aligned} \beta \frac{\Omega_s}{V} = & \sum_{\gamma} \rho_{\gamma}^s (\ln(\rho_{\gamma}^s v_w) - 1 + \beta \mu_{\gamma}^0 - \beta \mu_{\gamma}) \\ & + \rho_a^s (\ln \rho_a^s v_w - 1 + \beta \mu_a^0 - \beta \mu_a) \end{aligned} \quad (4.29)$$

y sus respectivas restricciones:

$$1 = \sum_{\gamma} \rho_{\gamma} v_{\gamma} + \rho_a \sum_{\lambda} n_{\lambda} v_{\lambda} \quad (4.30)$$

y

$$\sum_{\gamma} \rho_{\gamma} q_{\gamma} + \rho_a \sum_{\tau} n_{\tau} f_{\tau} q_{\tau} = 0 \quad (4.31)$$

De la optimización de nuestro nuevo gran potencial Ω_{MG} se obtiene:

$$\frac{f_{\tau}}{1 - f_{\tau}} = \left(\frac{a_{H^+}}{K_{\tau}^0} \right)^{\mp 1} e^{-\beta \psi_{MG} q_{\tau}} \quad (4.32)$$

para el grado de carga de las unidades τ , donde el signo \mp diferencia el caso de un grupo ácido $(-)$ de uno básico $(+)$. Para la densidad del analito obtenemos:

$$\begin{aligned} \rho_a v_w = & \frac{\tilde{a}_a}{\prod_{\tau} (1 - f_{\tau})^{n_{\tau}}} \\ & \cdot \exp \left(-\beta \pi_{MG} \sum_{\lambda} n_{\lambda} v_{\lambda} \right) \end{aligned} \quad (4.33)$$

donde esta última ecuación requiere una redefinición de la actividad de la proteína \tilde{a}_a . Expresiones similares a la ec. 4.33 y ec. 4.32 se derivan para la fase de solución; y con ellas la obtención de las actividades de los analitos y especies libres.

Consideraremos la absorción de los fármacos quimioterapéuticos Daunorrubic-



Figura 4.2: Estructura química (arriba) y modelo de grano grueso (abajo) aplicado para describir daunorrubicina y doxorubicina. Los segmentos de grano grueso *D1* – *D4* se describen en la tabla 4.3.

CG unit	pK_a	q (e)	v (nm^3)
<i>D1</i>	-	0	0.085
<i>D2</i>	7.34	-1*	0.085
<i>D3</i>	9.46	+1*	0.085
<i>D4</i> (Doxo)	8.46	-1*	0.035
<i>D4</i> (Dauno)	-	0	0.035

Tabla 4.3: Propiedades moleculares para las distintas unidades de grano grueso usadas para el modelado de las drogas Daunorubicina y Doxorubicina. (ver figura 4.2). (* Para unidades ionizables.)

ina (Dauno) y Doxorubicina (Doxo) en nuestros microgeles P(NIPAm-MAA) en diferentes condiciones. El modelo molecular aplicado para describir estos analitos se ilustra en la figura 4.2 y la parametrización se presenta en la tabla 4.3 [60].

4.2 Resultados y discusión

4.2.1 Respuesta al pH y la concentración de sal

En esta sección, describiremos el comportamiento de los microgeles en respuesta a cambios en la composición de la solución. Nos enfocaremos en temperaturas por

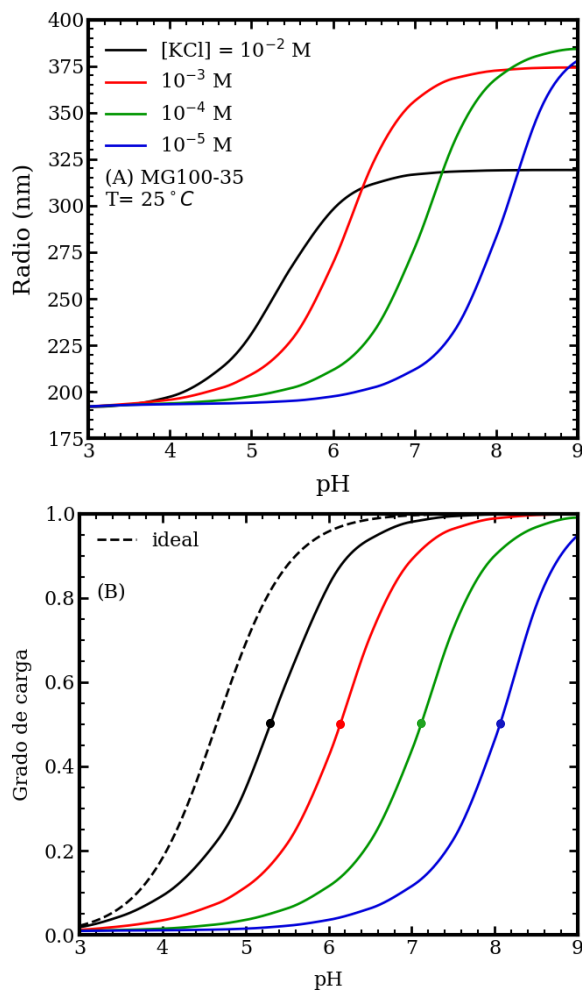


Figura 4.3: Gráfico de tamaño de microgel (A) y grado de carga (B) en función del pH para soluciones que tienen diferentes concentraciones de sal y $T = 25^\circ\text{C}$. Las cadenas de polímero en el microgel MG100-35 son $n_{ch} = 100$ -long. y tienen 35% MAA. La curva de punteada en el panel B es la disociación ideal del ácido metacrílico ($pK_a = 4.65$). Los círculos de color en las curvas del panel A marcan el pKa aparente del microgel.

debajo de la temperatura crítica del PNIPAm, donde el gel experimenta un colapso. El efecto de la temperatura se evaluará en la sección 4.2.2.

La Figura 4.3A muestra el tamaño del microgel (radio, R) en función del pH para diferentes concentraciones de sal. Los microgeles de P(NIPAm-MAA) se hinchan al aumentar el pH. A medida que el pH se incrementa, un número creciente de unidades

de *MAA* se desprotona y, por lo tanto, se cargan eléctricamente. La Figura 4.3B muestra cómo la fracción de *MAA* cargados (f : grado de carga; ver ec. 4.18) depende del pH de la solución. El hinchamiento observado en el panel A, que surge al aumentar el pH, es una respuesta a las crecientes repulsiones dentro del microgel, resultado del aumento de la carga eléctrica en la red polimérica, como se observa en el panel B.

El inicio de la transición de este hinchamiento se desplaza a valores de pH más altos cuando se reduce la concentración de sal (ver Figura 4.3A). Las curvas de disociación de protones del panel B presentan el mismo desplazamiento a pH más altos, en comparación con el comportamiento ideal de un monómero de *MAA* aislado en solución diluida. Hemos discutido este comportamiento en el capítulo 3, en la sección 3.4.1.

El pKa aparente es el pH en el cual la mitad de los segmentos de *MAA* se desprotonan, y este valor cuantifica el comportamiento de carga del microgel (ver Figura 4.3B), así como la transición de expansión (como se observa en el panel A, marcado con círculos en $pH = pKa$). Los pKa aparentes de la Figura 4.3B se muestran en la Tabla 4.4.

[NaCl] (M)	pKa apa. (25°C)
10^{-5}	8.10
10^{-4}	7.15
10^{-3}	6.15
10^{-2}	5.35
ideal (pKa)	4.65

Tabla 4.4: pKa's aparente de la fig. 4.3 para un gel MG100-35 a 25°C.

Una concentración relativamente alta de iones de sal dentro del microgel da como resultado el apantallamiento de las repulsiones electrostáticas entre los segmentos *MAA* cargados; estas interacciones repulsivas se vuelven de corto alcance. Cuando el pH de la solución aumenta, la disociación de los segmentos de *MAA* sucede sin un alto costo energético originado por las repulsiones electrostáticas. En estas condiciones, la desprotonación de *MAA*, inducida por la energía química libre (equilibrio ácido-base), se aproxima al comportamiento ideal o de una solución diluida (comparándose los casos de alta concentración salina con la curva de línea punteada en la Figura 4.3B).

Por el contrario, a bajas concentraciones de sal, el efecto de apantallamiento se debilita y las repulsiones electrostáticas dentro de la red son de mayor alcance. Incluso si hay pocas cargas y distantes en la red, interactuarán entre sí. Para reducir la contribución energética de tales repulsiones electrostáticas hay una disminución significativa a que las unidades *MAA* se carguen en condiciones de baja salinidad; en consecuencia, el *pKa* aparente aumenta. El precio a pagar es aumentar la energía química libre, cuya contribución se minimiza cuando el grado de protonación es ideal.

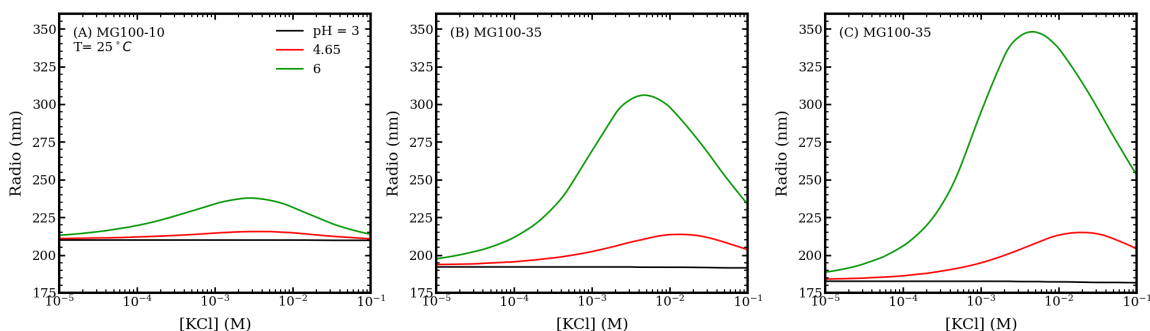


Figura 4.4: Gráfico del tamaño del microgel en función de las concentraciones de sal para diferentes soluciones de pH y $T = 25^\circ\text{C}$. Los paneles corresponden a microgeles MG-100 (longitud de cadena, $n_{ch} = 100$) que tienen fracciones MAA: 10% (A), 35% (B) y 50% (C).

La Figura 4.4 ilustra cómo el tamaño de los microgeles de P(NIPAm-MAA) depende de la concentración de sal para diferentes valores de pH. A una salinidad relativamente alta, estos microgeles se hinchan con el aumento de la concentración de sal, lo que es consistente con los resultados de dispersión de luz dinámica (DLS) reportados por Wong et al. [79] para microgeles P(NIPAm-MAA) y concentraciones de KCl en el rango de $0.1 - 0.5\text{ M}$.

Las curvas de la Figura 4.4 muestran un comportamiento reentrante, en el que el tamaño primero aumenta y luego disminuye al aumentar la concentración de sal. Esta respuesta no monotónica es más acentuada cuando la carga del polímero aumenta debido a un mayor contenido de unidades de *MAA* (observado en los diferentes paneles de la Figura 4.4).

Se han informado transiciones de hinchamiento-deshinchamiento con concentraciones de sal variables en una variedad de sistemas poliméricos reguladores de carga. El grosor de las capas de poliacidos débiles anclados es una función no monotónica

de la concentración de sal de la solución según lo predicho por la teoría del campo medio autoconsistente [25, 31, 50, 82], lo cual ha sido confirmado por resultados experimentales [81]. De manera similar, los resultados teóricos predicen que el tamaño de los polielectrolitos débiles ramificados en forma de estrella muestra un máximo en función de la concentración de sal en la solución [7, 38]. También se ha predicho que el espesor de las películas de poliácidos débiles entrecruzados mostrará este comportamiento de hinchamiento reentrante [47].

En este mismo sentido, se ha predicho una transición de deshinchamiento a hinchamiento impulsada por la concentración de sal para los nanogeles de polielectrolitos fuertes [33]. Este comportamiento, en el caso de los polielectrolitos “quencheados”, se atribuye a los efectos de volumen excluidos de los iones absorbidos a altas concentraciones salinas.

Más relevante para nuestro estudio, son los resultados teóricos de una transición reentrante de hinchamiento a colapso para microgeles sensibles al pH y al calor [63]. Polotsky et al. [63] explica que el aumento de la concentración de sal promueve inicialmente la disociación de carga de los grupos ácidos débiles hasta alcanzar la saturación, momento en el cual el grado de disociación alcanza el valor ideal. Más allá de este punto, el aumento de la concentración de sal en la solución solo mejora el apantallamiento de las repulsiones electrostáticas y, por lo tanto, el microgel se deshinchacha.

Experimentalmente, Capriles-González et al. [11] informaron sobre el hinchamiento no monotónico de los microgeles de poli(NIPAm-*co*-AA) (P(NIPAm-AA)) en función de la concentración de NaCl utilizando técnicas de DLS.

El aumento de la concentración de sal de la solución tiene dos efectos opuestos sobre las propiedades del microgel. Por un lado, aumenta el apantallamiento de interacciones de carga a medida que se cargan los iones dentro del gel; las repulsiones electrostáticas entre los monómeros de *MAA* cargados están cada vez más protegidas. El alcance efectivo de estas repulsiones se acorta, favoreciendo el deshinchamiento. Por otro lado, este apantallamiento permite una mayor desprotonación de los monómeros de *MAA*, promovida por el equilibrio ácido-base. La disociación de carga favorece el hinchamiento para reducir las repulsiones electrostáticas.

La figura 4.5 ilustra este doble efecto de aumentar la concentración de sal en

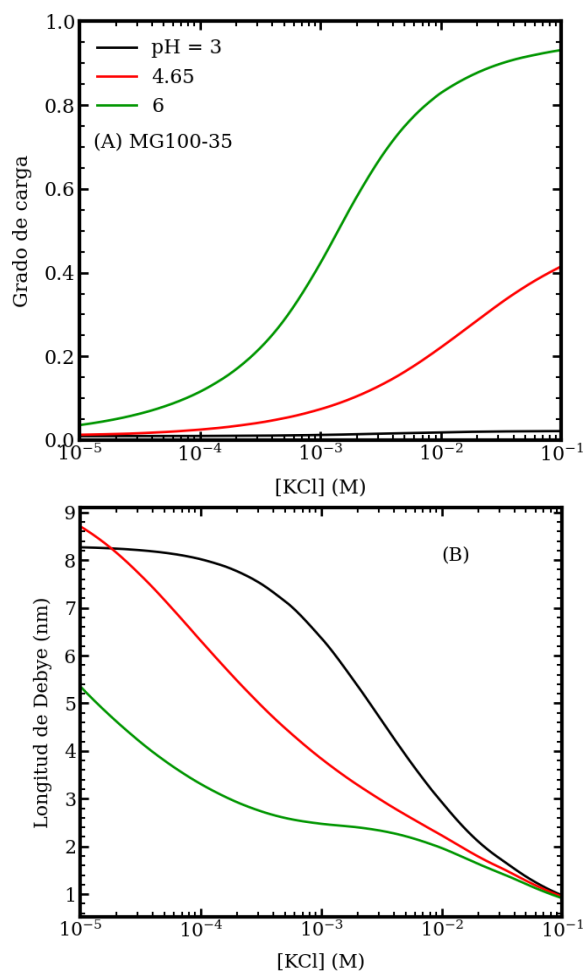


Figura 4.5: Curvas del grado de carga MAA (A) y la longitud de Debye (B) dentro de los microgeles MG100-35 en función de la concentración de sal para diferentes valores de pH. Estos resultados corresponden a las condiciones de figura 4.4B.

la solución, lo que conduce al comportamiento de hinchamiento-deshinchamiento. El panel A muestra que la carga del microgel aumenta monótonamente con la concentración de sal. En el panel B, usamos la longitud de Debye para cuantificar la extensión de las interacciones electrostáticas. El alcance efectivo de estas interacciones se acorta dentro del microgel a medida que aumenta la concentración de sal. Se puede observar en la figura 4.5 que en condiciones de pH 3 la carga dentro del microgel es insignificante, lo que resulta en un hinchamiento muy poco apreciable en la figura 4.4B.

Esta teoría requiere que el interior del microgel sea de carga neutra. La congujación de cargas y contraiones debe estar equilibrada. Claudio et al. [14] demostró que esta es una aproximación razonable cuando el microgel es más grande que $R = 125, \text{nm}$ y tiene un 50% de monómeros cargados. Los microgeles P(NIPAm-MAA) aquí planteados son más grandes que ese tamaño en la mayoría de las condiciones, particularmente cuando el pH está por encima del pKa aparente y la mayoría de los grupos MAA están desprotonados. Además, los iones de sal se absorben dentro del microgel para reforzar dicha restricción, lo que permite que los segmentos de MAA se desprotonen y se carguen eléctricamente. Describimos este efecto como el apantallamiento de las repulsiones electrostáticas entre los grupos de MAA, que es un concepto que hemos discutido con anterioridad.

4.2.2 Respuesta a la Temperatura

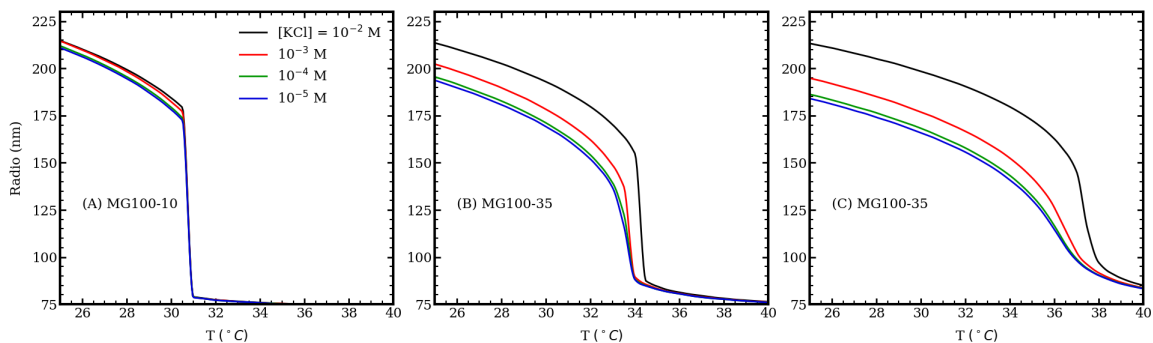


Figura 4.6: Gráfico del tamaño del microgel en función de la temperatura para diferentes concentraciones de sal en solución y pH 4,65. Los paneles corresponden a microgeles MG-100 (longitud de cadena, $n_{ch} = 100$) que tienen diferentes fracciones de MAA: 10% (A), 35% (B) y 50% (C).

Discutido el efecto del pH y la concentración de sal, ahora nos enfocaremos en mostrar la respuesta de los microgeles de P(NIPAm-MAA) frente a cambios en la temperatura. En cada panel de la figura 4.6 se muestra el tamaño de tres geles MG-100 como función de la temperatura a distintas concentraciones salinas. A baja temperatura, estos microgeles muestran un estado relativamente hinchado, mientras que a altas temperaturas se produce un estado colapsado (alta densidad de polímero).

Esto último ocurre dado que el NIPAm adquiere un comportamiento hidrofóbico por encima de su temperatura de transición crítica inferior (LCST por sus siglas en inglés), expulsando el solvente de su interior y colapsando su estructura [67]. El tamaño del gel en este estado es robustamente independiente de la concentración salina o el pH y posee un radio muy cercano al del microgel seco (ver tabla 4.2).

Por otro lado, el estado hinchado del gel está dominado por las repulsiones electrostáticas entre los segmentos de *MAA* cargados y los contraiones absorbidos, como fue descrito en la sección 4.2.1. El tamaño y la carga del microgel son funciones monótonamente decrecientes de la temperatura. El estado hinchado se caracteriza por un mayor grado de carga. De hecho, la transición de volumen, de estados hinchado a colapsado, está acompañada por una transición en el grado de carga de los segmentos de *MAA*.

OJO QUE FALTARIA REFERIR A UNA FIGURA

En la mayoría de las condiciones, pero no en todas, la transición entre estos dos estados del microgel es brusca y ocurre en un rango estrecho alrededor de una temperatura bien definida, que definimos como Temperatura de Transición de Volumen (T_{TV}). Comparando los diferentes paneles de la figura 4.6, vemos que aumentar el contenido de *MAA* de los microgeles conduce a una transición más suave alrededor de T_{TV} .

La figura 4.7A muestra que la T_{TV} aumenta con el pH y la concentración de sal. Estos resultados son consistentes con los experimentos de DLS que muestran que la temperatura de transición volumétrica de los microgeles P(NIPAm-*MAA*) aumenta con el pH [39], lo que también se ha observado para los microgeles P(NIPAm-AA) [11]. Se ha definido T_{TV} como el punto de inflexión de las curvas $R(T)$ de la figura 4.6 entre los estados hinchado y colapsado [41].

El panel B de la figura 4.7 muestra el grado de carga de los segmentos de *MAA* en el T_{TV} . Existe una clara correlación entre la dependencia de T_{TV} con el pH y la salinidad, y el estado de carga del microgel en las condiciones VPT. La temperatura de transición aumenta con el pH y la concentración de sal, al igual que la carga de la red de polímeros.

A diferencia de este comportamiento, el VPTT de los microgeles basados en PNIPAm permanentemente cargados disminuye con la concentración de sal [48]. En

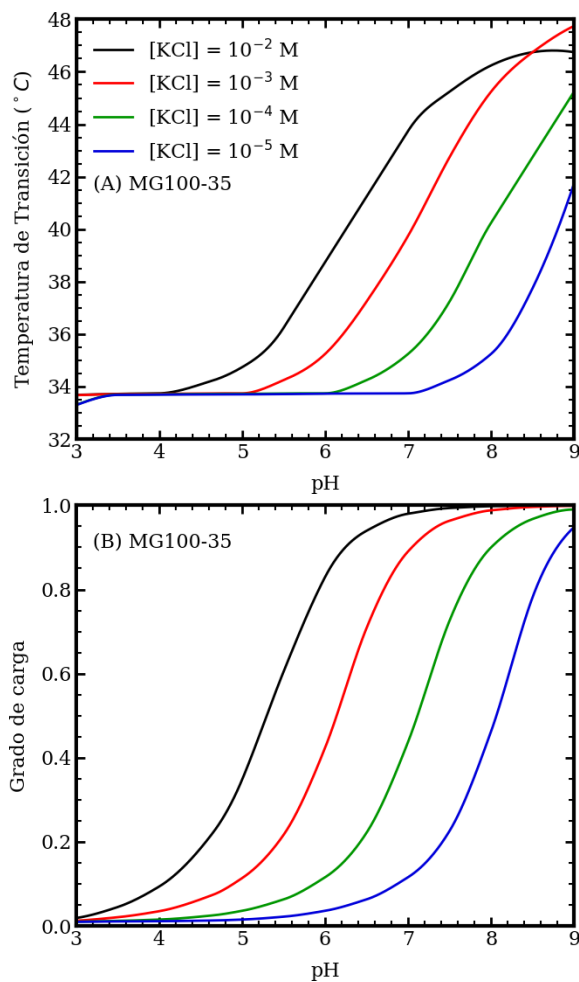


Figura 4.7: Gráficos que muestran la temperatura de transición de volumen T_{TV} (A) y la fracción de MAA cargado a esta temperatura (B) en función del pH para diferentes concentraciones de sal. Este microgel P(NIPAm-MAA) tiene una longitud de cadena de $n_{ch} = 100$ y un MAA de 35%.

este caso, la carga del polímero permanece constante, mientras que la incorporación de iones de sal solo debilita las repulsiones electrostáticas entre las cargas.

Los resultados de la figura 4.7 muestran que la temperatura de transición está controlada por la cantidad de carga dentro del microgel. De hecho, aumentar el contenido de MAA tiene el mismo efecto de desplazar el VPTT a valores más altos, como se observa en la figura 4.8A. Una vez más, este comportamiento resulta de una estructura polimérica más cargada.

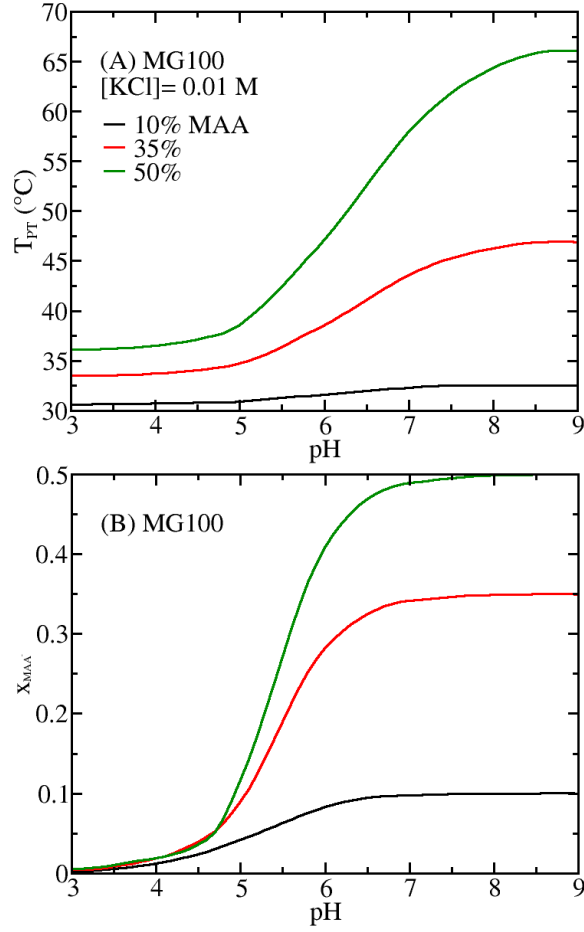


Figura 4.8: (A) Gráfico de temperatura de transición T_{TV} en función del pH para microgeles MG-100 (longitud de cadena de polímero, $n_{ch} = 100$ segmentos) que tienen diferentes contenidos de MAA; $[KCl] = 0.01M$; (B) Fracción de segmentos cargados $x_{MAA-} = \frac{N_{MAA-}}{N_{seg}}$ en función del pH para las mismas condiciones del panel A (*i.e.* , en el T_{TV}); x_{MAA-} es proporcional a la carga total del polímero; N_{seg} es el mismo para todos los microgeles.

Para comparar el estado de carga de microgeles con diferentes contenidos de MAA, utilizamos la fracción total de monómeros cargados:

$$x_{MAA-} = \frac{N_{MAA-}}{N_{seg}} = f x_{MAA} \quad (4.34)$$

Donde N_{MAA-} es el número de segmentos MAA desprotonados, todas las demás cantidades se han definido en la sección 4.1.1. x_{MAA-} es proporcional a la carga total

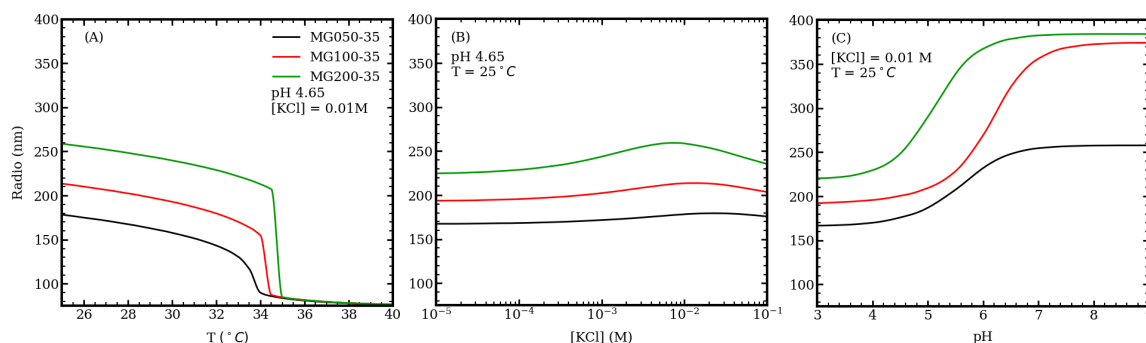


Figura 4.9: Gráfico del tamaño del microgel en función de la temperatura, la concentración de sal y el pH (paneles A, B y C respectivamente). Diferentes curvas corresponden a microgeles con segmentos de 50 (MG050), 100 (MG100) y 200 (MG200) por cadena de polímero, todos con 35% MAA.

de la red de microgel, y debido a que todos los microgeles tienen el mismo número total de segmentos, la constante proporcional es la misma para todos los contenidos de MAA considerados. La figura 4.8B muestra que existe una clara correlación entre T_{TV} y la carga total del microgel (dada por x_{MAA^-}) al cambiar el pH o el contenido de MAA del polímero.

4.2.3 Efecto del grado de entrecruzamiento

En esta instancia vamos a analizar cómo el grado de entrecruzamiento de la red polimérica afecta el comportamiento previamente descrito de nuestro gel. Consideramos microgeles con segmentos de 50, 100 y 200 por cadena, manteniendo el mismo número total de segmentos. A medida que la cantidad de segmentos por cadena disminuye, aumenta el grado de entrecruzamiento en el microgel. La figura 4.9 muestra la respuesta de los microgeles con un porcentaje de MAA del 35% ante cambios de temperatura (panel A), concentración de sal (panel B) y pH (panel C).

Los microgeles con menor grado de entrecruzamiento (mayor número de segmentos por cadena) presentan un mayor grado de hinchamiento. Este comportamiento de los microgeles P(NIPAm-MAA) ha sido confirmado experimentalmente [36]. Cualitativamente, la respuesta a la concentración de sal y al pH es similar para todas las longitudes de cadena consideradas (paneles B y C de la figura 4.9, respectivamente). Una observación interesante es que la disminución del grado de entrecruzamiento

conduce a una transición de volumen más brusca a medida que aumenta la temperatura (figura 4.9A), y además, la temperatura de transición de volumen (T_{TV}) aumenta. Estos resultados son consistentes con los trabajos de Li and Tanaka [45] y Wu and Zhou [80], quienes informaron un cambio en la transición de volumen de NIPAm de continua a discontinua a medida que disminuye la concentración del entrecruzante en la síntesis.

En la figura 4.9, también se observa que el aumento de la longitud de la cadena (disminución del grado de entrecruzamiento) desplaza la temperatura de transición de volumen (T_{TV}) hacia valores más altos. Esto concuerda con los resultados de la espectroscopía UV realizada por Lee et al. [43] para los microgeles P(NIPAm-AA). Este comportamiento se observa en todo el rango de condiciones exploradas en este capítulo.

La constante de fuerza de la contribución elástica a la energía libre es inversamente proporcional a la longitud de la cadena n_{ch} (ver ecuación 4.16). Al reducir el grado de entrecruzamiento, el microgel se hincha y se vuelve más flexible, lo que permite una mayor carga en la red de polímero. En consecuencia, se requiere una temperatura más alta para inducir el colapso de la red de polímero. Hemos demostrado que la temperatura de transición de volumen (T_{TV}) está fuertemente correlacionada con el grado de carga.

La presencia de unidades ácidas acentúa la dependencia de la T_{TV} con la longitud de la cadena, ya que incorpora el equilibrio de protonación al balance energético. Sin embargo, este comportamiento es intrínseco a la interacción entre las propiedades hidrofóbicas y la elasticidad de la red polimérica. De hecho, la temperatura de transición de los microgeles de PNIPAm puros también aumenta con la longitud de la cadena, aunque el efecto es significativamente más débil en ausencia de segmentos de MAA.

4.2.4 Adsorción de drogas

Los microgeles poliméricos se han destacado como transportadores inteligentes de medicamentos debido a sus propiedades únicas. Estos sistemas nanoestructurados (en este caso microestructurados) ofrecen una plataforma versátil para la encapsulación, protección y liberación controlada de sustancias bioactivas. Los microgeles

pueden responder a estímulos externos, como hemos mostrados en las secciones anteriores, como cambios de pH, temperatura y concentración de iones, lo que les permite liberar su carga terapéutica de manera selectiva y específica en el sitio deseado.

Por ejemplo, se sabe que el pH extracelular del tejido tumoral es más bajo que el del tejido sano [22], lo que hace que los microgeles respondan al pH sean idóneos para la administración local de medicamentos contra el cáncer [17].

Peppas *et al.* han estudiado ampliamente los microgeles sensibles al pH basados en MAA como transportadores inteligentes que pueden operar utilizando los diferentes niveles de acidez a lo largo del tracto digestivo y prevenir la degradación de fármacos en el estómago [12, 20, 73, 78].

En esta sección, evaluamos la capacidad de los microgeles P(NIPAm-MAA) para incorporar dos fármacos quimioterapéuticos. En particular, investigamos las mejores condiciones para la encapsulación de fármacos en condiciones de laboratorio. Consideramos que la doxorrubicina (Doxo) y la daunorrubicina (Dauno) son dos de las antraciclinas importantes y ampliamente utilizadas en la quimioterapia para tratar una amplia gama de cánceres [5, 13, 15, 57]. Estas drogas se pueden seguir utilizando fluorescencia y adsorbancia, lo que las hace atractivas desde el punto de vista de la investigación [60, 72, 77]. Además, estos fármacos pueden adquirir carga positiva en la mayoría de las condiciones, lo que puede facilitar su encapsulación en microgeles de polímeros aniónicos [44]. Serpe *et al.* [72] han estudiado la captación y liberación termicamente activadas de Doxo a partir de películas capa por capa de microgeles de P(NIPAm-AA) y poli(clorhidrato de alilamina). Más recientemente, utilizando resonancia magnética nuclear de lapso de tiempo, Martínez-Moro *et al.* [52] han descrito la interacción entre Doxo y microgeles P(NIPAm-MAA) en diferentes condiciones.

La figura 4.10 ilustra el número de moléculas de Dauno (panel A) y Doxo (panel B) dentro del microgel en relación con la concentración de sal y el pH de la solución. Se observa que las condiciones óptimas para la encapsulación de estos fármacos terapéuticos corresponden a una baja concentración de sal y un pH de 6 a 8. La reducción en la concentración de sal favorece la absorción. Tanto Dauno como Doxo presentan una carga neta de +1 a pH ácido y neutro (ver la figura 4.11).

Como resultado, la absorción de Dauno y Doxo tiene que competir con la absorción de iones de potasio para neutralizar la carga negativa de la red del polímero

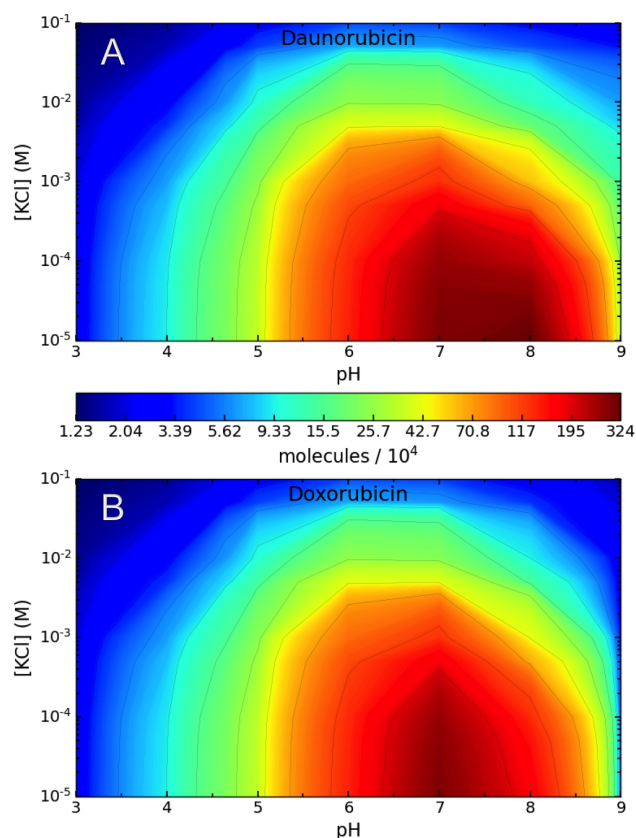


Figura 4.10: Mapas en color que muestran el número de moléculas de daunorrubicina (A) y doxorubicina (B) absorbidas por microgel en función del pH de la solución y la concentración de sal. La concentración de fármaco en solución es 1 mM y $T = 25^\circ\text{C}$. el microgel P(NIPAm-MAA) tiene $n_{ch} = 100$ de longitud de cadena y 35% MAA (MG100-35).

(Pérez Chávez et al. [60]). En la figura 4.5, se observa que en ausencia de un fármaco disuelto, la carga del microgel disminuye a medida que se reduce la concentración de sal, lo que aparentemente entra en conflicto con la mejora de la absorción observada en la figura 4.10 bajo estas condiciones. Sin embargo, después de la absorción del fármaco, el grado de carga de los segmentos de MAA aumenta significativamente, especialmente en condiciones de baja concentración de sal. Además, es importante destacar que este comportamiento está particularmente asociado con la relativamente alta concentración de fármaco considerada en estos resultados (1 mM).

La fracción de segmentos de MAA cargados negativamente en el polímero au-

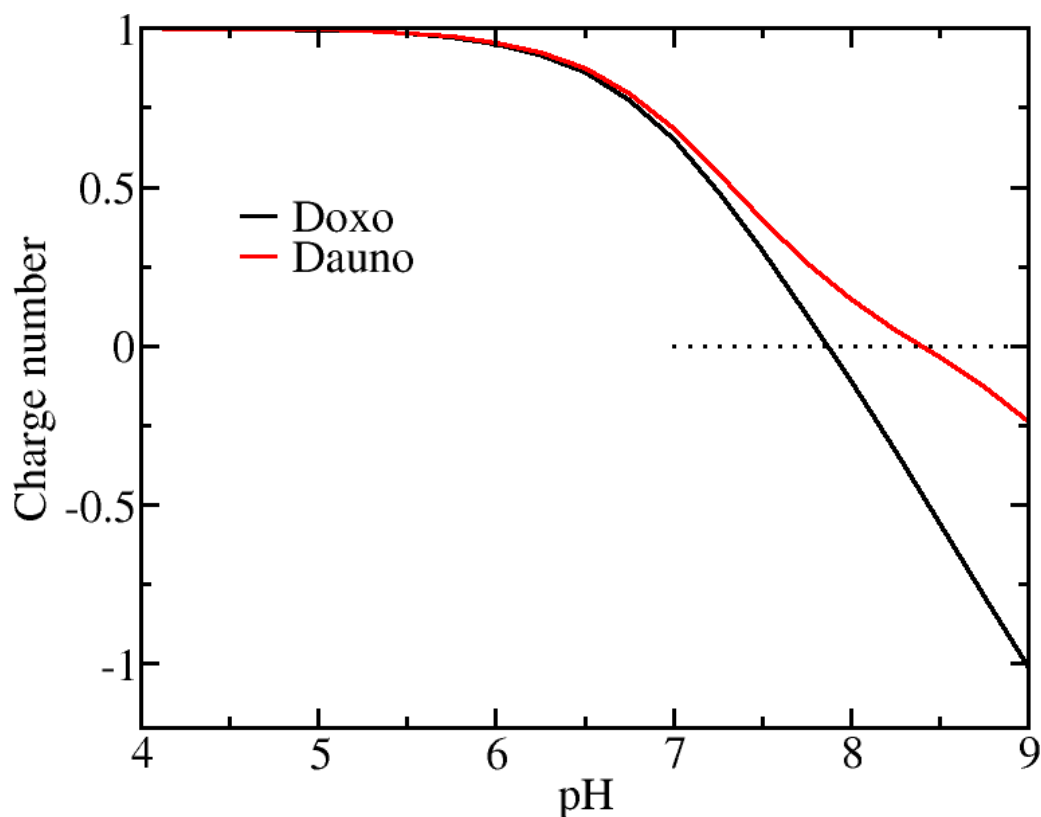


Figura 4.11: Número de carga de las drogas estudiadas: Doxo y Dauno. La intersección con la línea a puntos muestra el punto isoelectrico de las mismas. Pasado este punto se da una inversión en la carga de las drogas lo que conlleva a una repulsión electrostática con los segmentos cargados de *MAA* del microgel.

menta con el pH, lo que explica por qué también aumenta la absorción de Dauno/Doxo en condiciones ácidas. Sin embargo, en condiciones alcalinas, la carga neta positiva de estos fármacos disminuye con el aumento del pH, lo que desfavorece su absorción. Por lo tanto, la absorción de Dauno/Doxo es una función no monótona del pH.

En nuestro modelo, los puntos isoelectricos de Dauno y Doxo son 8.4 y 7.9, respectivamente. La figura 4.10 muestra que la absorción de ambas moléculas puede ser significativa alrededor y por encima de estos valores de pH. En otras palabras, hay una absorción considerable de moléculas con carga negativa dentro de la red de nuestro gel con carga similar. Aunque estas moléculas están cargadas negativamente en la fase de solución, la absorción ocurre porque el pH disminuye dentro del microgel, lo que permite que los fármacos regulen su carga eléctrica y permanezcan cargados

positivamente dentro del microgel. **GRAFICO DEL CAMBIO DE pH**

El punto isoeléctrico más bajo de la doxorrubicina se debe a la desprotonación de su grupo hidroxilo sustituyente (véase el segmento *D4* en la figura 4.2 y tabla 4.3). Como resultado de esta carga negativa adicional en condiciones alcalinas, el rango de pH de adsorción es ligeramente más amplio para la daunorrubicina.

Chapter 5

esfericas

5.1 Introduction

En estas sección... geles poliméricos... Se aborda una perspectiva diferente con información a la que no era posible acceder con el modelo anterior. El conocimiento de la estructura interna, o una aproximación de ella nos abre las puertas al diseño de más y mejores materiales...

5.2 Method: Molecular Theory

El estudio de estos nanogeles conlleva un formalismo similar al visto en el capítulo de los films poliméricos y al modelo de dos fases.

Es decir buscamos con este método minimizar una energía libre del sistema. Incorporando una caracterización molecular de grano grueso de las diversas especies químicas presentes.

El sistema en estudio es un solo nanogel en equilibrio con una solución acuosa que tiene una composición de bulk definida externamente. Es decir, el pH, la concentración de sal y la concentración de proteína son las variables independientes. La red polimérica que da estructura al nanogel contiene dos tipos de segmentos: una unidad sensible al pH, ya sea ácida (MAA) o básica (AH), y un segmento neutro (VA); los segmentos que componen al entrecruzante en nuestra red se describen como segmentos de carga neutral.

Como vimos en... la energía libre se convierte en un gran potencial el cual nos permite un mejor manejo y resoluci]on del sistema. Este potencial contiene las siguientes contribuciones:

$$\begin{aligned}\Omega_{NG} = & -TS_{mez} - TS_{conf,net} + F_{qca,net} + F_{qca,pro} \\ & + U_{elec} + U_{ste} + U_{vdw} - \sum_{\gamma} \mu_{\gamma} N_{\gamma} - \mu_{pro} N_{pro}\end{aligned}\quad (5.1)$$

donde S_{mez} es la entropía de traslación (y de mezcla) de las especies de la solución: moléculas de agua (H_2O), iones de hidronio (H_3O^+), iones de hidróxido (OH^-), cationes de sal, aniones de sal y proteína. Consideramos una sal monovalente, NaCl completamente disociada en iones de sodio (Na^+) y cloruro (Cl^-). $S_{conf,net}$ representa la entropía conformacional que resulta de la flexibilidad de la red de polímeros, que puede asumir muchas conformaciones diferentes. $F_{qca,net}$ es la energía química libre que describe el equilibrio entre las especies protonadas y desprotonadas de unidades funcionales (ácidas/básicas) en el polímero. De manera similar, $F_{qca,pro}$ describe la protonación de residuos titulables de la proteína. U_{elec} y U_{ste} representan, respectivamente, las interacciones electrostáticas y las repulsiones estéricas. U_{Vdw} contiene las interacciones de Van der Waals entre los distintos segmentos y el solvente. Finalmente, la suma de γ expresa el equilibrio químico entre nuestro sistema y la solución bulk que representa un “baño térmico” para las partículas libres, donde μ_{γ} y N_{γ} son el potencial químico y el número de moléculas de especie γ , respectivamente; el subíndice γ recorre las especies químicas libres. El siguiente término tiene en cuenta el equilibrio descrito anteriormente, pero en esta ocasión para la proteína.

Las expresiones explícitas de cada uno de estos componentes, así como la minimización de nuestro gran potencial es descrita en la siguiente sección.

5.2.1 Teoria red polimérica

A continuación describiremos la forma explícita de cada uno de estos términos, donde los segmentos protonables del nanogel serán considerados como segmentos de ácido metacrílico (MAA). Sin embargo, las mismas ecuaciones se aplican a los nanogeles que tienen segmentos básicos. Las diferencias se encuentran en el uso del signo del

grado de disociación.

En primera instancia tenemos la entropía de traslación y de mezcla de las especies móviles, incluida la proteína:

$$\begin{aligned}
 -\frac{S_{mez}}{k_B} = & \sum_{\gamma} \int_0^{\infty} dr G(r) \rho_{\gamma}(r) (\ln(\rho_{\gamma}(r) v_w) - 1 + \beta \mu_{\gamma}^0) \\
 & + \sum_{\theta} \int_0^{\infty} dr G(r) \rho_{pro}(\theta, r) (\ln(\rho_{pro}(\theta, r)) - 1 + \beta \mu_{pro}^0)
 \end{aligned} \tag{5.2}$$

donde $\beta = \frac{1}{k_B T}$, k_B es la constante de Boltzmann y T la temperatura absoluta del sistema, $\rho_{\gamma}(r)$ y μ_{γ} es la densidad local, en la posición r , y potencial químico de la especie γ respectivamente. El subíndice γ toma en cuenta las moléculas de agua y sus iones (hidronio e hidróxido), y los iones disociados de la sal (K^+ , Cl^-). $G(r)$ es la constante de simetría de nuestro sistema, en particular para cada r : $G(r) = 4\pi r^2$. Esta última se ejemplificara de mejor forma en la sección del modelado molecular.

El segundo término de la entropía de mezcla que considera los aportes entrópicos de la proteína. $\rho_{pro}(\theta, r)$ es la densidad local de la proteína en la conformación θ . La proteína puede tomar cualquier conformación presenten en su set de conformaciones $\{\theta\}$ La contribución entrópica también incluye la rotación espacial. La densidad media local total de proteína es:

$$\langle \rho_{pro}(r) \rangle = \sum_{\theta} \rho_{pro}(\theta, r) \tag{5.3}$$

$S_{conf,net}$ representa la entropía conformacional resultante de la flexibilidad de la red polimérica que forma al nanogel. Estas conformaciones son denotadas por el set $\{\alpha\}$.

$$\frac{S_{conf,nw}}{k_B} = - \sum_{\alpha} P(\alpha) \ln P(\alpha) \tag{5.4}$$

En donde $P(\alpha)$ muestra la probabilidad que el nanogel se encuentre en una configuración α . Una conformación α viene especificada por la posición de todos sus

segmentos. La fracción en volumen de estos segmentos puede expresarse como:

$$\langle \phi^i(r) \rangle = \sum_{\alpha} P(\alpha) \phi_r^i(\alpha, r) \quad (5.5)$$

en donde $\frac{\phi_r^i(\alpha, r)}{v_i}$ define la densidad de segmentos entre las esferas de radio \mathbf{r} y $\mathbf{r} + d\mathbf{r}$. Este volumen de integración se denota por VS_r

$$\frac{\phi_r^i(\alpha, r)}{v_i} dr = \int_{VS_r} d^3\mathbf{r} \frac{\phi^i(\alpha, \mathbf{r})}{v_i} \quad (5.6)$$

En estas dos ultimas ecuaciones el indice i indica el tipo de semgmento ($i = MAA/VA/crosslink$), y la notación entre brackets, $\langle \rangle$, hace referencia al promedio de ensamble sobre las conformaciones de la red polimérica. $\phi_i(\alpha, \mathbf{r})$ es una variable de entrada que nos proporciona la fracción de volumen local, \mathbf{r} , ocupado por un segmento i cuando la red polimérica se encuentra en la conformación α .

El siguiente término describe la energía química libre originada por el equilibrio ácido-base de los segmentos de MAA presentes en el nanogel.

$$\begin{aligned} \beta F_{qca, net} = \int_0^\infty dr G(r) \frac{\langle \phi^{MAA}(r) \rangle}{v_{MAA}} [f(r)(\ln f(r) + \beta \mu_{MAA-}^0) \\ + (1 - f(r))(\ln(1 - f(r)) + \beta \mu_{MAAH}^0)] \end{aligned} \quad (5.7)$$

donde $f(r)$ es el grado de carga de los segmentos MAA en la capa esférica entre r y $r + dr$. μ_{MAA-}^0 y μ_{MAAH}^0 son los potenciales químicos estándar de las especies desprotonadas y protonadas respectivamente. v_{MAA} es el volumen molecular del segmento de MAA .

El equilibrio químico de las unidades proteicas titulables se considera en el siguiente término del potencial:

$$\beta F_{qca,pro} = \int_0^\infty dr G(r) \sum_\tau \langle \rho_{pro,\tau}(r) \rangle [g_\tau(r)(\ln g_\tau(r) + \beta \mu_{\tau p}^0) + (1 - g_\tau(r))(\ln(1 - g_\tau(r)) + \beta \mu_{\tau d}^0)] \quad (5.8)$$

en donde $\langle \rho_{pro,\tau}(r) \rangle$ representa la densida local promedio del segmento titulable τ de la proteína.

El cual es definido como:

$$\langle \rho_{pro,\tau}(r) \rangle = \sum_\theta \int_0^\infty dr' \frac{G(r')}{G(r)} \rho_{pro}(\theta, r') m_\tau(\theta, r', r) \quad (5.9)$$

donde $m_\tau(\theta, r', r)$ es definida como la densidad de segmentos es definida de forma similiar que en eq. 5.6, expresandose:

$$m_\tau(\theta, r', r) dr = \int_{VS_r} n(\theta, \mathbf{r}', \mathbf{r}) d^3\mathbf{r} \quad (5.10)$$

en esta expresión \mathbf{r} y \mathbf{r}' denotan la posición del vector posición r y la del centro de masa de la proteína r' respectivamente. Las diferentes conformaciones θ son consideradas de tal forma que $n(\theta, \mathbf{r}', \mathbf{r})$, es decir hay una simetria sobre los angulos sólidos de nuestro sistema.

En estas expresiones $n(\theta, \mathbf{r}', \mathbf{r})$ es el parámetro de entrada que nos da el número de segmentos τ de una proteína en su configuración *theta* y cuyo centro de masa se encuentra en \mathbf{r}' entre las capas \mathbf{r} and $\mathbf{r} + d\mathbf{r}$.

Notese ue el subíndice τ hace referencia a las unidades/residuos titulables de la proteína, pero estas expresiones son validas para todos los segmentos de la proteína:

$$\langle \rho_{pro,\lambda}(r) \rangle = \sum_\theta \int_0^\infty dr' \frac{G(r')}{G(r)} \rho_{pro}(\theta, r') m_\lambda(\theta, r', r) \quad (5.11)$$

donde λ describe un segmento arbitrario de la proteína ($\{\tau\} \in \{\lambda\}$).

los subindices p y d de la ecuación 5.8 representan estados protonado y desprotonado respectivamente de un segmento τ . De este modo $\mu_{\tau,p}^0$ y $\mu_{\tau,d}^0$ son los potenciales químicos estándar de estos estados respectivamente.

Hemos definido el grado de asociación de protones a los segmentos τ como:

1. Para unidades ácidas: $g_\tau(r) = 1 - f_\tau(r)$ (τ se carga negativamente)
2. Para unidades básicas: $g_\tau(r) = f_\tau(r)$ (τ se carga positivamente)

en donde $f_\tau(r)$ es el grado de disociación para el segmento τ .

La energía electrostática se define:

$$\beta U_{elec} = \int_0^\infty dr G(r) \left[\left(\sum_\gamma \rho_\gamma(r) q_\gamma + \sum_\tau f_\tau(r) \langle \rho_{pro,\tau}(r) \rangle q_\tau + f(r) \frac{\langle \phi_{MAA}(r) \rangle}{v_{MAA}} q_{MAA} \right) \beta \Psi(r) - \frac{1}{2} \beta \epsilon (\nabla \Psi(r))^2 \right] \quad (5.12)$$

donde $\Psi(r)$ es el potencial electrostático dependiente de la posición, y ϵ la permittividad del medio, q_γ es la carga de la especie móvil γ , q_τ corresponde a la carga del segmento titulable de la proteína. Finalmente q_{MAA} es la de un segmento de MAA .

En este contexto, podemos definir la densidad de carga promedio:

$$\langle \rho_q(r) \rangle = \sum_\gamma \rho_\gamma(r) q_\gamma + \sum_\tau f_\tau(r) \langle \rho_{pro,\tau}(r) \rangle q_\tau + f(r) \frac{\langle \phi_{MAA}(r) \rangle}{v_{MAA}} q_{MAA} \quad (5.13)$$

El siguiente término en el potencial termodinámico se debe a la repulsión estérica, el cual se puede incorporar a través de la siguiente restricción:

$$1 = \left[\sum_\gamma \rho_\gamma(r) v_\gamma + \sum_\lambda \langle \rho_{pro,\lambda}(r) \rangle v_\lambda + \sum_i \langle \phi^i(r) \rangle \right], \quad \forall r \quad (5.14)$$

en donde v_λ es el volumen molecular de cada segmento λ que compone a la proteína.

U_{VdW} es la energía de interacción de Van der Waals (VdW). En este sistema se ha asumido que todos los segmentos tienen un carácter hidrofílico. Es decir, las interacciones VdW entre diferentes pares de segmentos y éstas con moléculas de agua son similares. Como resultado, la energía de interacción neta VdW representa una constante aditiva a la energía total del potencial. Por lo tanto, esta contribución puede ser ignorada. Esto es posible por los segmentos considerados en la estructura del nanogel, como se mostró en el capítulo anterior, en el modelo de dos fases, se consideró la interacción entre los segmentos de NIPAm como un potencial aparte. Por lo que las interacciones de Van der Waals fueron tenidas en cuenta.

Para completar el gran potencial de ec. 5.1, se tiene en cuenta el intercambio de especies móviles:

$$\begin{aligned} \mu_{\gamma}N_{\gamma} + \mu_{pro}N_{pro} = \int_0^{\infty} dr G(r) \left[\sum_{\gamma} \rho_{\gamma}(r) \mu_{\gamma} + \mu_{pro} \langle \rho_{pro}(r) \rangle \right. \\ \left. + \mu_{H^+} \sum_{\tau} g_{\tau} \langle \rho_{pro,\tau}(r) \rangle + \mu_{H^+} (1 - f(r)) \frac{\langle \phi^{MAA}(r) \rangle}{v_{MAA}} \right] \end{aligned} \quad (5.15)$$

Los primeros dos términos del lado izquierdo de la ecuación explican el equilibrio químico de las especies móviles γ y de las proteínas dentro de la solución. Los dos últimos términos consideran los iones de hidrógeno de los segmentos protonables de la proteína y los segmentos MAA de la red polimérica que forma el nanogel. Notese que se van de la mano con el grado de asociación g_{τ} y $1 - f$ para la proteína y la red polimérica respectivamente.

Finalment la forma explicita de nuestro gran potencial es expresado:

$$\begin{aligned}
\beta\Omega_{NG} = & \sum_{\gamma} \int_0^{\infty} dr G(r) \rho_{\gamma}(r) (\ln(\rho_{\gamma}(r)v_w) - 1 + \beta\mu_{\gamma}^0) \\
& + \sum_{\theta} \int_0^{\infty} dr G(r) \rho_{pro}(r) (\ln(\rho_{pro}(\theta, r)v_w) - 1 + \beta\mu_{pro}^0) \\
& + \sum_{\alpha} P(\alpha) \ln P(\alpha) \\
& + \int_0^{\infty} dr G(r) \frac{\langle \phi^{MAA}(r) \rangle}{v_{MAA}} [f(r)(\ln f(r) + \beta\mu_{MAA-}^0) \\
& \quad + (1 - f(r))(\ln(1 - f(r)) + \beta\mu_{MAAH}^0)] \\
& + \int_0^{\infty} dr G(r) \sum_{\tau} \langle \rho_{pro,\tau}(r) \rangle [g_{\tau}(r)(\ln g_{\tau}(r) + \beta\mu_{\tau p}^0) \\
& \quad + (1 - g_{\tau}(r))(\ln(1 - g_{\tau}(r)) + \beta\mu_{\tau d}^0)] \\
& + \int_0^{\infty} dr G(r) \left[\left(\sum_{\gamma} \rho_{\gamma}(r) q_{\gamma} + \sum_{\tau} f_{\tau}(r) \langle \rho_{pro,\tau}(r) \rangle q_{\tau} + f(r) \frac{\langle \phi^{MAA}(r) \rangle}{v_{MAA}} q_{MAA} \right) \beta\Psi(r) \right. \\
& \quad \left. - \frac{1}{2} \beta \epsilon (\nabla \Psi(r))^2 \right] \\
& + \int_0^{\infty} \beta \Pi(r) dr G(r) \left(\sum_{\gamma} \rho_{\gamma}(r) v_{\gamma} + \sum_{\lambda} \langle \rho_{pro,\lambda}(r) \rangle v_{\lambda} + \sum_i \langle \phi^i(r) \rangle - 1 \right) \\
& - \int_0^{\infty} dr G(r) \left[\sum_{\gamma} \rho_{\gamma}(r) \beta\mu_{\gamma} + \beta\mu_{pro} \langle \rho_{pro}(r) \rangle + \beta\mu_{H+} \sum_{\tau} g_{\tau}(r) \langle \rho_{pro,\tau}(r) \rangle \right. \\
& \quad \left. + \beta\mu_{H+} (1 - f(r)) \frac{\langle \phi^{MAA}(r) \rangle}{v_{MAA}} \right]
\end{aligned} \tag{5.16}$$

Para esta expresion, 5.16, se ha introducido nuestra restricci3n de la incompresibilidad del volumen (ec. 5.14), como un multiplicador de Lagrange $\Pi(r)$, este veremos cumple la funci3n de una presi3n osm3tica del sistema.

Como se menciono al inicio de este capitulo, el siguiente paso es la busqueda de las condiciones que minimizen la energ3a total. Esto se logra al derivar respecto de

las denidades locales $\rho_\gamma(r)$, el potencial electrostático $\Psi(r)$, el grado de disociación, tanto de los segmentos provenientes de la proteína como del nanogel, $f(r)$, además de la probabilidad de las diferentes conformaciones de la red polimérica $P(\alpha)$

En síntesis podemos escribir $\Omega = \sum P(\alpha) \int G(r) dV \omega$, con ω es el funcional que contempla los funcionales que definen a nuestro gran potencial:

$$\omega = \omega(\rho_\gamma(r), \rho_{pro}(r), \Psi(r), f(r), P(\alpha)) \quad (5.17)$$

En particular la expresión obtenida para el grado de disociación, $f_j(r)$ de los segmentos titulables tanto de la proteína como de la red polimérica que compone al nanogel:

$$\frac{f_j(r)}{1 - f_j(r)} = \left(\frac{a_{H^+}}{k_{a,j}^0} \right)^{\mp 1} e^{-\beta q_{MAA^-} \Psi(r)} \quad (5.18)$$

En donde $a_{H^+} = e^{\beta \Delta \mu_{H^+}} = e^{\beta(\mu_{H^+} - \mu_{H^+}^0)}$ es la actividad del H^+ . El subíndice j se define tal que $j = \{MAA, \tau\}$. El exponente ∓ 1 hace la diferencia sobre segmentos ácidos o b'asicos respectivamente.

En la expresión anterior, 5.18, $K_{a,j}^0$ es la constante termodinámica del equilibrio ácido-base:

$$\begin{aligned} [HA] &\rightleftharpoons [H^+] + [A^-] \\ k_{a,HA}^0 &= \frac{[H^+][A^-]}{[HA]} \\ k_{a,HA}^0 &= \exp(\beta \mu_{HA}^0 - \beta \mu_{A^-}^0 - \beta \mu_{H^+}^0) \end{aligned} \quad (5.19)$$

Para las especie libres, su densidad local se expresa como:

$$\rho_\gamma(r) v_w = a_\gamma \exp(-\beta \Psi(r) q_\gamma) \exp(-\beta \Pi(r) v_w) \quad (5.20)$$

En el mismo sentido, para la proteína $\rho(\theta, r)$:

$$\begin{aligned} \rho_{pro}(\theta, r) v_w = & \tilde{a}_{pro} \prod_{\tau} \exp \left[- \int_0^{\infty} dr' m_{\tau}(\theta, r, r') \ln f_{\tau}(r') \right] \\ & \times \prod_{\lambda} \exp \left[- \int_0^{\infty} dr' m_{\lambda}(\theta, r, r') (\beta \psi(r') q_{\lambda} + \beta \Pi(r') v_{\lambda}) \right] \end{aligned} \quad (5.21)$$

en donde se ha redefinido la actividad de la proteína como:

$$\tilde{a}_{pro} = \exp[\beta \mu_{pro} - \beta \tilde{\mu}_{pro}^0] \quad (5.22)$$

En donde:

$$\beta \tilde{\mu}_{pro}^0 = \beta \mu_{pro}^0 + \sum_{\tau, a} C_{n, \tau} \beta \mu_{\tau, d}^0 + \sum_{\tau, b} C_{n, \tau} \beta (\mu_{H^+} - \mu_{\tau, p}^0) \quad (5.23)$$

τ, a y τ, b suman sobre segmentos ácidos o básicos respectivamente. Además hemos definido el número de composición para un segmento k , $C_{n, k}$:

$$\int_0^{\infty} dr' m_{\lambda}(\theta, r, r') = C_{n, \lambda} \quad \forall r \quad (5.24)$$

La optimización con respecto a la probabilidad de una configuración α de la red de polímeros resulta en:

$$\begin{aligned} \tilde{p}(\alpha) = & \exp \left[- \sum_i \int_0^{\infty} dr \beta \Pi(r) \phi_r^i(\alpha, r) \right] \\ & \times \exp \left[- \int_0^{\infty} dr \beta \Psi(r) \frac{\phi_r^{MAA}(\alpha, r)}{v_{MAA}} q_{MAA} \right] \\ & \times \exp \left[- \int_0^{\infty} dr \ln(f(r)) \frac{\phi_r^{MAA}(\alpha, r)}{v_{MAA}} \right] \end{aligned} \quad (5.25)$$

Donde $Q = \sum_{\alpha} \tilde{p}(\alpha)$. Q es una constante que asegura que $\sum_{\alpha} P(\alpha) = 1$.

La variación de Ω_{NG} con respecto al potencial electrostático da lugar a la ecuación

de Poisson:

$$\epsilon \nabla^2 \Psi(r) = -\langle \rho_q(r) \rangle \quad (5.26)$$

Considerando las simetrías de nuestro problema:

$$\epsilon \frac{1}{r^2} \frac{\partial}{\partial r} \left(\frac{\partial \Psi(r)}{\partial r} \right) = -\langle \rho_q(r) \rangle \quad (5.27)$$

Otra restricción física a tener en cuenta en este punto es la electroneutralidad del sistema, que es:

$$\int_0^\infty dr G(r) \langle \rho_q(r) \rangle = 0 \quad (5.28)$$

Esta restricción se satisface imponiendo la condición de contorno adecuada al resolver 5.27. Estas condiciones de contorno son:

$$\lim_{r \rightarrow \infty} \Psi(r) = 0 \quad (5.29)$$

$$\left. \frac{d\Psi(r)}{dr} \right|_{r=0} = 0 \quad (5.30)$$

Ahora todas las funciones que componen el potencial termodinámico Ω_{NG} se han expresado en términos del potencial electrostático local $\Psi(r)$, la presión osmótica dependiente de la posición $\Pi(r)$ y algunas cantidades de entrada que incluyen las actividades de las especies libres. Dada la concentración de sal, el pH y la concentración de proteínas en la solución bulk, todas estas actividades se pueden calcular imponiendo la incompresibilidad y la neutralidad de carga a dicha solución y utilizando la condición de equilibrio de la auto-disolución del agua. Entonces, las únicas incógnitas restantes son $\Psi(r)$ y $\Pi(r)$ en cada r . Estas funciones locales se calculan resolviendo numéricamente las ecuaciones 5.14 y 5.27 en cada capa r .

5.2.2 Solución Bulk

La composición química de la solución a bulk se encuentra en equilibrio termodinámico con nuestro nanogel. Químicamente hablando nos indica que los potenciales químicos de las especies con movilidad son iguales en cualquier punto del sistema. El cálculo de estos potenciales, y con ello sus actividades nos proveen las soluciones iniciales para la resolución de todo el sistema. En esta sección, expresamos esas actividades en términos de la composición química de la solución bulk.

La solución bulk puede considerarse como el límite $r \rightarrow \infty$:

$$\begin{aligned} i) \rho_\gamma^b &= \rho_\gamma(r \rightarrow \infty) \\ ii) \Pi^b &= \Pi(r \rightarrow \infty) \\ iii) f_\tau^b &= f_\tau(r \rightarrow \infty) \end{aligned} \quad (5.31)$$

Además, las condiciones de contorno expresadas en ec. 5.30 implican que:

$$\Psi(r \rightarrow \infty) = 0 \quad (5.32)$$

En este contexto, para las especies libres (excluyendo la proteína):

$$\rho_\gamma^b v_w = a_\gamma e^{-\beta \Pi^b v_w} \quad (5.33)$$

El grado de disociación f_j de la proteína y los segmentos de la red pueden escribirse como:

$$\frac{f_j^b}{1 - f_j^b} = \left(\frac{a_{H^+}}{K_{a,j}^0} \right)^{\mp 1} \quad (5.34)$$

Finalmente, la densidad de la proteína $\rho_{pro}^b(\theta)$ es:

$$\begin{aligned} \rho_{pro}^b(\theta) v_w &= \tilde{a}_{pro} \prod_{\tau} \exp [-C_{n,\tau} \ln f_\tau^b] \\ &\prod_{\lambda} \exp [-C_{n,\lambda} (\beta \Pi^b v_\lambda + \beta \Psi^b q_\lambda)] \end{aligned} \quad (5.35)$$

donde $C_{n,\lambda}$ es el número de composición para el segmento λ , definido en ec. 5.24.

Para la solución bulk, la restricción de incompresibilidad está dada por:

$$1 = \sum_{\gamma} \rho_{\gamma}^b v_{\gamma} + \sum_{\lambda} \langle \rho_{pro,\lambda}^b \rangle v_{\lambda} \quad (5.36)$$

En esta ocasión, dado que $\Psi^b = 0$, se observa que los funcionales en el bulk de la solución se encuentran establecidos por el potencial de presión Π^b , siendo esta nuestra variable a resolver.

Lo que se puede calcular utilizando las ecuaciones de densidad de las especies libres en solución, ec. 5.33 y la proteína ec. 5.35 en la nueva restricción, 5.36.

5.2.3 Resolución numérica

Para obtener resultados de la minimización de la energía, las ecuaciones integro-diferenciales no lineales descritas anteriormente (secciones 5.2.1 y 5.2.2) deben resolverse numéricamente. Para lograr esto, el volumen del sistema se divide en capas de espesor $\delta = 0.5$. En esta división se ha considerado una simetría radial

En las ecuaciones presentadas, las sumas sobre capas reemplazan las integrales a lo largo de la coordenada r , mientras que las diferencias finitas reemplazan las derivadas.

Reescribiendo, la restricción de incompresibilidad se expresa como:

$$1 = \sum_{\gamma} \rho_{\gamma}(i_r) v_{\gamma} + \sum_{\lambda} \langle \rho_{pro,\lambda}(i_r) \rangle v_{\lambda} + \sum_i \langle \phi_i(i_r) \rangle \quad (5.37)$$

Lo que nos da una ecuación para cada capa i_r , en donde cada posición es descrita por la coordenada $r_i = (i_r - 0.5)\delta$. La variable i_r toma valores de 1 a n_r , en donde n_r es un número suficientemente grande de capas para que se satisfagan las restricciones impuestas en nuestro sistema. Entre ellas $\rho_{\gamma}(n_r) \approx \rho_{\gamma}^b$, $\rho_{pro}(\theta, n_r) \approx \rho_{pro}^b(\theta)$ and $\psi(n_r) \approx \psi^b = 0$.

Con estas consideraciones podemos reescribir:

$$\frac{f(j_r)}{1-f(j_r)} = \left(\frac{a_{H^+}}{k_{a,j}^0} \right)^{\mp 1} e^{-\beta q_{MAA} - \psi(i_r)} \quad (5.38)$$

For the free species:

$$\rho_\gamma(i_r)v_w = a_\gamma \exp[-\beta\psi(i_r)q_\gamma] \exp[-\beta\Pi(i_r)v_w] \quad (5.39)$$

Para las especies libres, su densidad local se escribe ahora:

$$\begin{aligned} \rho_{pro}(\theta, i_r)v_w = & \tilde{a}_{pro} \prod_{\tau} \exp \left[\sum_{j_r=1}^{n_r} \tilde{m}_\tau(\theta, i_r, j_r) \ln f_\tau(j_r) \right] \\ & \times \prod_{\lambda} \exp \left[\sum_{j_r=1}^{n_r} \tilde{m}_\lambda(\theta, i_r, j_r) (\beta\Pi(j_r)v_\lambda + \beta\Psi(j_r)q_\lambda) \right] \end{aligned} \quad (5.40)$$

La probabilidad de las configuraciones de la red polimérica $P(\alpha)T$:

$$\begin{aligned} \tilde{p}(\alpha) = & \prod_{r_j} \prod_i \exp \left[-\beta\Pi(r_j)\tilde{\phi}_r^i(\alpha, r_j) \right] \\ & \times \prod_{r_j} \exp \left[-\beta\Psi(r_j) \frac{\tilde{\phi}_r^{MAA}(\alpha, r_j)}{v_{MAA}} q_{MAA} \right] \\ & \times \prod_{r_j} \exp \left[-\ln(f(r_j)) \frac{\tilde{\phi}_r^{MAA}(\alpha, r_j)}{v_{MAA}} \right] \end{aligned} \quad (5.41)$$

donde:

$$\tilde{\phi}_r^{MAA}(\alpha, r_j) = \int_{r_j-\delta/2}^{r_j+\delta/2} dr \phi_r^{MAA}(\alpha, r_j) \quad (5.42)$$

La ecuación de Poisson se escribe:

$$\epsilon \frac{\Psi(i_r + 1) - 2\Psi(i_r) + \Psi(i_r - 1))}{\delta^2} + 2\epsilon \frac{\Psi(i_r + 1) - \Psi(i_r)}{(i_r - 0.5)\delta^2} = -\langle \rho_q(i_r) \rangle \quad (5.43)$$

en donde la densidad de carga se define:

$$\langle \rho_q(i_r) \rangle = \sum_{\gamma} \rho_{\gamma}(i_r) q_{\gamma} + \sum_{\tau} f_{\tau}(i_r) \langle \rho_{pro,\tau}(i_r) \rangle q_{\tau} + f(i_r) \frac{\langle \phi_{MAA}(i_r) \rangle}{v_{MAA}} q_{MAA} \quad (5.44)$$

Nuestras condicones de contorno se reescriben:

$$\frac{\Psi(1) - \Psi(0)}{\delta} = 0 \quad (5.45)$$

Como se definio en el capítulo donde hablamos sobre los films poliméricos, capitulo 3, definiendo el pH, concentración de sal y proteína. temperatura, es posible calcular las variables restantes $\Pi(i_r)$ y $\Psi(i_r)$ para cada capa i_r . Variables que pueden ser obtenidas al resolver en cada capa las ecuaciones 5.37) y (5.43. 3.49. De esta forma el número de ecuaciones totales a resolver es $2n_r$ (dos por cada capa). Este sistema de ecuaciones es resuelto usando el método de Newton con Jacobiano libre, implementado en códigos FORTRAN desarrollados en el grupo de trabajo.

5.2.4 Molecular Model: Proteins

We consider three different proteins: cytochrome c, insulin and myoglobin. To describe these molecules we use a coarse-grained model where each amino acid residue is described by a single particle centered at the position of the α -carbon. The sequence and position of all α -carbons are taken from the crystallographic structure in the corresponding protein data bank entry [REFs: berman2000protein] : 2B4Z for cytochrome c [REFs: mirkin2008high] , IZNI for insulin [REFs: bentley1976structure] , and 3RQK for myoglobin [REFs: hubbard1990x] .

The coarse-grained particles in this model are each assigned a volume and a pKa (if the unit is titratable) according to the amino acid that they represent; this is summarized in tabla 5.1. These pKa's are taken from experimental data and

grupo	$v(nm^{-3})$	pka	grupo	$v(nm^{-3})$	pka
Ala	0.067		Pro	0.090	
Arg	0.148	12.5(+)	Ser	0.073	
Asn	0.096		Thr	0.093	
Asp	0.091	3.5(-)	Trp	0.163	
Cys	0.086		Tyr	0.141	10.3(-)
Gln	0.114		Val	0.105	
Glu	0.109	4.2(-)	H ₂ O	0.033	
Gly	0.048		OH ⁻	0.033	
His	0.118	6.6(+)	H ₃ O ⁺	0.033	
Ile	0.124		Na ⁺	0.043	
Leu	0.124		Cl ⁻	0.047	
Lys	0.135	10.5(+)	AH	0.068	9.5(+)
Met	0.124		MAA	0.085	4.65(-)
Phe	0.135		VA	0.085	

Tabla 5.1: Volume and pKa of the coarse-grained particles (amino acid residues, small ions, solvent molecules and polymer segments) considered in our molecular model.

represent average values over a large number of proteins [REFs: grimsley2009summary]. In most occurrences of a residue, its pKa does not significantly deviate from the average value. In specific instances, however, some residues display a different pKa; these special cases are described in the SI.

Using this molecular model, figura 5.1 shows the charge (number) of the three proteins in dilute solution as a function of pH. The isoelectric point (pI) is the pH at which the net charge of a protein is zero. From the graph, we obtain the values 9.65 (9.6 [REFs: hristova2019isoelectric]), 5.5 (5.3 [REFs: guckeisen2019isoelectric]), 7.15 (7.2 [REFs: batys2020myoglobin]) for the pI of cytochrome c, insulin, and myoglobin respectively; the values in parentheses are the pI of the proteins reported experimentally.

5.2.5 Molecular model: Nanogel Network

Besides the protein model presented in sec. 5.2.4, we need to specify a molecular model to describe the polymer network that makes the nanogel backbone. Such model must provide a set of molecular configurations of the polymer network that is representative of the whole conformational space. A particular network conformation

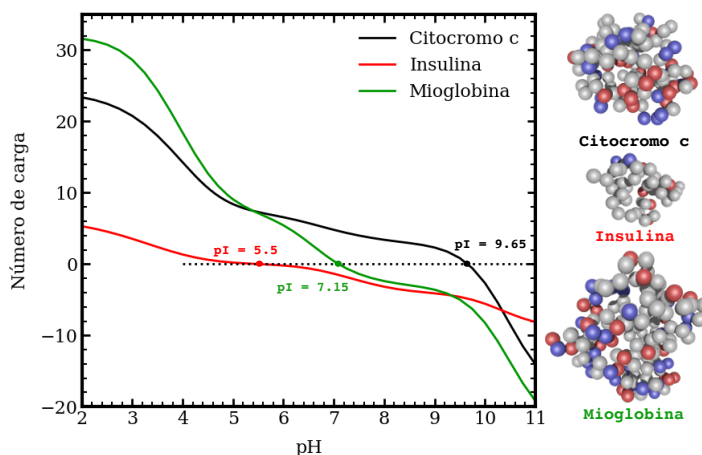


Figura 5.1: Left: Charge number of the proteins in a dilute solution as a function of pH (solid-line curves); filled circles mark the isoelectric point, where the net charge of the protein is zero. The coarse-grained representation of the proteins is illustrated on the right, where amino acid residues are represented by a single sphere (red: acidic; blue: basic; gray: charge-neutral residues).

is given by the spacial position of all its segments.

The nanogel network is composed of 25 segment-long crosslinked polymer chains. In total this network contains 10054 segments. Each segment is a coarse-grained representation of either a crosslink, a charge neutral unit (VA) or an acid/basic monomer (MAA/AH). tabla 5.1 includes the volume and pKa (if the unit is titratable) used to describe these coarse-grained units.

The polymer network has diamond-like topology, where crosslinks are placed at the original position of carbon atoms and connected to four polymer chains. To build this network, we first construct a three-dimensional structure where all the polymer chains are elongated, to then only keep the segments contained within a sphere of radius R_{cut} placed at the center of mass of the structure; R_{cut} is selected such that the network will have 10000 segments approximately. Originally, all polymer chains connect two crosslinks, but as a result of this procedure some will be left dangling on the network surface, connected to a single crosslink. Most of these superficial *dangling* chains are shorter than 25 segments. Altogether these chains contain 22% of the total number of segments. To generate the different molecular conformations

of the polymer network, we have performed Molecular Dynamics simulations using GROMACS 5.1.2 [REFs: indahl2001gromacs] (details are given in the SI).

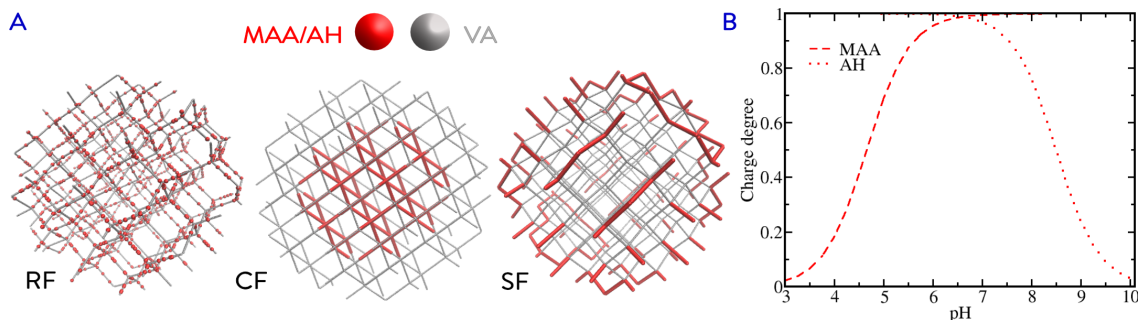


Figura 5.2: A: The nanogel network consists of crosslinked copolymer chains of a charge-neutral segment (VA: vinyl alcohol) and a functional unit (either MAA: methacrylic acid or AH: allylamine). This scheme illustrates the three different comonomer distributions considered; from left to right: RF: a random distribution of functional groups throughout the network; CF: the functional units occupy the center/core of the network; SF: only the free-end dangling chains on the network surface are functionalized with pH-responsive units. B: Plot of the ideal pH-dependent degree of charge of the isolated functional unit in dilute solution.

We consider different pH-responsive nanogels, containing either acid (MAA) or basic (AH) groups, and evaluate three different topologies for the spatial distribution of these functional segments, which are schematized in figura 5.2: (i) a *randomly functionalized* (RF) structure where the pH-responsive segments are spread throughout the network at random, (ii) a *core functionalized* (CF) structure, where the pH-sensitive units occupy the center of the network, and (iii) a *surface functionalized* (SF) structure in which only the dangling chains on the network surface are ionizable.

5.3 Results and discussion

5.3.1 Caraterización del nanogel

En esta primera instancia examinaremos el comportamiento (la respuesta) de los nanogeles en función del pH en ausencia de proteínas.

Para cuantificar el tamaño de un nanogel, usaremos el radio de la partícula, R , que se puede calcular usando:

$$R = \frac{4}{3} \frac{\int_0^\infty dr G(r) r \langle \phi(r) \rangle}{\int_0^\infty dr G(r) \langle \phi(r) \rangle} \quad (5.46)$$

donde r es la distancia desde el centro de masa de la red polimérica (en nuestra teoría asume simetría radial); $\langle \phi(r) \rangle$ es la fracción de volumen local del polímero (incluye todos los tipos de segmentos); los corchetes angulares indican el promedio de ensamble sobre las diferentes conformaciones de la red (ver ecuación 5.5); $G(r) = 4\pi r^2$ es el área de la supercie de una esfera de radio r .

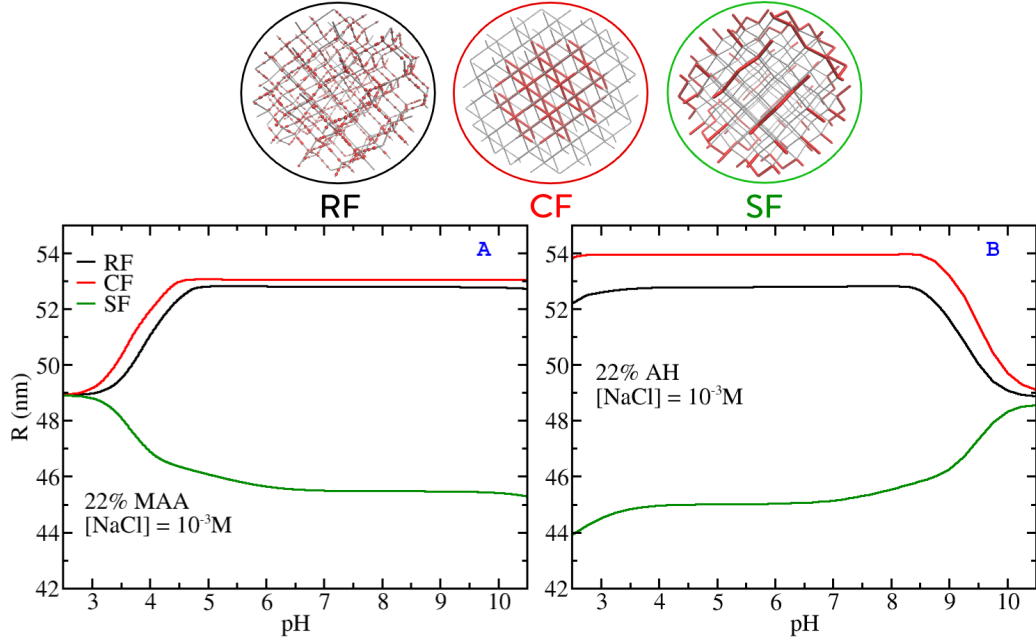


Figura 5.3: Radio promedio, R , en función del pH para nanogeles de copolímero MAA-VA (panel A) y AH-VA (panel B). Se consideran tres estructuras diferentes en cada caso donde las unidades funcionales (MAA/AH) se distribuyen aleatoriamente a lo largo de la red polimérica (RF), ocupan el centro de la red (CF), o modifican las cadenas colgantes dentro del polímero. interfaz de solución (SF). En todos los casos, el 22% de los segmentos de estas redes son sensibles al pH; La concentración de NaCl es $10^{-3} M$.

La Figura 5.3 muestra el radio promedio R en función del pH para las tres diferentes estructuras consideradas: RF, CF y SF. El panel A describe un nanogel

cuyo segmento ionizable es el MAA , mientras que el panel B describe un nanogel basado en AH . En ambos casos, la concentración de sal es de 1 mM, y la fracción de monómero funcional (MAA o AH) es de 22%. Los nanogeles basados en MAA funcionalizados al azar (RF) y en el núcleo (CF) se hinchan al aumentar el pH (panel A). Esto se debe a que los segmentos MAA se desprotonan y se cargan eléctricamente a medida que aumenta el pH (ver figura 5.2B), lo que da como resultado repulsiones electrostáticas dentro de la red. La distancia entre las unidades MAA cargadas debe aumentar para reducir estas interacciones repulsivas, con lo cual la red aumenta su tamaño para colocar estos segmentos cargados más separados. Resumiendo, para disminuir la repulsión entre unidades MAA cargadas, su distancia espacial debe aumentar, lo que resulta en una expansión neta de la red.

La red MAA funcionalizada en su superficie, por otro lado, muestra un comportamiento de expansión completamente diferente, vease en figura 5.3A. Este nanogel se deshincha a medida que las unidades titulables se cargan al aumentar el pH. Para explicar este comportamiento contrario a lo que se espera, observamos la distribución local de segmentos dentro de nuestras estructuras en diferentes condiciones. Utilizamos la distribución radial de los monómeros funcionales. Para los nanogeles MAA , dicha cantidad se define como:

$$\lambda_{MAA}(r) = 4\pi r^2 \langle \phi_{MAA}(r) \rangle \quad (5.47)$$

en donde $\langle \phi_{MAA}(r) \rangle$ da la fracción de volumen local de los segmentos de ácido metacrílico. Hay que tener en cuenta que $\lambda_{MAA}(r)dr$ da el número de segmentos MAA en la capa esférica entre r y $r + dr$ medidos desde el centro del nanogel. Además, la integral $\int_0^\infty \lambda_{MAA}(r)dr$ da el número total de monómeros MAA en la red.

La figura 5.4 muestra la distribución radial de los segmentos de MAA para las diferentes redes consideradas. En cada caso se incluyen resultados para una solución de pH 3, donde los segmentos MAA tienen carga neutra, y pH 7 donde están completamente cargados (ver figura 5.2B); Para una funcionalización aleatoria (panel A), la distribución de los segmentos MAA se desplaza hacia la interfaz de solución del nanogel a medida que la red se carga eléctricamente cuando aumenta el pH.

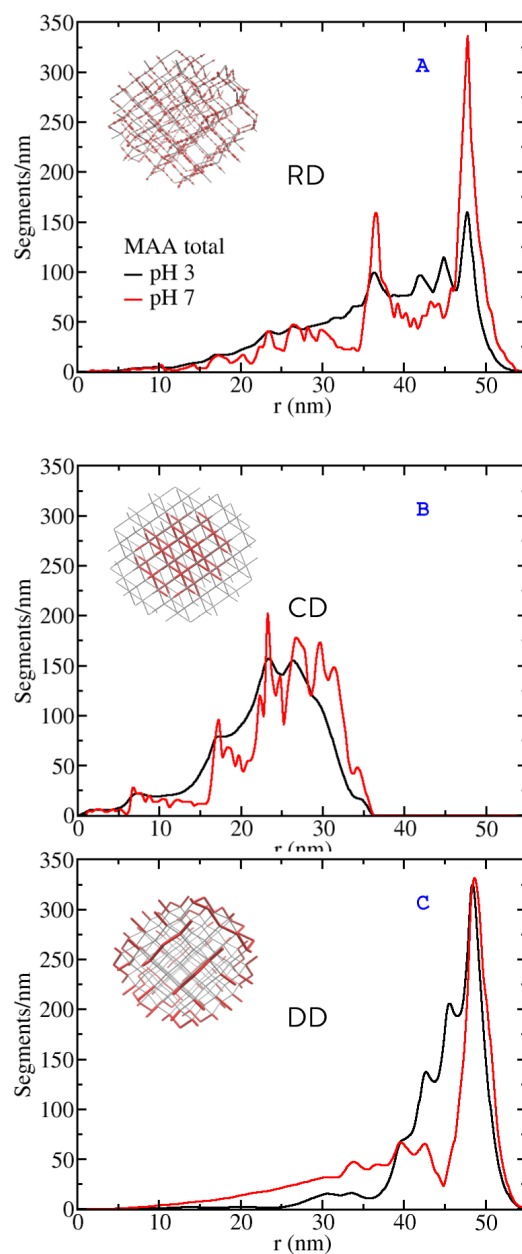


Figura 5.4: Distribución radial de segmentos MAA, $\lambda_{MAA}(r)$, a pH 3 y 7, y $10^{-3}M$ NaCl; cada panel corresponde a un nanogel de MAA-VA diferente que tienen una funcionalización de red particular y 22% MAA. Estos grupos funcionales están completamente protonados (sin carga) a pH 3 y completamente disociados (cargados) a pH 7.

Este desplazamiento se produce para reducir las repulsiones electrostáticas entre los segmentos *MAA* cargados.

Como resultado, toda la distribución del polímero también se extiende, incluidas las unidades *VA* de carga neutra. ver figura 5.5. El mismo comportamiento tiene lugar para una funcionalización central (panel 5.4B), aunque por diseño, los segmentos *MAA* en esta red, ya sea que estén cargados o no, es más probable que ocurran a distancias más cortas del centro del nanogel en comparación con las otras estructuras. El desplazamiento de segmentos a r más altos observado en los paneles figura 5.4A y B explica el aumento del tamaño promedio del nanogel con pH visto en la figura 5.3A para las estructuras RF y CF.

Por otro lado, la figura 5.4C muestra que la distribución superficial de segmentos de *MAA* se desplaza hacia adentro cuando la red se carga con el aumento de pH. Para reducir las repulsiones dentro de la red, las cadenas libres (de la superficie) de *PMAA*, que se asientan en la superficie del nanogel a un pH bajo, también intentan ocupar el volumen dentro de la red cuando están cargadas. Este cambio hacia adentro de la distribución de segmentos de polímero (5.5C) explica el comportamiento de deshinchamiento del nanogel tipo SF con el aumento del pH que se observa en la figura 5.3A. Nótese, sin embargo, que a pesar de este desplazamiento parcial hacia el interior de la red, la posición más probable de los segmentos *MAA* es siempre la interfaz polímero-solución para soluciones de pH alto y bajo. Al empujar toda la estructura hacia dentro del nanogel los segmentos de *MAA* quedan igualmente expuestos.

El comportamiento de los nanogeles compuestos por *AH* es análogo al de las redes basadas en *MAA*, pero en respuesta al cambio de pH en la dirección opuesta. Los grupos *AH* se protonan y se cargan positivamente con la disminución del pH (ver figura 5.2B). Para nanogeles de *AH* funcionalizados aleatoriamente y en su núcleo, este aumento en la carga eléctrica con la disminución del pH provoca un desplazamiento hacia afuera de la distribución del segmento. Del mismo modo que se observó para los nanogeles compuestos por *MAA*, lo que explica la hinchazón de la figura 5.3B; mientras tanto, para la estructura tipo SF, el deshinchamiento con la disminución del pH que se ve en la figura 5.3B es consistente con un desplazamiento hacia adentro del polímero

La figura 5.5 muestra la distribución de todos los segmentos que componen la red polimérica de los diferentes nanogeles. Al igual que en fig. 5.4 presentamos la distribución para dos diferentes valores de pH. Que corresponde a los estados protonado (pH 3) y desprotonado (pH 7) de los segmentos de *MAA*. En los paneles A y B se observa un aumento de cantidad de segmentos a valores m'as altos de r al cargarse el nanogel. Comportamiento observado en la figura 5.3, en donde hay un aumento del radio del nanogel (RF y CF). En cambio el desplazamiento hacia dentro de los segmentos de la red polimérico al transicionar de un estado cargado a uno descargado en la distribución superficial (SF) explica la disminución del tamaño del gel observada en la figura 5.3B.

5.3.2 Protein adsorption to *MAA*-based nanogels

En la sección anterior se evaluó el impacto de la funcionalización de la red y la composición química en la respuesta del nanogel a las variaciones de pH en ausencia de proteínas.

La reorganización de los segmentos de la red polimérica es resultado de los cambios en el pH con una dependencia en la elección de diseño: es decir la distribución de unidades funcionales dentro de la red.

En esta parte se mostrara el impacto de esta reorganización de la red polimérica en el nivel de adsorción de proteínas en diferentes nanogeles, así como la distribución espacial de las proteínas adsorbidas.

En particular mostramos el análisis de la adsorción del citocromo c y mioglobina en diferentes estructuras de nanogeles basados en *MAA*. Adem'as mostraremos estudios de adsorción de insulina, pero en este caso con nanogeles teniendo *AH* como segmento protonable. Los resultados de la insulina con *MAA* se omiten debido a su bajo punto isoeléctrico, esta proteína no se adsorbe en nanogeles basados en *MAA*.

Para estos estudios vamos a condicionar a un nanogel polimérico centrado en $r = 0$ en contacto con una solución acuosa de proteína. El número de proteínas adsorbidas dentro de la capa esférica entre r y $r + dr$ viene dado por la cantidad en exceso, definida:

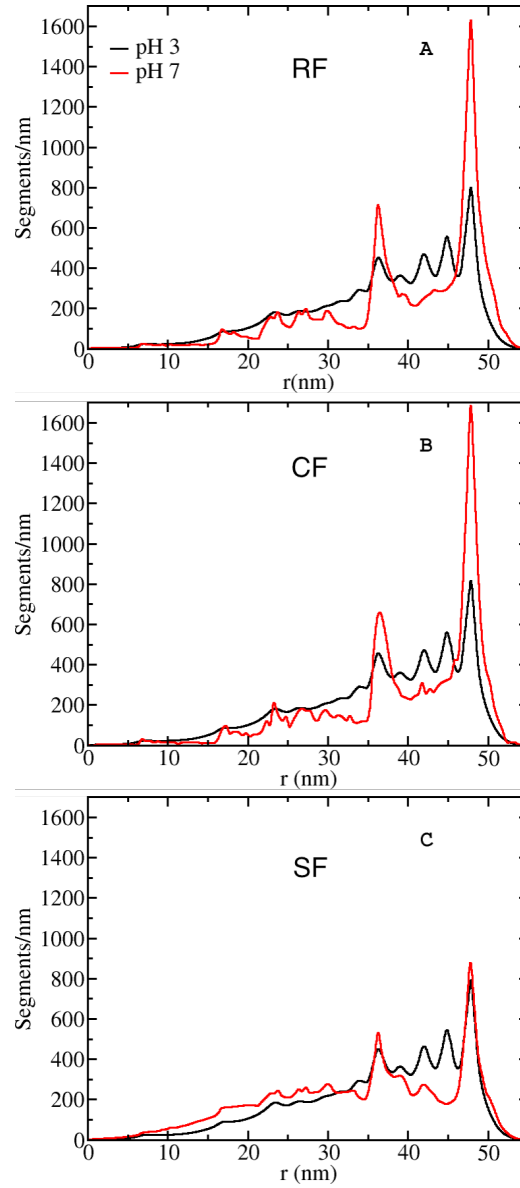


Figura 5.5: Distribución radial de todos los segmentos que componen la estructura del nanogel, $\lambda(r)$, a pH 3 y 7, y $10^{-3} M$ NaCl; cada panel corresponde a una funcionalización diferente

$$\langle N(r) \rangle dr = 4\pi r^2 (\langle \rho(r) \rangle - \rho_{bulk}) dr \quad (5.48)$$

en donde $\langle\rho(r)\rangle$ y $\rho_{bulk} = \lim_{r \rightarrow \infty} \langle\rho(r)\rangle$ son respectivamente la densidad (en número) local y en el bulk de la proteína. La integración de $\langle N(r) \rangle$ produce la *adsorción en exceso* (en adelante, simplemente la adsorción) que cuantifica el número de proteínas incorporadas a la red de polímeros,

$$\Gamma = \int_0^\infty \langle N(r) \rangle dr \quad (5.49)$$

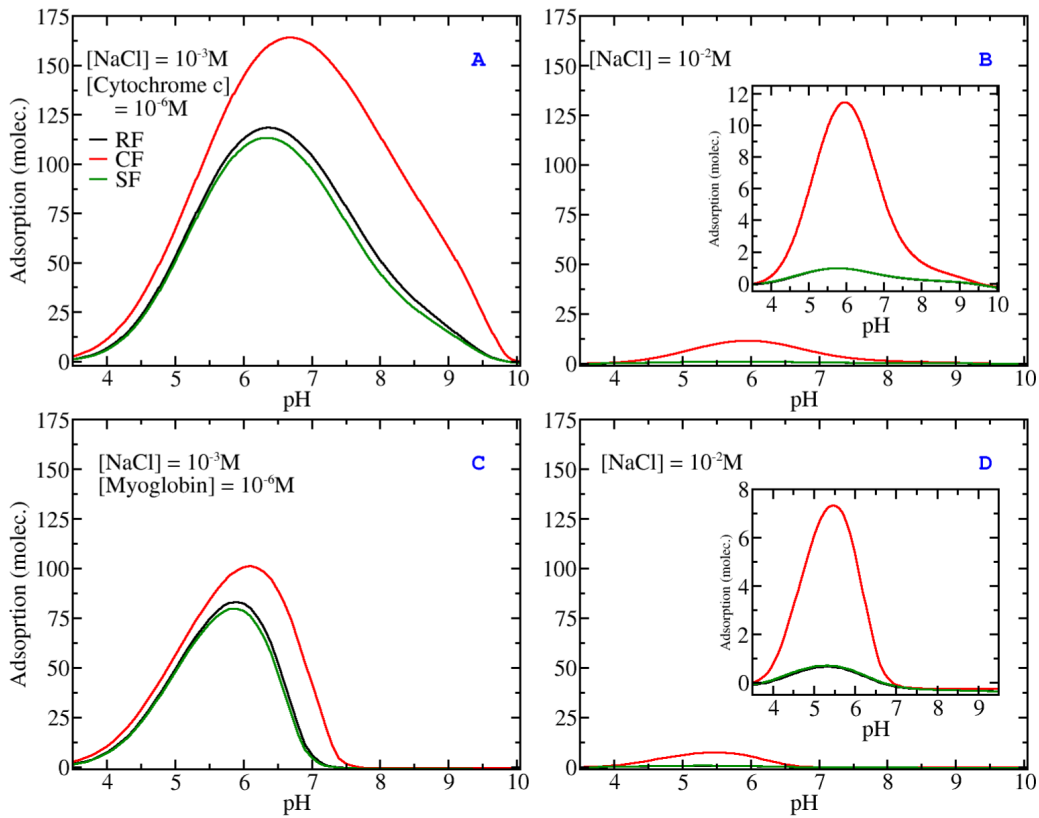


Figura 5.6: Gráficos del exceso de adsorción Γ de citocromo c (paneles A y B) y mioglobina (paneles C y D) a nanogeles MAA-VA en función del pH. La concentración de sal es 10^{-3} M en los paneles del lado izquierdo (A y C) y 10^{-2} M en los paneles del lado derecho (B y D); Se muestra una ampliación de la adsorción. Estos nanogeles tienen 22% MAA; la concentración de proteína es 10^{-6} M .

La Figura 5.6 muestra la adsorción de soluciones de proteína única de citocromo c (paneles superiores, A y B) y mioglobina (paneles inferiores, C y D) en nanogeles

de *MAA* – *VA* con diferente funcionalización en su red; El pH es la variable independiente de estos cálculos, pero también evaluamos el efecto de la concentración de NaCl comparando diferentes paneles en la misma línea. Los nanogeles de Figura 5.6 contienen 22% en *MAA*, para los nanogeles funcionalizados en su superficie significa que todos los segmentos en las cadenas superficiales de la red están compuestos por *MAA*.

Puede observarse que la adsorción de proteínas es una función no monotónica del pH con un máximo en la región entre pH 5-7, que depende de la concentración de sal y la proteína específica. Esta respuesta del pH puede explicarse en términos de las interacciones electrostáticas y el comportamiento de protonación tanto de los segmentos de *MAA* como de las proteínas. Las unidades ácidas del polímero se disocian y la red se carga negativamente cuando el pH aumenta por encima de su pKa intrínseco (4,65 para *MAA*). Por encima de este pH, pero por debajo de su punto isoelectrico, la proteína tiene carga positiva. En estas condiciones, las atractivas interacciones proteína-red impulsan la adsorción. Sin embargo, en ambos lados de la escala de pH, estas interacciones son insignificantes (pH bajo) porque el *MAA* está protonado y tiene carga neutra o repulsivo (pH alto) porque las proteínas tienen carga negativa. Cualquiera de las dos situaciones conduce a la ausencia de adsorción de proteínas ($\Gamma \approx 0$) o desorción ($\Gamma < 0$).

En general, las adsorciones de citocromo c y mioglobina son cualitativamente similares. Hay dos diferencias principales: (i) la magnitud de la adsorción (el citocromo c se adsorbe significativamente más) y (ii) el citocromo c se adsorbe en un rango de pH más amplio, lo que se debe a su punto isoelectrico más alto (9,65 en comparación con 7,15). para la mioglobina). Esto también implica que, cuando las demás condiciones son las mismas, el nivel máximo de adsorción de citocromo c tiene lugar a un pH ligeramente superior.

En relación con las otras configuraciones, la figura 5.6 muestra que la distribución central de los segmentos *MAA* conduce a una adsorción significativamente mayor en la mayoría de las condiciones. Mostramos que este comportamiento ocurre porque tal distribución de segmentos *MAA* permite una incorporación más efectiva de la proteína adsorbida con carga eléctrica opuesta. Por otro lado, el comportamiento de adsorción de las redes funcionalizadas aleatoriamente y de superficie es sorprendente-

mente similar dentro del pH y las concentraciones de sal estudiadas, y también para las diferentes proteínas. La distribución de unidades funcionales entre estructuras RF y SF difiere mucho a pH bajo. Sin embargo, tras la reorganización del polímero a un pH más alto a medida que se cargan las unidades MAA, estas distribuciones se vuelven relativamente similares entre sí (compare los paneles A y C de la Figura 5.4), lo que explica la adsorción de proteínas comparable observado en nanogeles RF y SF.

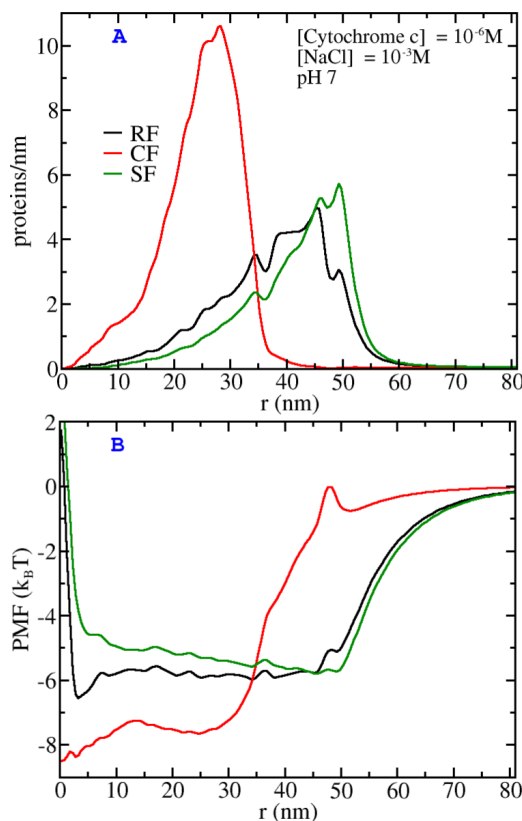


Figura 5.7: Panel A: Gráfico de la distribución radial de las moléculas de citocromo c, $\langle N(r) \rangle$, en función de la posición de los nanogeles MAA-VA con diferentes funcionalizaciones. Estas redes tienen 22% MAA, el pH es 7, la concentración de proteína es de $10^{-6}M$ y la concentración de NaCl es de $10^{-3}M$. El panel B muestra el potencial de la fuerza media, $PMF(r)$, que actúa sobre el citocromo c para las mismas condiciones que el panel A.

Para explicar el mejor rendimiento de los nanogeles MAA funcionalizados con núcleo en la incorporación de proteínas, La figura 5.7A muestra la distribución radial

de las moléculas de citocromo *c* en función de la distancia r al centro de masa del nanogel. La solución tiene pH 7 y NaCl 1 mM, lo que corresponde aproximadamente a las condiciones de máxima adsorción de esta proteína en la Figura 5.6A. Existe una clara correlación entre la distribución de los grupos funcionales a lo largo de la red polimérica y la ubicación del citocromo *c* adsorbido.

When the center of the network is functionalized, the highest probability of finding the proteins occurs deep inside the nanogel between 20-30 nm. In Figura 5.7A the maximum number of adsorbed proteins occurs at $r = 28$ nm for 1 mM NaCl, and at $r = 25$ nm for 10 mM NaCl. Congruently, the distribution profile of charged MAA displays a shallow maximum in this spatial region (see figura 5.4B, red curve). Namely, adsorbed proteins sit where they can be surrounded by oppositely charged network segments. Interestingly, the same phenomenon takes place in the adsorption to RF and SF nanogels. The distributions of charged MAA display a sharp maximum near the nanogel surface, between 45-50 nm (see red curves in figura 5.4, panels A and C). Fig 6A shows that cytochrome *c* is most likely to adsorb next to these regions of high MAA (charge) density.

When comparing the distributions of cytochrome *c* inside RF and SF nanogels in figura 5.7A, we observe that the profiles are relatively similar to each other. As expected, if only the surface is functionalized, the protein profile shifts towards the polymer-solution interface. To further quantify the interaction with the nanogels, we use the potential of mean force acting on a protein at a distance r from the center of the polymer network, defined as:

$$PMF(r) = -k_B T \ln \frac{\langle \rho(r) \rangle}{\rho_{bulk}} \quad (5.50)$$

where $\lim_{r \rightarrow \infty} PMF(r) = 0$, which means that the nanogel-protein interaction vanishes when they are sufficiently far apart.

Figura 5.7B shows $PMF(r)$ acting on cytochrome *c* at the same conditions of panel A, and for the three different nanogel functionalizations. Deep inside the nanogel, protein interaction with the CF structure is the strongest: $-8k_B T$ approximately in the spatial range from $r = 0$ to 30 nm. This interaction is relatively short-ranged because it decreases significantly above *approx* 40 nm. On the other hand, cytochrome *c* interactions with RF and SF nanogels extend longer, up to

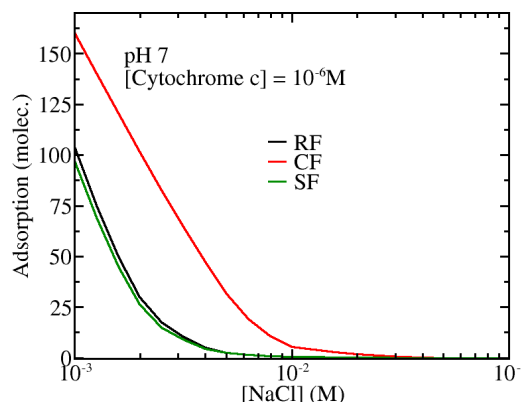


Figura 5.8: Plot of the excess adsorption Γ of cytochrome c as a function of salt concentration at pH 7 for MAA-VA nanogels with different network functionalizations having 22% MAA; protein concentration is 10^{-6} M.

55 – 60 nm. Inside the nanogel, these interactions are weaker than that with the CF structure. The adsorption free energy is $\sim -6k_B T$ and it remains roughly constant inside the RF nanogel. For the surface-functionalized nanogel, on the other hand, the minimum of $PMF(r)$ is also $\sim -6k_B T$, occurring next to the polymer-solution interface ($r \approx 50$ nm). As opposed to the RF structure, this interaction is not constant inside the nanogel, but it increases monotonously as r decreases and the protein gets further away from the functionalized superficial dangling chains.

A feature of protein adsorption that we have not fully discussed yet is the effect of salt concentration. For both cytochrome c and myoglobin, figura 5.6 shows that the incorporation of proteins inside the different nanogels is significantly enhanced by decreasing the solution salt concentration. In order further characterize this behavior in figura 5.8 presents cytochrome c adsorption as a function of NaCl concentration at pH 7. This graph shows that all network functionalizations display a qualitatively similar behavior, with a dramatic decrease in adsorption between 1 and 10 mM NaCl. At 100 mM all nanogels show negligible or negative adsorption.

When the solution salt concentration is high, both Na^+ and Cl^- ions are found in high concentrations inside the nanogel. These ions screen the electrostatic attractions between the positive charges of the protein and the negative charges on the polymer, which are the driving force for protein adsorption. Effectively, these attractions become short range and are not strong enough to result in significant if any

protein adsorption. If the concentration of NaCl is lower, on the other hand, these electrostatic interactions are less screened and effectively longer ranged, which allows for protein adsorption. Thus, decreasing the salt concentration enhances adsorption. ROJO Such behavior has been observed in experiments, which show that there is an increase in protein adsorption at low salt concentration [REFs: [becker2012proteins](#), [henzler2010adsorption](#), [xu2018interaction](#)] . Adsorption to planar and spherical polyelectrolyte brushes is significantly favored at lower salt concentrations, as demonstrated using isothermal titration calorimetry. ROJO

In considering carriers for protein delivery applications our results suggest that the best conditions for encapsulation correspond to low salt. The adsorption profiles of figura 5.8 are qualitatively similar for the three functionalizations, but the number of proteins inside the nanogel is always significantly larger for the CF structure. This feature may be critical in designing delivery vehicles for a target having intermediate salt concentrations. The CF incorporates more proteins at the same conditions, but it may not be able to release them if the target has intermediate salt concentration. For these conditions the random functionalization will be able to release all its cargo.

5.3.3 Insulin adsorption AH-based nanogels

Insulin does not adsorb to the MAA nanogels of sec. 5.3.2 This is because the isoelectric point of insulin and the pKa of MAA are close to each other, meaning that for solutions where the protein is positively charged, the nanogel is charge neutral, and if the nanogel is negatively charged so is the protein. In this context, we decided to investigate insulin adsorption to an allylamine nanogel, which is positively charged below its pKa of 9.5, overlapping with the range where insulin is negatively charged. Other than the functional monomers, the structure of these AH-VA copolymer networks is the same as that of the MAA-VA nanogels previously described.

Figura 5.9A shows the adsorption of insulin to AH-based nanogels having different spatial functionalizations. Again we have considered networks with 22% of pH-sensitive monomers so that we can include results for the SF nanogel, whose dangling chains are AH homo-polymers. The main features of this plot are qualitatively similar to those of cytochrome c and myoglobin adsorption to the MAA nanogels (see Figura 5.6). Namely, insulin displays a nonmonotonic adsorption as

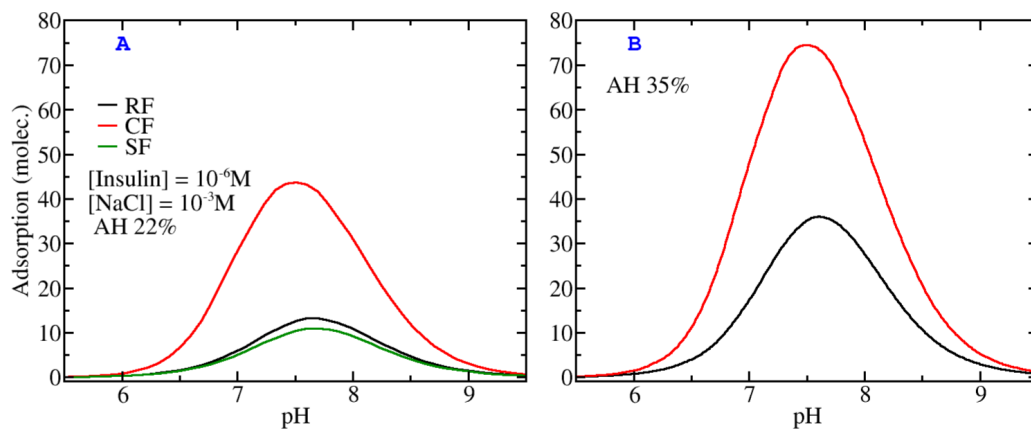


Figure 5.9: Plots of adsorbed insulin molecules, Γ , as a function of pH for AH-VA nanogels having different functionalizations. The AH content is 22% for the polymer networks of panel A and 35% for those of panel B (this latter degree of functionalization cannot be achieved for the SF nanogel). Other conditions are 10^{-3} M NaCl, and $[\text{Insulin}] = 10^{-6}$ M.

a function of the solution pH. Moreover, we see that the core distribution of AH segments captures more insulin than either the random or the surface functionalizations. The RF and SF nanogels display relatively similar pH-dependent adsorption profiles. Finally, a rising salt concentration has a critical effect on the magnitude of insulin adsorption, which is because of the increasing shielding of network-protein electrostatic attractions by mobile i

Despite the qualitative similarities between the adsorptions profiles of Figure 5.9A and those of cytochrome c and myoglobin (Figure 5.6A and C), we see that the number of insulin molecules captured by the AH-networks is significantly less than that of the other proteins by the MAA-based nanogels. For this reason, we will next evaluate the effect of the degree of functionalization of the polymer network to enhance protein adsorption. Figure 5.9B presents insulin adsorption for nanogels having 35% of AH segments. Here, the surface functionalized structure is not included because there are not enough segments in the dangling chains. A higher HA content drives more adsorption, which results from comparing both panels of Figure 5.9. Once again, the CF nanogel adsorbs more insulin than the RF network (more than twice as many proteins for the conditions of this calculations).

Figure 5.10A shows how adsorbed proteins are spatially distributed inside the

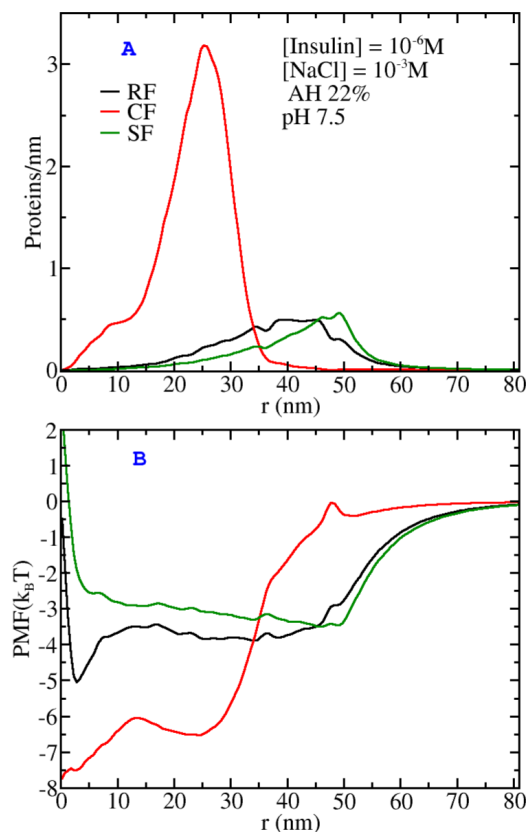


Figura 5.10: A: Plot of the local distribution of insulin molecules, $\langle N(r) \rangle$, as a function of position for AH-VA nanogels having 22% pH-sensitive segments in different network configurations. pH is 7.5, 10^{-6} M insulin and 10^{-3} M NaCl. B: Potential of mean force, $PMF(r)$, as a function of position for the same conditions as panel A.

different AH-based nanogels with %22 degree of functionalization. The pH of these results corresponds to the adsorption maximum of Figure 5.9A. Insulin adsorption to the CF nanogel is not only significantly higher than the adsorption to the RF and SF nanogels, but it also occurs deeper inside the structure. The most likely position of an insulin molecule occurs around $r = 25$ nm for the CF nanogel, while this position moves to around 40 – 45 and 50 nm for the RF and SF structures respectively.

For MAA-based nanogels, Figure 5.7A shows relatively minor differences between the distributions of cytochrome c inside RF and SF networks. Such are differences slightly accentuated for insulin adsorption to the AH-VA nanogels, as seen in Figure 5.10A. Insulin distribution is displaced to the interior of the network in the randomly

modified nanogel as compared to the surface functionalization, where proteins are more likely to occupy the very vicinity of polymer-solution interface. Overall insulin distribution profiles are still relatively similar for these two structures. These results show, once again, that network design (polymer synthesis) provides a tool to control the distribution of proteins inside the nanogel.

Panel B of figura 5.10 shows the potential of mean force acting on insulin molecules at the same conditions as panel A. The attractive interaction on adsorbed insulin ranges from -8 to $-6k_B T$ inside the CF structure and from -5 to $-4k_B T$ inside RF nanogel. Inside the SF nanogel the potential presents a minimum of $-4k_B T$ at the surface and then increases monotonously as r decreases inside the gel.

5.4 Conclusions

We have presented a study of protein adsorption to polymer nanogels having different pH-responsive functionalizations. We have derived and applied a thermodynamic theory that can be informed by a coarse-grained molecular model.

The

Bibliography

- [1] Irene Adroher-Benítez, Alberto Martín-Molina, Silvia Ahualli, Manuel Quesada-Pérez, Gerardo Odriozola, and Arturo Moncho-Jordá. Competition between excluded-volume and electrostatic interactions for nanogel swelling: Effects of the counterion valence and nanogel charge. *Phys. Chem. Chem. Phys.*, 19(9): 6838–6848, 2017. ISSN 14639076. doi: 10.1039/c6cp08683g.
- [2] F. Afroze, E. Nies, and H. Berghmans. Phase transitions in the system poly(N-isopropylacrylamide)/water and swelling behaviour of the corresponding networks. *J. Mol. Struct.*, 554(1):55–68, 2000. ISSN 00222860. doi: 10.1016/S0022-2860(00)00559-7.
- [3] Silvia Ahualli, José Alberto Maroto-Centeno, Aintzane Pikabea, Jacqueline Forcada, and Manuel Quesada-Pérez. Coarse-grained simulation study of dual-stimuli-responsive nanogels. *Colloid and Polymer Science*, 294(4):735–741, 2016. doi: 10.1007/s00396-016-3832-8.
- [4] Juan A. Allegretto, Juan M. Giussi, Sergio E. Moya, Omar Azzaroni, and Matias Rafti. Synthesis and characterization of thermoresponsive zif-8@pnipam-co-maa microgel composites with enhanced performance as an adsorption/release platform. *RSC Adv.*, 10:2453–2461, 2020. doi: 10.1039/C9RA09729E. URL <http://dx.doi.org/10.1039/C9RA09729E>.
- [5] Geneviève Aubel-Sadron and Danielle Londos-Gagliardi. Daunorubicin and doxorubicin, anthracycline antibiotics, a physicochemical and biological review. *Biochimie*, 66(5):333–352, 1984. doi: 10.1016/0300-9084(84)90018-X.

- [6] Robina Begum, Zahoor H. Farooqi, and Shanza Rauf Khan. Poly(N-isopropylacrylamide-acrylic acid) copolymer microgels for various applications: A review. *Int. J. Polym. Mater. Polym. Biomater.*, 65(16):841–852, 2016. ISSN 1563535X. doi: 10.1080/00914037.2016.1180607.
- [7] O V Borisov and E B Zhulina. Effects of ionic strength and charge annealing in star-branched polyelectrolytes. *Eur. Phys. J. B - Condens. Matter Complex Syst.*, 4(2):205–217, 1998. ISSN 1434-6036. doi: 10.1007/s100510050371. URL <https://doi.org/10.1007/s100510050371>.
- [8] Melanie Bradley, Jose Ramos, and Brian Vincent. Equilibrium and kinetic aspects of the uptake of poly(ethylene oxide) by copolymer microgel particles of N-isopropylacrylamide and acrylic acid. *Langmuir*, 21(4):1209–1215, 2005. ISSN 07437463. doi: 10.1021/la047966z.
- [9] Bastian Brugger and Walter Richtering. Emulsions stabilized by stimuli-sensitive poly(N-isopropylacrylamide)-co- methacrylic acid polymers: Microgels versus low molecular weight polymers. *Langmuir*, 24(15):7769–7777, 2008. ISSN 07437463. doi: 10.1021/la800522h.
- [10] Tong Cai, Manuel Marquez, and Zhibing Hu. Monodisperse thermoresponsive microgels of poly(ethylene glycol) analogue-based biopolymers. *Langmuir*, 23(17):8663–8666, 2007. doi: 10.1021/la700923r. URL <https://doi.org/10.1021/la700923r>. PMID: 17658862.
- [11] D. Capriles-González, B. Sierra-Martín, A. Fernández-Nieves, and A. Fernández-Barbero. Coupled deswelling of multiresponse microgels. *J. Phys. Chem. B*, 112(39):12195–12200, 2008. ISSN 15206106. doi: 10.1021/jp8003773.
- [12] Daniel A. Carr and Nicholas A. Peppas. Assessment of poly(methacrylic acid-co-n-vinyl pyrrolidone) as a carrier for the oral delivery of therapeutic proteins using caco-2 and ht29-mtx cell lines. *Journal of Biomedical Materials Research Part A*, 92A(2):504–512, 2010. doi: <https://doi.org/10.1002/jbm.a.32395>. URL <https://onlinelibrary.wiley.com/doi/abs/10.1002/jbm.a.32395>.

- [13] Cristina Carvalho, Renato X Santos, Susana Cardoso, Sonia Correia, Paulo J Oliveira, Maria S Santos Moreira, and Paula I. Doxorubicin: The good, the bad and the ugly effect. *Curr. Med. Chem.*, 16(25):3267–3285, 2009. doi: <http://dx.doi.org/10.2174/092986709788803312>. URL <http://www.eurekaselect.com/node/69601/article>.
- [14] Gil C. Claudio, Kurt Kremer, and Christian Holm. Comparison of a hydrogel model to the Poisson-Boltzmann cell model. *J. Chem. Phys.*, 131(9), 2009. ISSN 00219606. doi: 10.1063/1.3207275.
- [15] MG Come, A Skladanowski, AK Larsen, and G Laurent. Dual mechanism of daunorubicin-induced cell death in both sensitive and mdr-resistant hl-60 cells. *British journal of cancer*, 79(7):1090–1097, 1999. doi: 10.1038/sj.bjc.6690174.
- [16] Heidi R. Culver, Ishna Sharma, Marissa E. Wechsler, Eric V. Anslyn, and Nicholas A. Peppas. Charged poly(N-isopropylacrylamide) nanogels for use as differential protein receptors in a turbidimetric sensor array. *Analyst*, 142(17): 3183–3193, 2017. ISSN 13645528. doi: 10.1039/c7an00787f.
- [17] Mahrokh Dadsetan, K. Efua Taylor, Chun Yong, Željko Bajzer, Lichun Lu, and Michael J. Yaszemski. Controlled release of doxorubicin from ph-responsive microgels. *Acta Biomaterialia*, 9(3):5438 – 5446, 2013. ISSN 1742-7061. doi: <https://doi.org/10.1016/j.actbio.2012.09.019>. URL <http://www.sciencedirect.com/science/article/pii/S1742706112004564>.
- [18] Andrew C. Daly, Lindsay Riley, Tatiana Segura, and Jason A. Burdick. Hydrogel microparticles for biomedical applications. *Nat. Rev. Mater.*, 5(1):20–43, 2020. ISSN 20588437. doi: 10.1038/s41578-019-0148-6. URL <http://dx.doi.org/10.1038/s41578-019-0148-6>.
- [19] Peter John Dowding, Brian Vincent, and Elizabeth Williams. Preparation and swelling properties of poly(NIPAM) ‘minigel’ particles prepared by inverse suspension polymerization. *J. Colloid Interface Sci.*, 221(2):268–272, 2000. ISSN 00219797. doi: 10.1006/jcis.1999.6593.

- [20] Matilde Durán-Lobato, Brenda Carrillo-Conde, Yasmine Khairandish, and Nicholas A Peppas. Surface-Modified P(HEMA-co-MAA) Nanogel Carriers for Oral Vaccine Delivery: Design, Characterization, and In Vitro Targeting Evaluation. *Biomacromolecules*, 15(7):2725–2734, jul 2014. ISSN 1525-7797. doi: 10.1021/bm500588x. URL <https://doi.org/10.1021/bm500588x>.
- [21] Zahoor H Farooqi, Hafeez Ullah Khan, Syed Mujtaba Shah, and Mohammad Siddiq. Stability of poly (n-isopropylacrylamide-co-acrylic acid) polymer microgels under various conditions of temperature, ph and salt concentration. *Arabian Journal of Chemistry*, 10(3):329–335, 2017. doi: 10.1016/j.arabjc.2013.07.031.
- [22] Leo E. Gerweck and Kala Seetharaman. Cellular pH gradient in tumor versus normal tissue: Potential exploitation for the treatment of cancer. *Cancer Res.*, 56(6):1194–1198, 1996. ISSN 00085472.
- [23] Juan M Giussi, Manuel I Velasco, Gabriel S Longo, Rodolfo H Acosta, and Omar Azzaroni. Unusual temperature-induced swelling of ionizable poly(N-isopropylacrylamide)-based microgels: Experimental and theoretical insights into its molecular origin. *Soft Matter*, 11(45):8879–8886, 2015. ISSN 1744-683X. doi: 10.1039/C5SM01853F. URL <http://dx.doi.org/10.1039/C5SM01853F>.
- [24] Juan Martín Giussi, Marta Martinez, Agustin Iborra, María Lorena Cortez, Desire Di Silvio, Irantzu Llarena, Gabriel S. Longo, Omar Azzaroni, and Sergio Enrique Moya. A study of the complex interaction between poly allylamine hydrochloride and negatively charged poly(N-isopropylacrylamide-co-methacrylic acid) microgels. *Soft Matter*, 16(4):881–890, 2020. ISSN 1744-683X. doi: 10.1039/c9sm02070e.
- [25] Peng Gong, Tao Wu, Jan Genzer, and Igal Szleifer. Behavior of Surface-Anchored Poly(acrylic acid) Brushes with Grafting Density Gradients on Solid Substrates: 2. Theory. *Macromolecules*, 40(24):8765–8773, nov 2007. ISSN 0024-9297. doi: 10.1021/ma071018y. URL <https://doi.org/10.1021/ma071018y>.
- [26] Ying Guan and Yongjun Zhang. Pnipam microgels for biomedical applications: from dispersed particles to 3d assemblies. *Soft Matter*, 7:6375–6384, 2011. doi: 10.1039/C0SM01541E. URL <http://dx.doi.org/10.1039/C0SM01541E>.

- [27] N. Hamzavi, A. D. Drozdov, Y. Gu, and E. Birgersson. Modeling Equilibrium Swelling of a Dual pH- and Temperature-Responsive Core/Shell Hydrogel. *Int. J. Appl. Mech.*, 8(3):1–25, 2016. ISSN 1758826X. doi: 10.1142/S1758825116500393.
- [28] Yoshiharu Hirose, Takayuki Amiya, Yoshitsugu Hirokawa, and Toyoichi Tanaka. Phase Transition of Submicron Gel Beads. *Macromolecules*, 20(6):1342–1344, 1987. ISSN 15205835. doi: 10.1021/ma00172a029.
- [29] Todd Hoare and Robert Pelton. Highly pH and Temperature Responsive Microgels Functionalized with Vinylacetic Acid. *Macromolecules*, 37(7):2544–2550, 2004. ISSN 00249297. doi: 10.1021/ma035658m.
- [30] Cornelius Hofzumahaus, Pascal Hebbeker, and Stefanie Schneider. Monte Carlo simulations of weak polyelectrolyte microgels: pH-dependence of conformation and ionization. *Soft Matter*, 14:4087–4100, 2018. ISSN 1744-683X. doi: 10.1039/C7SM02528A. URL <http://pubs.rsc.org/en/Content/ArticleLanding/2018/SM/C7SM02528A>.
- [31] R Israels, F A M Leermakers, and G J Fleer. On the Theory of Grafted Weak Polyacids. *Macromolecules*, 27(11):3087–3093, may 1994. ISSN 0024-9297. doi: 10.1021/ma00089a028. URL <https://doi.org/10.1021/ma00089a028>.
- [32] Prateek K. Jha, Jos W. Zwanikken, Francois A. Detcheverry, Juan J. De Pablo, and Monica Olvera De La Cruz. Study of volume phase transitions in polymeric nanogels by theoretically informed coarse-grained simulations. *Soft Matter*, 7(13):5965–5975, 2011. ISSN 1744683X. doi: 10.1039/c1sm05264k.
- [33] Prateek K Jha, Jos W Zwanikken, and Monica Olvera de la Cruz. Understanding swollen–collapsed and re-entrant transitions in polyelectrolyte nanogels by a modified donnan theory. *Soft Matter*, 8(37):9519–9522, 2012. doi: 10.1039/C2SM26341F.
- [34] Clinton D. Jones and L. Andrew Lyon. Synthesis and Characterization of Multiresponsive Core-Shell Microgels. *Macromolecules*, 33(22):8301–8306, 2000. ISSN 13871811. doi: 10.1016/j.micromeso.2006.03.006.

- [35] Haruma Kawaguchi. On going to a new era of microgel exhibiting volume phase transition. *Gels*, 6(3):1–24, 2020. ISSN 23102861. doi: 10.3390/gels6030026.
- [36] Mohammad Saleem Khan, Gul Tiaz Khan, Abbas Khan, and Sabiha Sultana. Preparation and characterization of novel temperature and ph sensitive (nipam-co-maa) polymer microgels and their volume phase change with various salts. *Polymer Korea*, 37(6):794–801, 2013. doi: 10.7317/pk.2013.37.6.794.
- [37] Shanza Rauf Khan, Zahoor H. Farooqi, Muhammad Ajmal, Mohammad Siddiq, and Abbas Khan. Synthesis, Characterization, and Silver Nanoparticles Fabrication in N-isopropylacrylamide-Based Polymer Microgels for Rapid Degradation of p-Nitrophenol. *J. Dispers. Sci. Technol.*, 34(10):1324–1333, 2013. ISSN 01932691. doi: 10.1080/01932691.2012.744690.
- [38] J Klein Wolterink, J van Male, M A Cohen Stuart, L K Koopal, E B Zhulina, and O V Borisov. Annealed Star-Branched Polyelectrolytes in Solution. *Macromolecules*, 35(24):9176–9190, nov 2002. ISSN 0024-9297. doi: 10.1021/ma020781j. URL <https://doi.org/10.1021/ma020781j>.
- [39] Jochen Kleinen and Walter Richtering. Defined complexes of negatively charged multisensitive poly(N- isopropylacrylamide-co-methacrylic acid) microgels and poly(diallyldimethylammonium chloride). *Macromolecules*, 41(5):1785–1790, 2008. ISSN 00249297. doi: 10.1021/ma7023683.
- [40] Jochen Kleinen, Andreas Klee, and Walter Richtering. Influence of architecture on the interaction of negatively charged multisensitive poly(N-isopropylacrylamide)-co-methacrylic acid microgels with oppositely charged polyelectrolyte: Absorption vs adsorption. *Langmuir*, 26(13):11258–11265, 2010. ISSN 07437463. doi: 10.1021/la100579b.
- [41] Karl Kratz, Thomas Hellweg, and Wolfgang Eimer. Structural changes in PNI-PAM microgel particles as seen by SANS, DLS, and EM techniques. *Polymer*, 42(15):6631–6639, 2001. ISSN 00323861. doi: 10.1016/S0032-3861(01)00099-4.
- [42] Jonas Landsgesell, Lucie Nová, Oleg Rud, Filip Uhlík, David Sean, Pascal Hebbeker, Christian Holm, and Peter Košovan. Simulations of ionization equi-

- libria in weak polyelectrolyte solutions and gels. *Soft Matter*, 15(6):1155–1185, 2019. ISSN 17446848. doi: 10.1039/c8sm02085j.
- [43] Chia-Fen Lee, Chia-Cheng Lin, and Wen-Yen Chiu. Thermosensitive and control release behavior of poly (n-isopropylacrylamide-co-acrylic acid) latex particles. *Journal of Polymer Science Part A: Polymer Chemistry*, 46(17):5734–5741, 2008. doi: 10.1002/pola.22887.
- [44] Shuting Li, Liefeng Hu, Dapeng Li, Xin Wang, Panpan Zhang, Jun Wang, Guoqing Yan, and Rupei Tang. Carboxymethyl chitosan-based nanogels via acid-labile ortho ester linkages mediated enhanced drug delivery. *Int. J. Biol. Macromol.*, 129:477–487, 2019. ISSN 18790003. doi: 10.1016/j.ijbiomac.2019.02.072. URL <https://doi.org/10.1016/j.ijbiomac.2019.02.072>.
- [45] Yong Li and Toyochi Tanaka. Study of the universality class of the gel network system. *The Journal of chemical physics*, 90(9):5161–5166, 1989. doi: 10.1063/1.456559.
- [46] Lei Liu, Jin Zeng, Xubo Zhao, Kun Tian, and Peng Liu. Independent temperature and ph dual-responsive pmaa/pnipam microgels as drug delivery system: Effect of swelling behavior of the core and shell materials in fabrication process. *Colloids and Surfaces A: Physicochemical and Engineering Aspects*, 526:48 – 55, 2017. ISSN 0927-7757. doi: <https://doi.org/10.1016/j.colsurfa.2016.11.007>. URL <http://www.sciencedirect.com/science/article/pii/S092777571630944X>.
- [47] Gabriel S Longo, Monica Olvera de la Cruz, and I Szleifer. Non-monotonic swelling of surface grafted hydrogels induced by pH and/or salt concentration. *J. Chem. Phys.*, 141(12):124909, sep 2014. ISSN 0021-9606. doi: 10.1063/1.4896562. URL <https://doi.org/10.1063/1.4896562>.
- [48] Carlos G. Lopez, Thomas Lohmeier, John E. Wong, and Walter Richtering. Electrostatic expansion of polyelectrolyte microgels: Effect of solvent quality and added salt. *J. Colloid Interface Sci.*, 558:200–210, 2020. ISSN 10957103. doi: 10.1016/j.jcis.2019.07.042. URL <https://doi.org/10.1016/j.jcis.2019.07.042>.

- [49] Dongdong Lu, Mingning Zhu, Wenkai Wang, Shanglin Wu, Brian R. Saunders, Daman J. Adlam, Judith A. Hoyland, Cornelius Hofzumahaus, Stefanie Schneider, and Katharina Landfester. Do the properties of gels constructed by interlinking triply-responsive microgels follow from those of the building blocks? *Soft Matter*, 15(4):527–536, 2019. ISSN 17446848. doi: 10.1039/C8SM01510D.
- [50] Yu. V Lyatskaya, F A M Leermakers, G J Fleer, E B Zhulina, and T M Birshtein. Analytical Self-Consistent-Field Model of Weak Polyacid Brushes. *Macromolecules*, 28(10):3562–3569, 1995. ISSN 0024-9297. doi: 10.1021/ma00114a009. URL <https://doi.org/10.1021/ma00114a009>.
- [51] Micaela Alejandra Macchione, María Florencia Sacarelli, Ana Racca, Catalina Biglione, Graciela Panzetta-Dutari, and Miriam C Strumia. Dual-responsive nanogels based on oligo (ethylene glycol) methacrylates and acidic co-monomers. *Soft Matter*, 15(47):9700–9709, 2019. ISSN 1744-683X. doi: 10.1039/C9SM01180C. URL <http://dx.doi.org/10.1039/C9SM01180C>.
- [52] Marta Martinez-Moro, Jacek Jenczyk, Juan M. Giussi, Stefan Jurga, and Sergio E. Moya. Kinetics of the thermal response of poly(N-isopropylacrylamide co methacrylic acid) hydrogel microparticles under different environmental stimuli: A time-lapse NMR study. *J. Colloid Interface Sci.*, 580:439–448, 2020. ISSN 10957103. doi: 10.1016/j.jcis.2020.07.049. URL <https://doi.org/10.1016/j.jcis.2020.07.049>.
- [53] Arturo Moncho-Jordá and Joachim Dzubiella. Swelling of ionic microgel particles in the presence of excluded-volume interactions: A density functional approach. *Phys. Chem. Chem. Phys.*, 18(7):5372–5385, 2016. ISSN 14639076. doi: 10.1039/c5cp07794j.
- [54] Gayle E. Morris, Brian Vincent, and Martin J. Snowden. Adsorption of lead ions onto n-isopropylacrylamide and acrylic acid copolymer microgels. *J. Colloid Interface Sci.*, 190(1):198–205, 1997. ISSN 00219797. doi: 10.1006/jcis.1997.4843.
- [55] To Ngai, Sven Holger Behrens, and Helmut Auweter. Novel emulsions stabilized

- by pH and temperature sensitive microgels. *Chem. Commun.*, (3):331–333, 2005. ISSN 13597345. doi: 10.1039/b412330a.
- [56] To Ngai, Helmut Auweter, and Sven Holger Behrens. Environmental responsiveness of microgel particles and particle-stabilized emulsions. *Macromolecules*, 39(23):8171–8177, 2006. ISSN 00249297. doi: 10.1021/ma061366k.
- [57] C. Panis, A. C.S.A. Herrera, V. J. Victorino, F. C. Campos, L. F. Freitas, T. De Rossi, A. N. Colado Simão, A. L. Cecchini, and R. Cecchini. Oxidative stress and hematological profiles of advanced breast cancer patients subjected to paclitaxel or doxorubicin chemotherapy. *Breast Cancer Res. Treat.*, 133(1): 89–97, 2012. ISSN 01676806. doi: 10.1007/s10549-011-1693-x.
- [58] R. H. Pelton and P. Chibante. Preparation of aqueous latices with N-isopropylacrylamide. *Colloids and Surfaces*, 20(3):247–256, 1986. ISSN 01666622. doi: 10.1016/0166-6622(86)80274-8.
- [59] Robert Pelton. Temperature-sensitive aqueous microgels. *Adv. Colloid Interface Sci.*, 85(1):1–33, 2000. ISSN 00018686. doi: 10.1016/S0001-8686(99)00023-8.
- [60] Néstor Ariel Pérez Chávez, Victor Nosthas Aguiar, Juan A. Allegretto, Alberto G. Albesa, Juan M. Giussi, and Gabriel S. Longo. Triggering Doxorubicin Release from Responsive Hydrogel Films by Polyamine Uptake. *Soft Matter*, 16(32):7492–7502, 2020. ISSN 1744-6848. doi: 10.1039/D0SM00951B. URL <http://dx.doi.org/10.1039/D0SM00951B>.
- [61] Dmitry V Pergushov, Larisa V Sigolaeva, Nadezhda G Balabushevich, Timur Z Sharifullin, Michael Noyong, and Walter Richtering. Loading of doxorubicin into surface-attached stimuli-responsive microgels and its subsequent release under different conditions. *Polymer*, page 123227, 2020. ISSN 0032-3861. doi: <https://doi.org/10.1016/j.polymer.2020.123227>. URL <http://www.sciencedirect.com/science/article/pii/S0032386120310521>.
- [62] Felix A Plamper and Walter Richtering. Functional microgels and microgel systems. *Accounts of chemical research*, 50(2):131–140, 2017. doi: 10.1021/acs.accounts.6b00544.

- [63] Alexey A Polotsky, Felix A Plamper, and Oleg V Borisov. Collapse-to-swelling transitions in ph-and thermoresponsive microgels in aqueous dispersions: The thermodynamic theory. *Macromolecules*, 46(21):8702–8709, 2013. doi: 10.1021/ma401402e.
- [64] Manuel Quesada-Pérez and Alberto Martín-Molina. Monte Carlo simulation of thermo-responsive charged nanogels in salt-free solutions. *Soft Matter*, 9(29):7086–7094, 2013. ISSN 1744683X. doi: 10.1039/c3sm00093a.
- [65] Manuel Quesada-Pérez, José Alberto Maroto-Centeno, Jacqueline Forcada, and Roque Hidalgo-Alvarez. Gel swelling theories: the classical formalism and recent approaches. *Soft Matter*, 7(22):10536–10547, 2011. doi: 10.1039/C1SM06031G.
- [66] Oleg Rud, Tobias Richter, Oleg Borisov, Christian Holm, and Peter Košovan. A self-consistent mean-field model for polyelectrolyte gels. *Soft Matter*, 13(18):3264–3274, 2017. ISSN 17446848. doi: 10.1039/c6sm02825j.
- [67] Suhad Sbeih, Priti S Mohanty, Michael R Morrow, and Anand Yethiraj. Structural parameters of soft pnipam microgel particles as a function of crosslink density. *Journal of colloid and interface science*, 552:781–793, 2019. doi: 10.1016/j.jcis.2019.05.047.
- [68] H. G. Schild. Poly(N-isopropylacrylamide): experiment, theory and application. *Prog. Polym. Sci.*, 17(2):163–249, 1992. ISSN 00796700. doi: 10.1016/0079-6700(92)90023-R.
- [69] Sabrina Schmidt, Tingting Liu, Stephan Rütten, Kim Ho Phan, Martin Möller, and Walter Richtering. Influence of microgel architecture and oil polarity on stabilization of emulsions by stimuli-sensitive core-shell poly(N - isopropylacrylamide- co -methacrylic acid) microgels: Mickering versus pickering behavior? *Langmuir*, 27(16):9801–9806, 2011. ISSN 07437463. doi: 10.1021/la201823b.
- [70] Ricarda Schroeder, Andrey A. Rudov, L. Andrew Lyon, Walter Richtering, Andrij Pich, and Igor I. Potemkin. Electrostatic Interactions and Osmotic Pressure

- of Counterions Control the pH-Dependent Swelling and Collapse of Polyampholyte Microgels with Random Distribution of Ionizable Groups. *Macromolecules*, 48(16):5914–5927, 2015. ISSN 15205835. doi: 10.1021/acs.macromol.5b01305.
- [71] David Sean, Jonas Landsgesell, and Christian Holm. Computer Simulations of Static and Dynamical Properties of Weak Polyelectrolyte Nanogels in Salty Solutions. *Gels*, 4(1):2, 2018. ISSN 2310-2861. doi: 10.3390/gels4010002.
- [72] Michael J. Serpe, Kristen A. Yarmey, Christine M. Nolan, and L. Andrew Lyon. Doxorubicin uptake and release from microgel thin films. *Biomacromolecules*, 6(1):408–413, 2005. ISSN 15257797. doi: 10.1021/bm049455x.
- [73] Lindsey A Sharpe, Julia E Vela Ramirez, Olivia M Haddadin, Kathleen A Ross, Balaji Narasimhan, and Nicholas A Peppas. pH-Responsive Microencapsulation Systems for the Oral Delivery of Polyanhydride Nanoparticles. *Biomacromolecules*, 19(3):793–802, mar 2018. ISSN 1525-7797. doi: 10.1021/acs.biomac.7b01590. URL <https://doi.org/10.1021/acs.biomac.7b01590>.
- [74] Shan Shi, Qianman Wang, Tao Wang, Shuping Ren, Yu Gao, and Na Wang. Thermo-, pH-, and light-responsive poly(N -isopropylacrylamide-co -methacrylic acid)-au hybrid microgels prepared by the in situ reduction method based on au-thiol chemistry. *J. Phys. Chem. B*, 118(25):7177–7186, 2014. ISSN 15205207. doi: 10.1021/jp5027477.
- [75] Martin J Snowden, Babur Z Chowdhry, Brian Vincent, and Gayle E Morris. Colloidal copolymer microgels of n-isopropylacrylamide and acrylic acid: ph, ionic strength and temperature effects. *Journal of the Chemical Society, Faraday Transactions*, 92(24):5013–5016, 1996. doi: 10.1039/C1SM05216K.
- [76] Wenjuan Su, Man Yang, Kongshuang Zhao, and To Ngai. Influence of Charged Groups on the Structure of Microgel and Volume Phase Transition by Dielectric Analysis. *Macromolecules*, 49(20):7997–8008, 2016. ISSN 15205835. doi: 10.1021/acs.macromol.6b00809.

- [77] M. Than Htun. Photophysical study on daunorubicin by fluorescence spectroscopy. *Journal of Luminescence*, 129(4):344 – 348, 2009. ISSN 0022-2313. doi: <https://doi.org/10.1016/j.jlumin.2008.10.020>. URL <http://www.sciencedirect.com/science/article/pii/S0022231308003013>.
- [78] Madeline Torres-Lugo, Marcos García, Rae Record, and Nicholas A Pappas. Physicochemical behavior and cytotoxic effects of p(methacrylic acid-g-ethylene glycol) nanospheres for oral delivery of proteins. *Journal of Controlled Release*, 80(1):197 – 205, 2002. ISSN 0168-3659. doi: [https://doi.org/10.1016/S0168-3659\(02\)00027-5](https://doi.org/10.1016/S0168-3659(02)00027-5). URL <http://www.sciencedirect.com/science/article/pii/S0168365902000275>.
- [79] John E. Wong, Ana M.D. Ez-Pascual, and Walter Richtering. Layer-by-layer assembly of polyelectrolyte multilayers on thermoresponsive P(NiPAM-co-MAA) microgel: Effect of ionic strength and molecular weight. *Macromolecules*, 42(4):1229–1238, 2009. ISSN 00249297. doi: 10.1021/ma802072c.
- [80] Chi Wu and Shuiqin Zhou. Volume phase transition of swollen gels: discontinuous or continuous? *Macromolecules*, 30(3):574–576, 1997. doi: 10.1021/ma960499a.
- [81] Tao Wu, Peng Gong, Igal Szleifer, Petr Vlček, Vladimír Šubr, and Jan Genzer. Behavior of Surface-Anchored Poly(acrylic acid) Brushes with Grafting Density Gradients on Solid Substrates: 1. Experiment. *Macromolecules*, 40(24):8756–8764, nov 2007. ISSN 0024-9297. doi: 10.1021/ma0710176. URL <https://doi.org/10.1021/ma0710176>.
- [82] E B Zhulina, T M Birshtein, and O V Borisov. Theory of Ionizable Polymer Brushes. *Macromolecules*, 28(5):1491–1499, feb 1995. ISSN 0024-9297. doi: 10.1021/ma00109a021. URL <https://doi.org/10.1021/ma00109a021>.